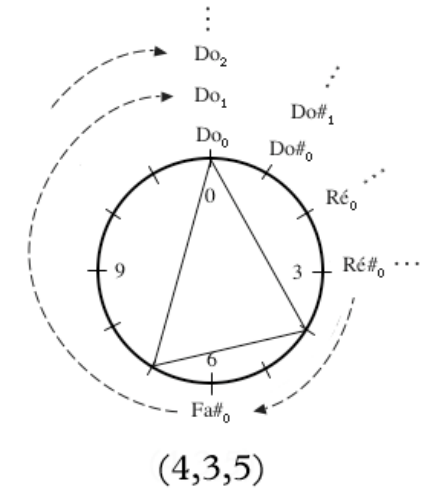
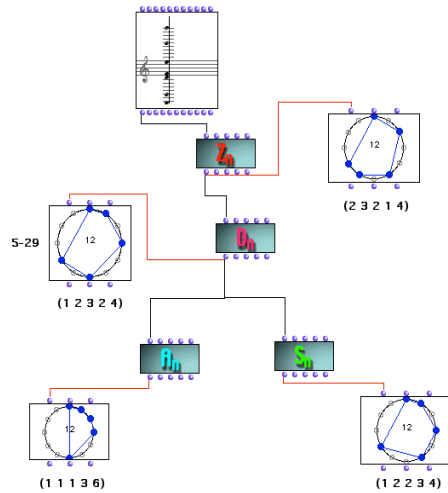




UNIVERSITÀ DI PISA



Elementi di Geometria Superiore 2

Matematica & Musica

Primo trittico:
rappresentazioni, formalizzazioni, *Set Theory*...

Moreno Andreatta

Equipe Représentations Musicales

IRCAM/CNRS

(In collaborazione con Carlos Agon e Emmanuel Amiot)

Programma del corso

- 1.) Rappresentazione e formalizzazione delle strutture musicali**
- 2.) Enumerazione e classificazione delle strutture musicali**
- 3.) Teorie trasformazionali, diatoniche e neo-riemanniane**
- 4.) Tassellazioni musicali: la costruzione dei canoni ritmici a mosaico
- 5.) Sequenze periodiche e calcolo delle differenze finite a valori in gruppi ciclici
- 6.) Ramificazioni filosofiche e cognitive dell'approccio algebrico in musica

Rappresentazione, formalizzazione e enumerazione delle strutture musicali

- Rappresentazioni geometriche e formalizzazioni algebriche
 - Il *Tonnetz* di Eulero
 - Rappresentazioni circolari e toroidali
 - Teoria degli *orbifolds*
 - [Cenni dell'approccio categoriale]

- Lemma di Burnside e teoria dell'enumerazione di Polya
 - Classificazione paradigmatica degli accordi musicali (azioni del gruppo ciclico, diedrale e affine sul sistema temperato tradizionale)
 - Modi di Messiaen a trasposizione limitata
 - Serie dodecafoniche e serie omni-intervallari
 - [Asimmetria ritmica]
 - Spazi microtonali

- La *Set Theory* d'Allen Forte
 - Il vettore intervallare
 - Teorema dell'esacordo (Milton Babbitt)
 - La relazione Z [e gli insiemi omometrici]

Teorie trasformazionali, diatoniche e neo-riemanniane

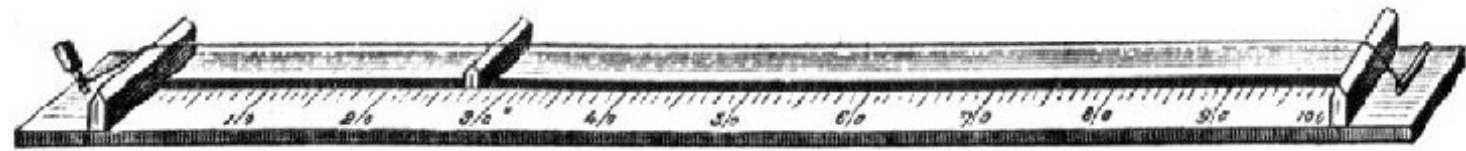
- Il sistema d'intervalli generalizzati (GIS) di David Lewin
 - La funzione intervallare e la trasformata di Fourier discreta
 - Teorema [generale] dell'esacordo

- Reticoli di Klumpenhouwer (*K-nets*)
 - Isografie forti
 - Isografie positive
 - Isografie negative

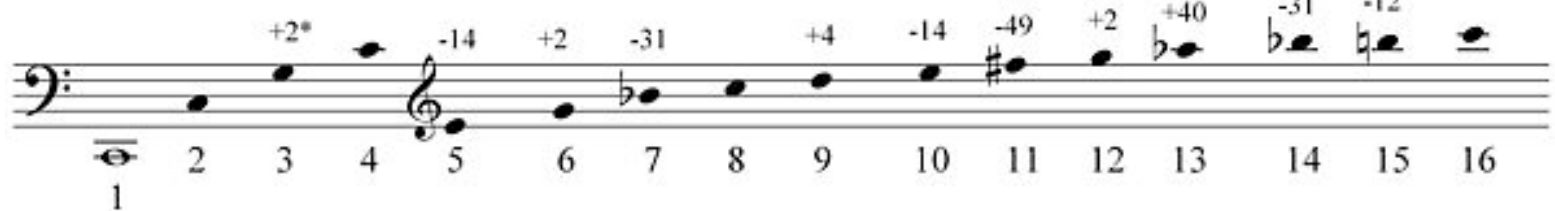
- [Teorie diatoniche]
 - Unicità della scala diatonica
 - Insiemi ripartiti in maniera massimale (*Maximally Even Sets*)
 - Scale ben formate (*Well-formed scales*)
 - Diatonismo vs cromatismo

- Teorie neo-riemanniane
 - Dualità trasposizione / inversione
 - [Cenni di grammatiche formali (*Christoffel words*)]

Temperamenti musicali: dal monocordo al pianoforte



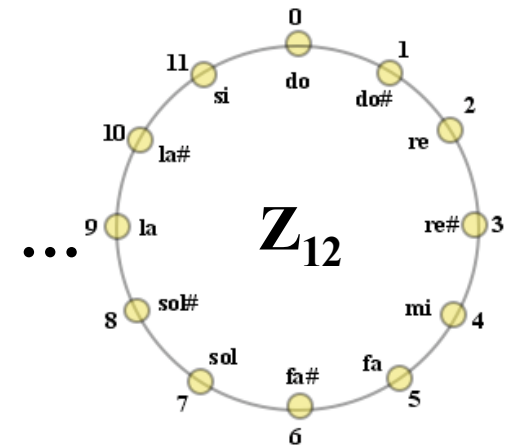
i suoni armonici



* in cents, confrontati con la scala temperata

Fisica

Matematica



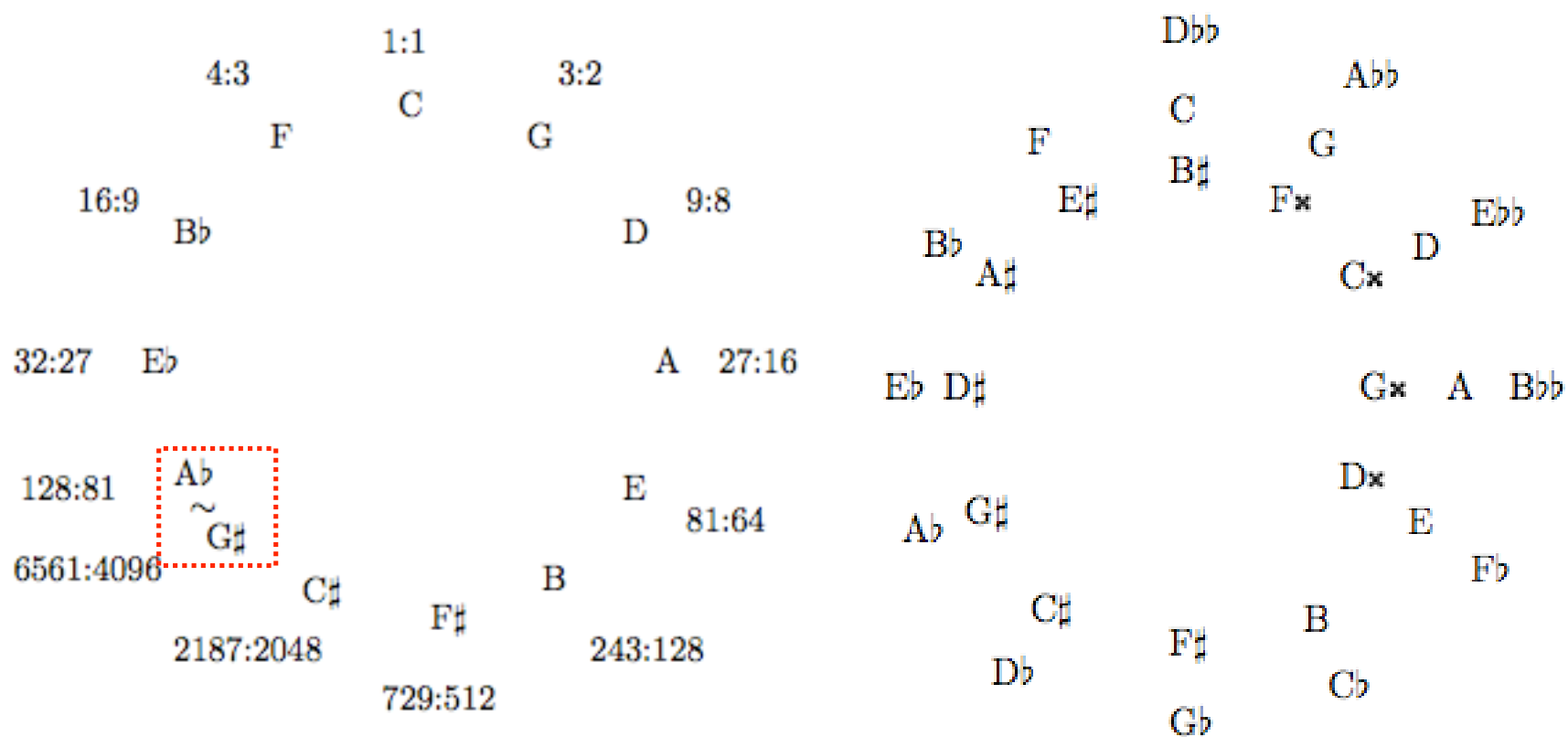
do do# re re# mi fa fa# sol sol# la la # si

reb mib solb lab sib

La spirale infinita del temperamento pitagorico

[Benson 2006]

note	do	re	mi	fa	so	la	ti	do
ratio	1:1	9:8	81:64	4:3	3:2	27:16	243:128	2:1



Temperamento pitagorico, intonazione giusta e temperamento equabile



Innsbruck, ich muss dich lassen

Heinrich Isaac (1450-1517)

Cantus

1. Inns - bruck, ich muss dich las - sen, ich
 2. Gross Leid muss ich jetzt tra - gen, das
 3. Mein Trost ob al - len Wei - ben, dein

Altus

1. Inns - - bruck, ich muss dich las - - sen, ich
 2. Gross Leid muss ich jetzt tra - - gen, das
 3. Mein Trost ob al - len Wei - - ben, dein

Tenor

1. Inns - bruck, ich muss dich las - sen, ich
 2. Gross Leid muss ich jetzt tra - gen, das
 3. Mein Trost ob al - len Wei - ben, dein

Bassus

1. Inns - - bruck, ich muss dich las - - sen, ich
 2. Gross Leid muss ich jetzt tra - - gen, das
 3. Mein Trost ob al - len Wei - - ben, dein



TP



IG



TE

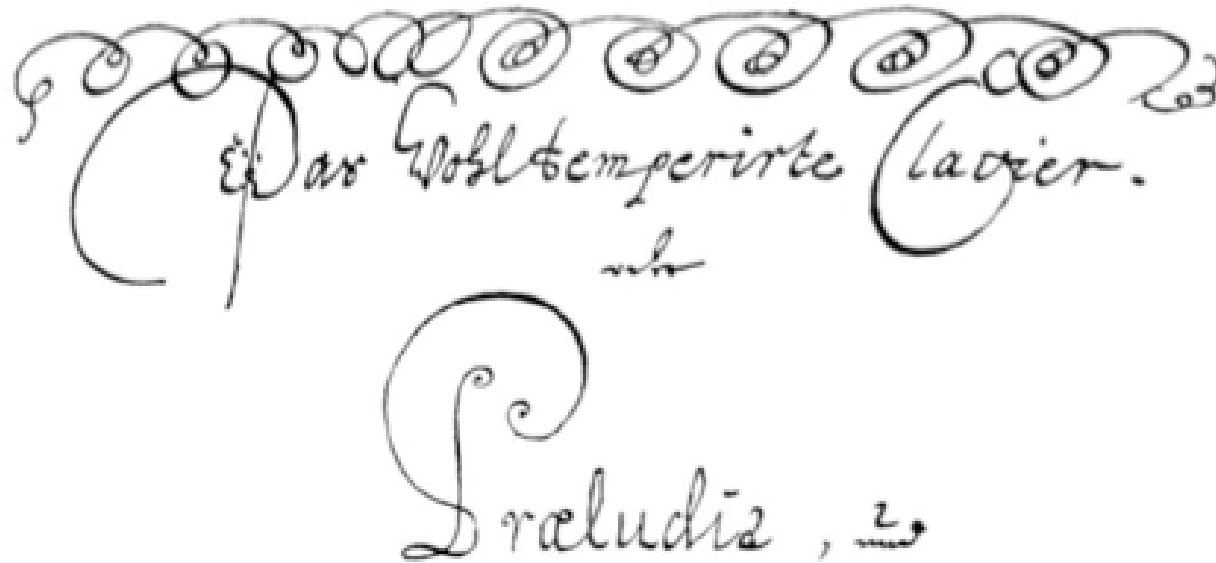
note	C	D	E	F	G	A	B	C
ratio	1:1	9:8	81:64	4:3	3:2	27:16	243:128	2:1
cents	0.000	203.910	407.820	498.045	701.955	905.865	1109.775	1200.000

TP

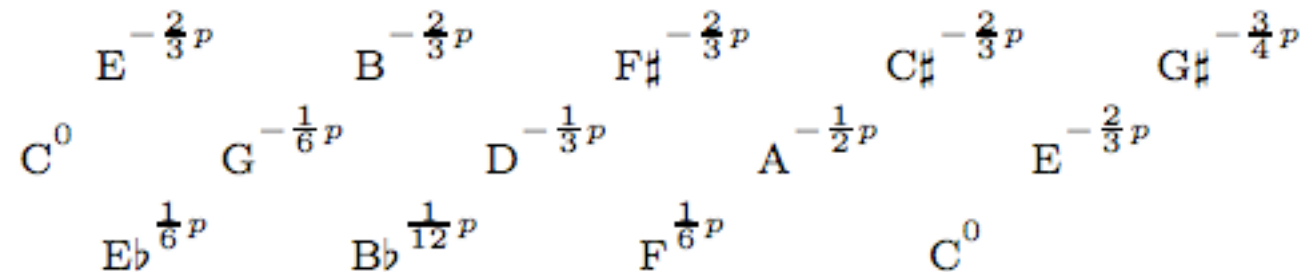
note	do	re	mi	fa	so	la	ti	do
ratio	1:1	9:8	5:4	4:3	3:2	5:3	15:8	2:1
cents	0.000	203.910	386.314	498.045	701.955	884.359	1088.269	1200.000

IG

Johann Sebastian Bach e il clavicembalo ben temperato



Lehman's Bach reconstruction (2005)



Temperamento equabile e frazioni continue

$$\frac{1}{2}(1 + \sqrt{5}) = 1 + \frac{1}{1+} \frac{1}{1+} \frac{1}{1+} \frac{1}{1+} \frac{1}{1+} \dots$$

$$\frac{\pi}{4} = \frac{1}{1+} \frac{1}{3+} \frac{4}{5+} \frac{9}{7+} \frac{16}{9+} \dots$$

$$e = 2.71828\ 18284\ 59045\ 23536\ 02874\ 71352\ 66249\ 77572\ 47093\ \dots$$

$$= 2 + \frac{1}{1+} \frac{1}{2+} \frac{1}{1+} \frac{1}{1+} \frac{1}{4+} \frac{1}{1+} \frac{1}{1+} \frac{1}{6+} \frac{1}{1+} \frac{1}{1+} \frac{1}{8+} \frac{1}{1+} \frac{1}{1+} \dots$$

$$e^{2\pi/5} \left(\sqrt{\frac{5+\sqrt{5}}{2}} - \frac{\sqrt{5}+1}{2} \right) = \frac{1}{1+} \frac{e^{-2\pi}}{1+} \frac{e^{-4\pi}}{1+} \frac{e^{-6\pi}}{1+} \dots$$

Harmonium e pianoforti generalizzati

Z/31Z



Vitus Trasuntinis, 1606

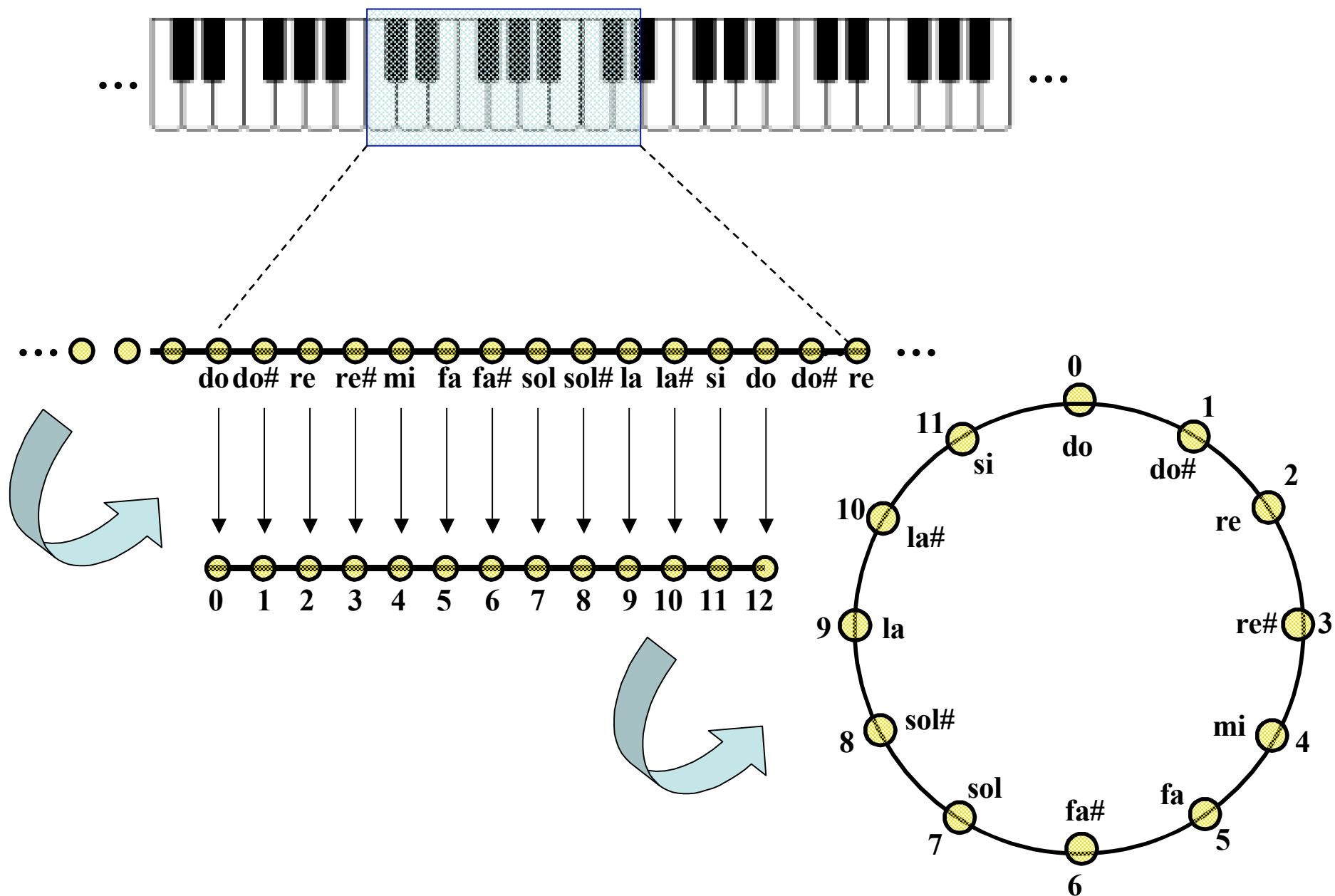
Z/53Z



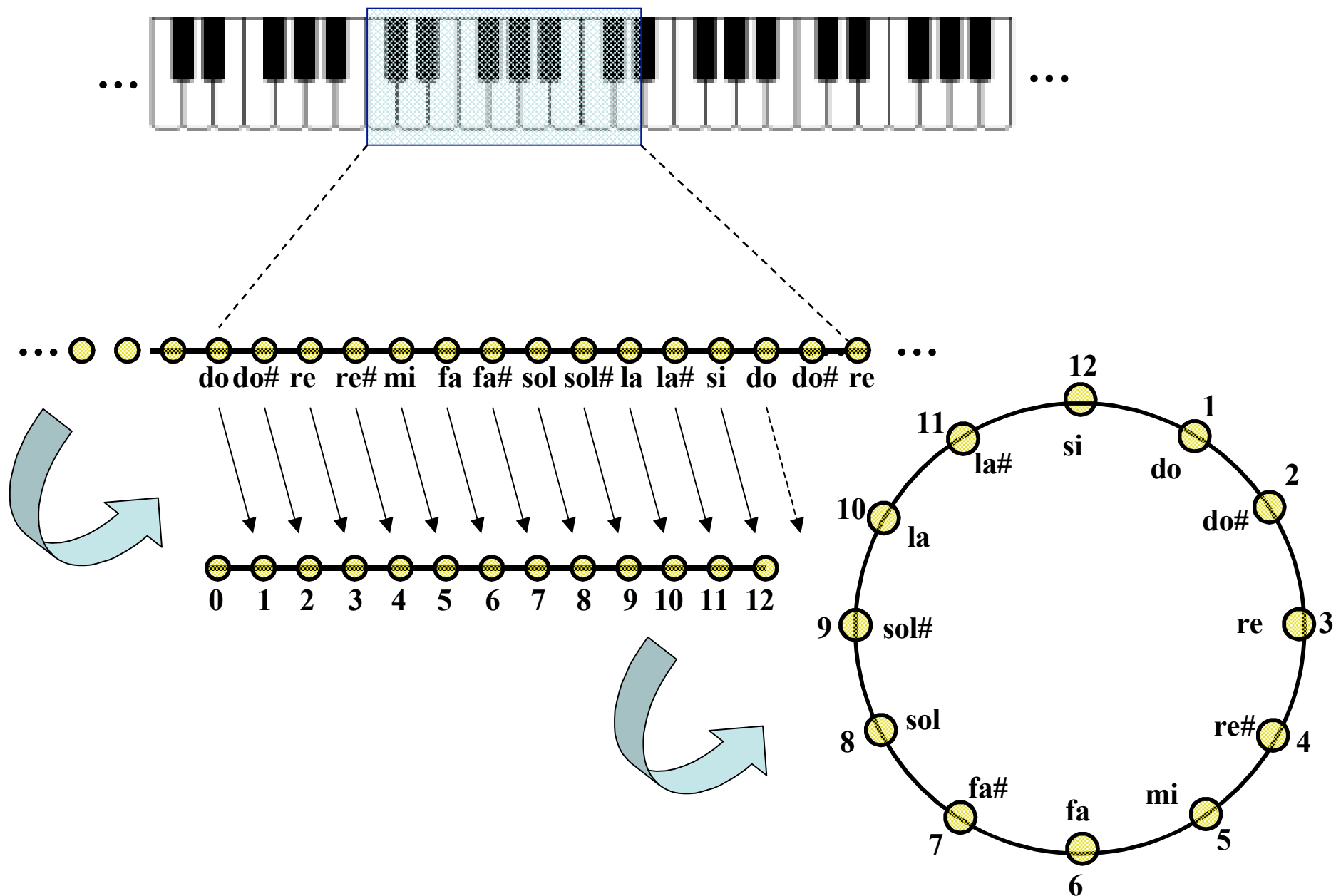
© Science and Society Picture Library

Robert Bosanquet, 1876

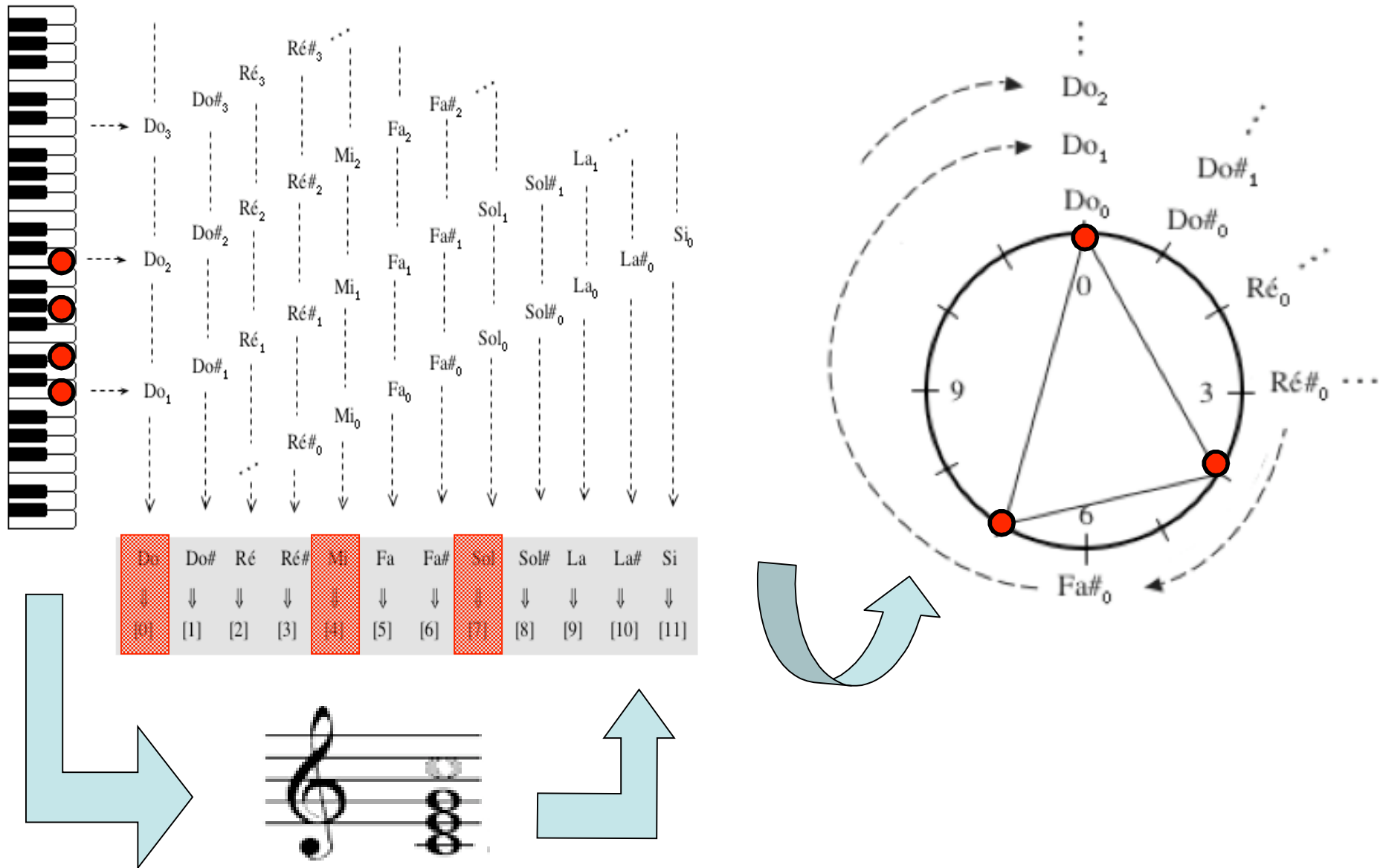
Riduzione all'ottava e congruenza modulo 12



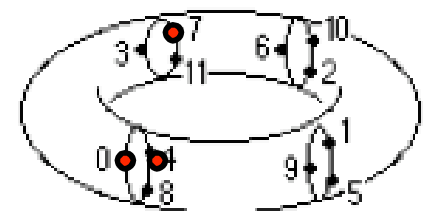
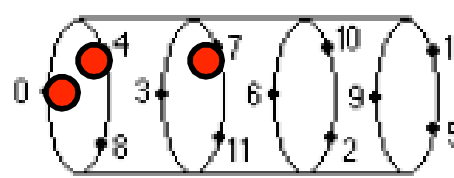
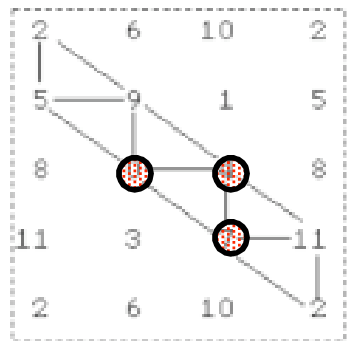
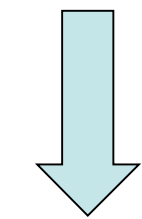
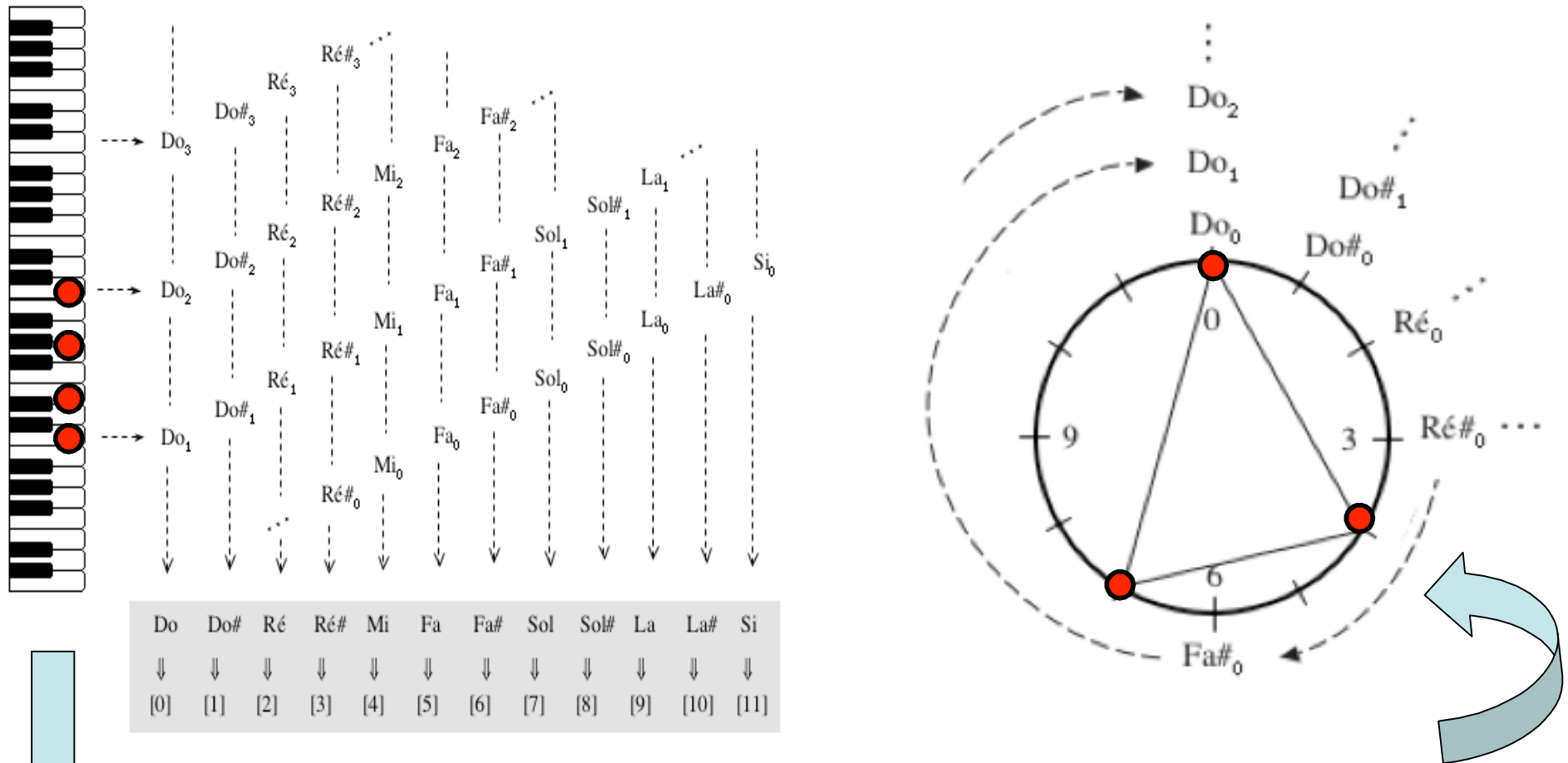
Riduzione all'ottava e congruenza modulo 12



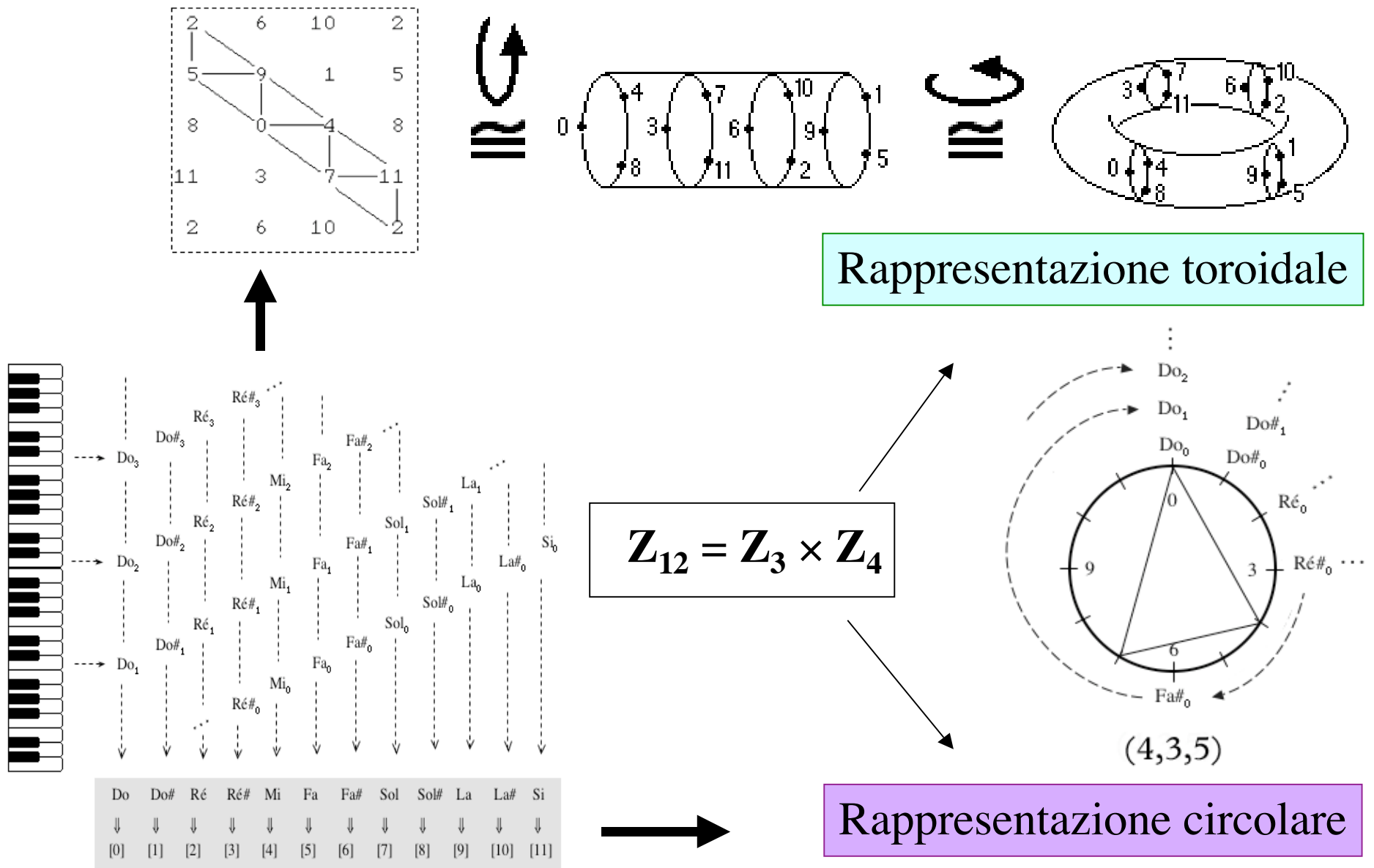
Riduzione all'ottava e congruenza modulo 12



Riduzione all'ottava e congruenza modulo 12



Equivalenza algebrica fra rappresentazioni geometriche



=> def gruppo ciclico

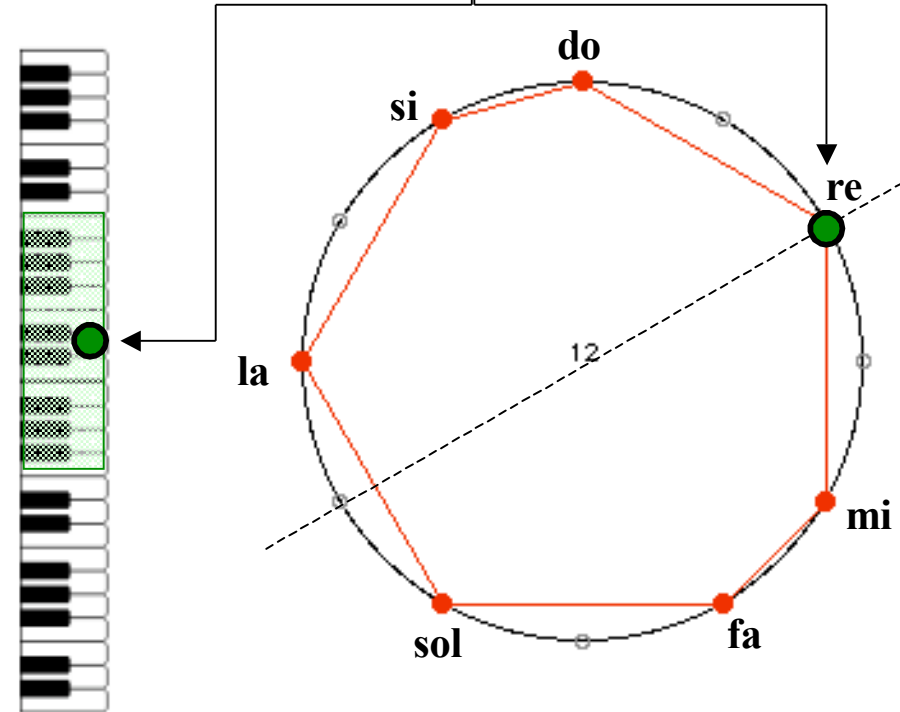
La relazione di congruenza modulo 12 in musica



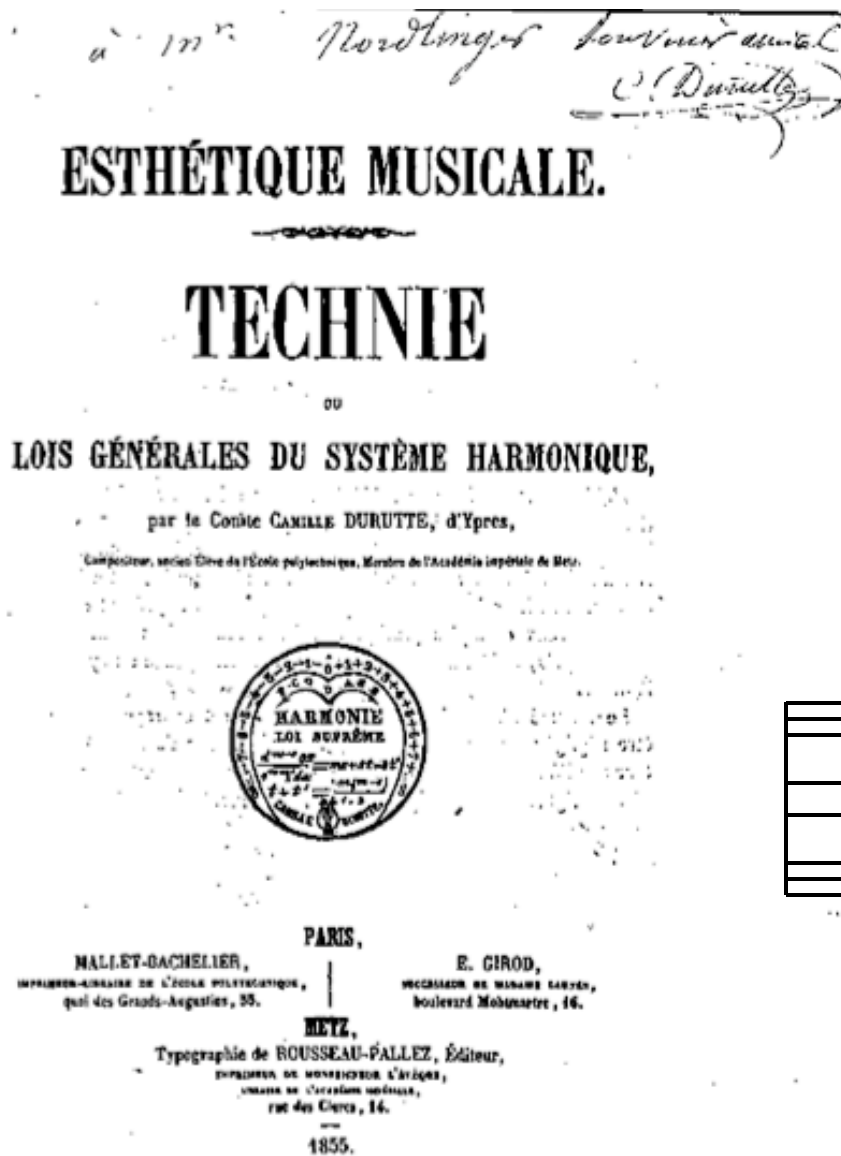
Camille Durutte:

- *Technie, ou lois générales du système harmonique* (1855)
- *Résumé élémentaire de la Technie harmonique, et complément de cette Technie* (1876)

Sol ^b	Re ^b	Fa	Ut	Sol	Do	La	Mi	Si	Re ^x	La ^x
-15	-14	-3	-2	-1	0	+1	+2	+3	+14	+15



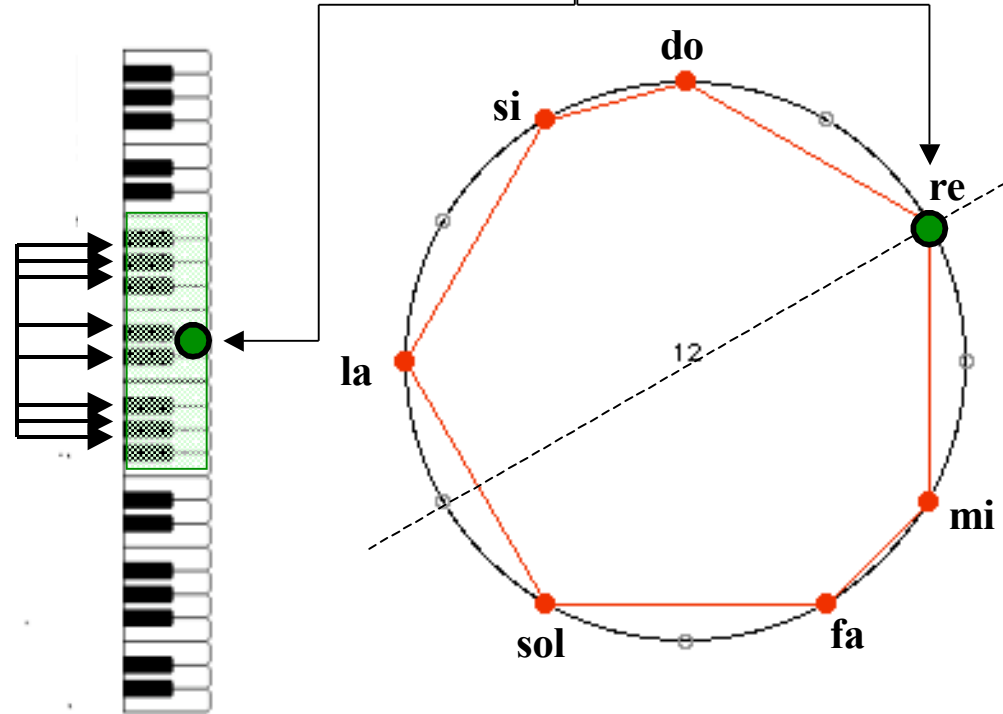
La relazione di congruenza modulo 12 in musica



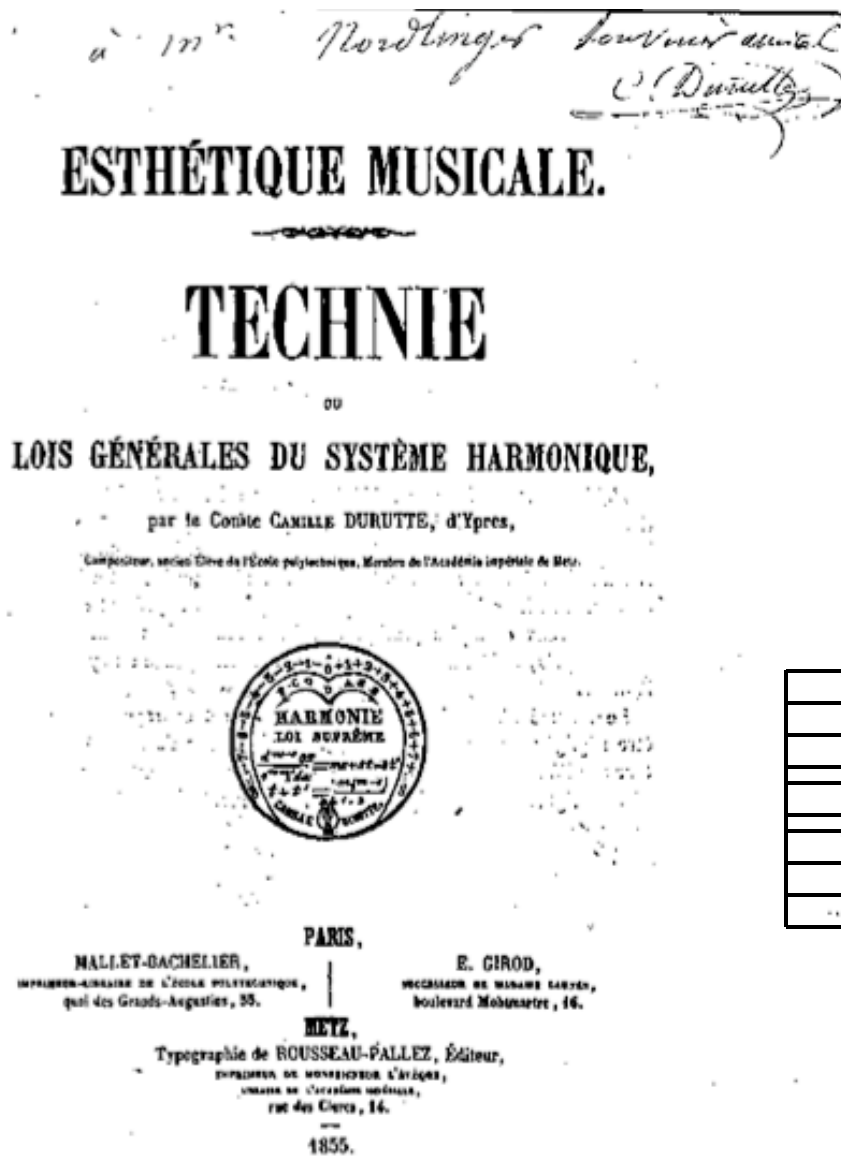
Camille Durutte:

- *Technie, ou lois générales du système harmonique* (1855)
- *Résumé élémentaire de la Technie harmonique, et complément de cette Technie* (1876)

Sol ^b	Re ^b	Fa	Ut	Sol	Do	La	Mi	Si	Re ^x	La ^x
-15	-14	-3	-2	-1	0	+1	+2	+3	+14	+15



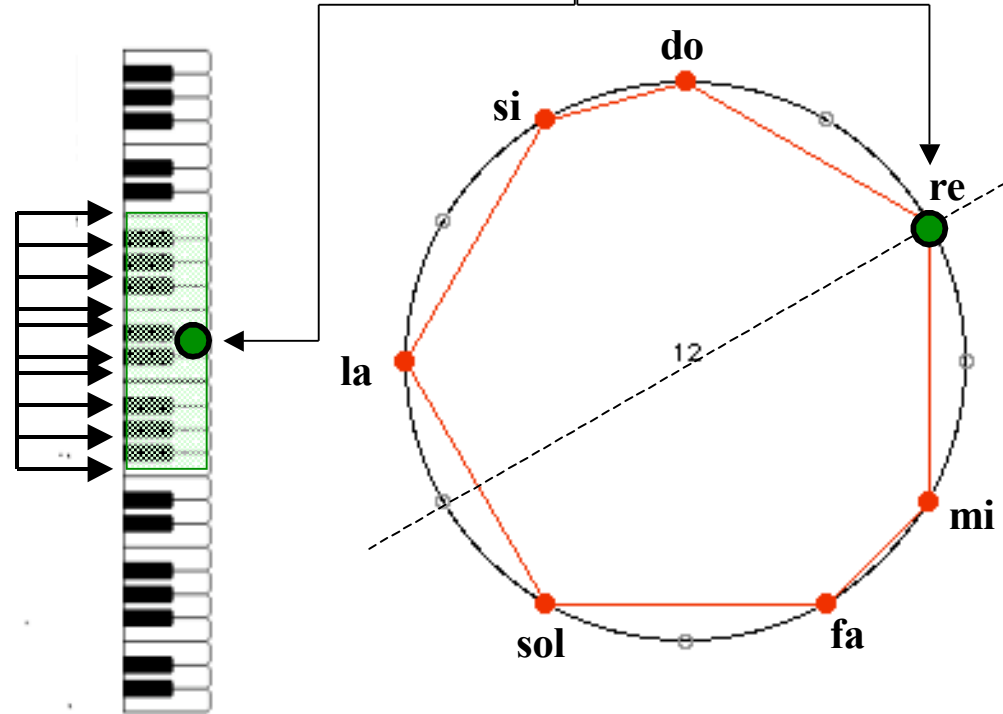
La relazione di congruenza modulo 12 in musica



Camille Durutte:

- *Technie, ou lois générales du système harmonique* (1855)
- *Résumé élémentaire de la Technie harmonique, et complément de cette Technie* (1876)

Sol ^b	Re ^b	Fa	Ut	Sol	Do	La	Mi	Si	Re ^x	La ^x
-15	-14	-3	-2	-1	0	+1	+2	+3	+14	+15



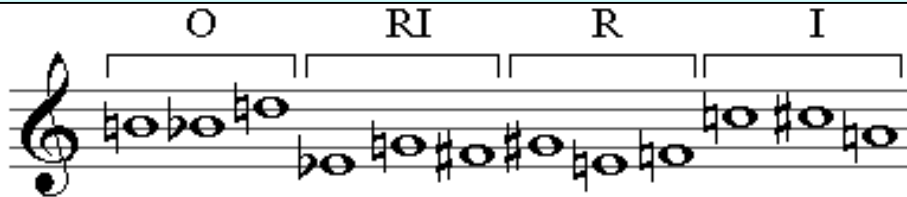
Simmetrie musicali e strutture matematiche

Ernst Krenek e l'approccio assiomatico in musica

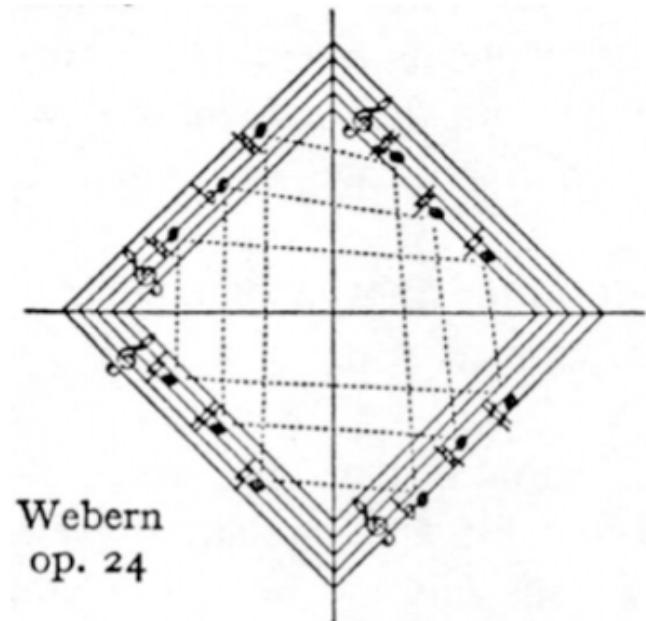
- *The Relativity of Scientific Systems*
- *The Significance of Axioms*
- *Axioms in music*
- *Musical Theory and Musical Practice*

Ernst Krenek : *Über Neue Musik*, 1937
(Engl. Transl. *Music here and now*, 1939).

Physicists and mathematicians are far in advance of musicians in realizing that their respective sciences do not serve to establish a concept of the universe conforming to an objectively existent nature



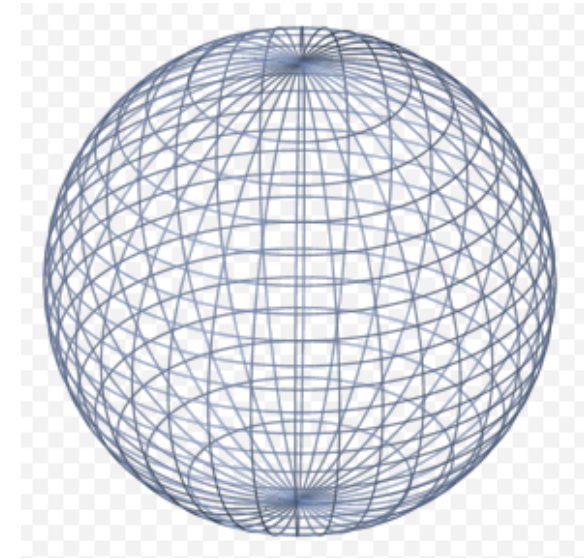
*As the study of axioms eliminates the idea that axioms are something absolute, conceiving them instead as **free propositions of the human mind**, just so would this **musical theory** free us from the concept of major/minor tonality [...] as an irrevocable law of nature.*



L'approccio assiomatico in matematica

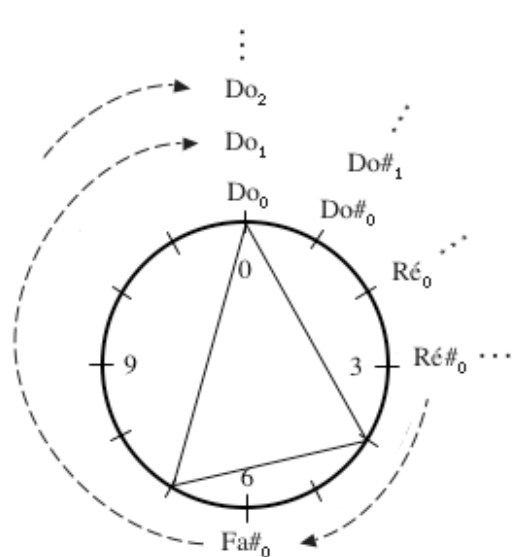
David Hilbert: i fondamenti assiomatici della geometria e il ruolo dell'intuizione

*In order to be constructed in a right way, geometry [...] only needs few simple principles. These principles are called the **axioms** of the geometry. [...] This study (of the axioms) goes back to the **logical analysis of our spatial intuition** (Grundlage der Geometrie, 1899).*



*At the moment there are two tendencies in mathematics. From one side, the tendency toward abstraction aims at 'crystallizing' the logical relations inside of a study object and at organizing this material in a systematic way. But there is also a tendency towards the **intuitive understanding** which aims at understanding the **concret meaning of their relations** (Anschauliche Geometrie, 1932)*

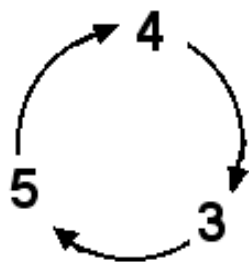
Rappresentazione circolare e struttura intervallare



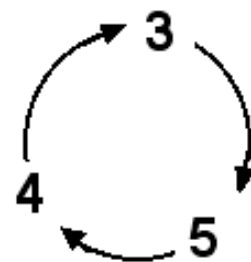
(4,3,5)



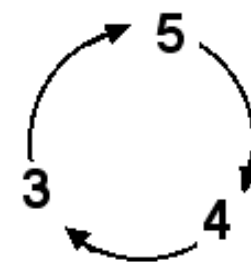
(4 3 5)



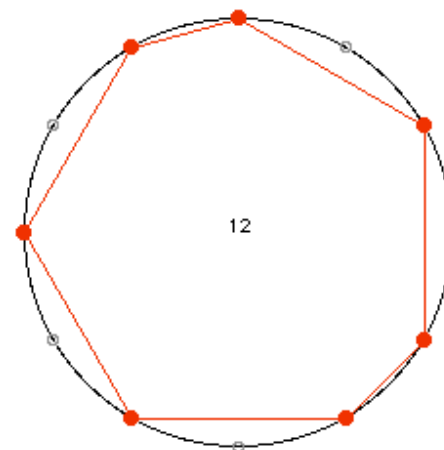
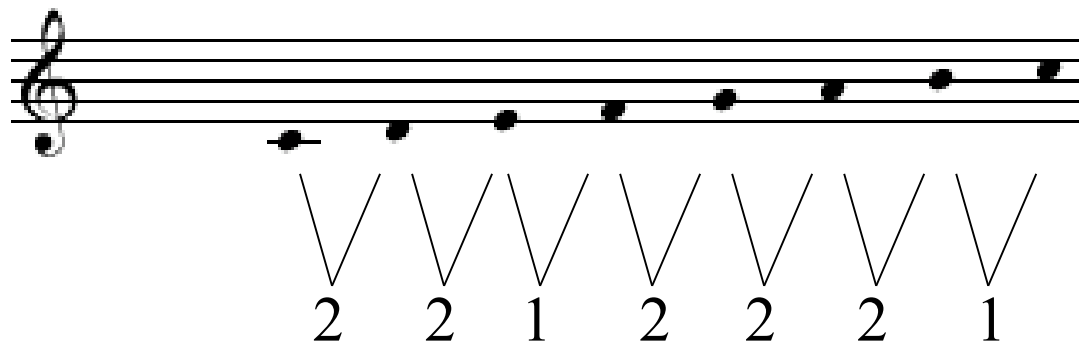
(3 5 4)



(5 4 3)

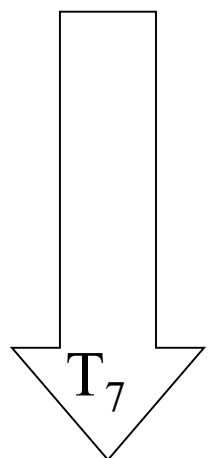
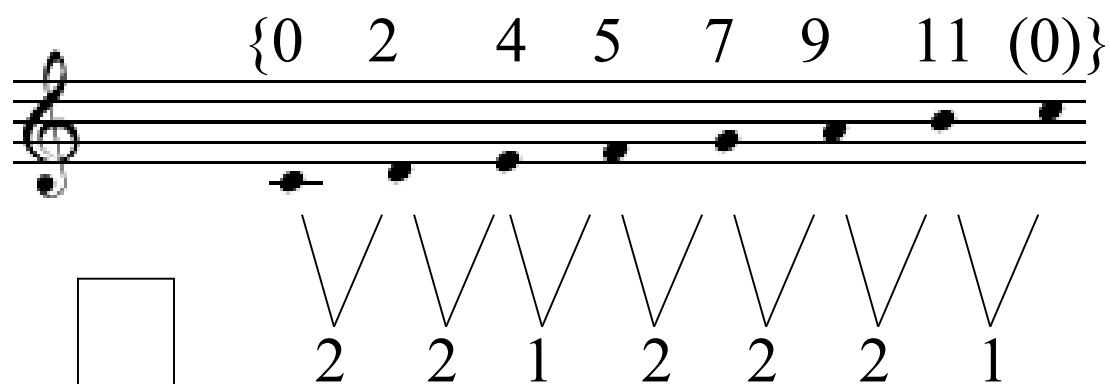


I rivolti di un accordo corrispondono alle permutazioni circolari della struttura intervallare

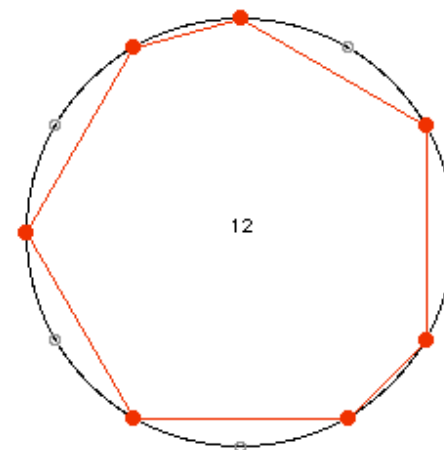
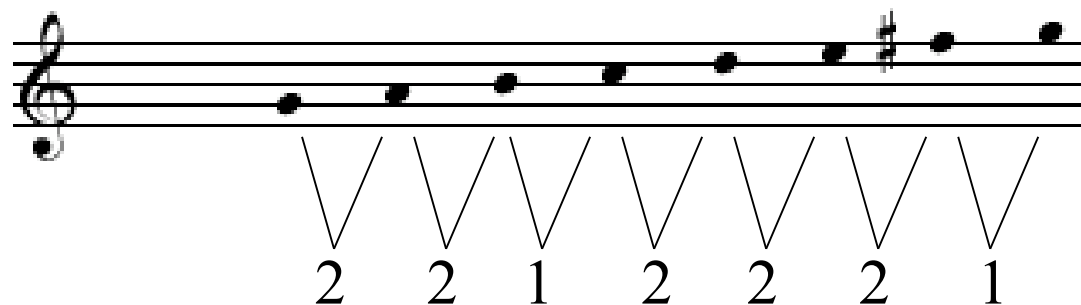


12

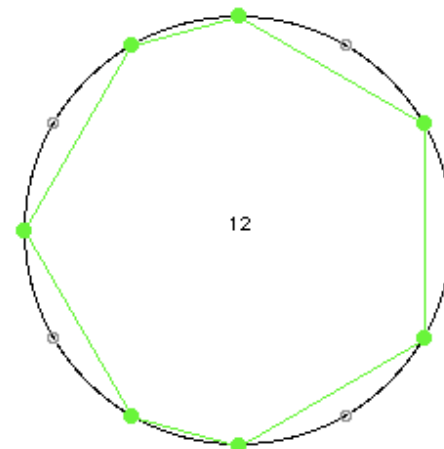
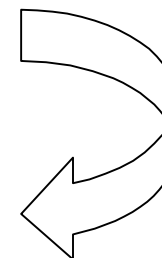
Trasformazioni geometriche: la trasposizione



$$T_7(x) = 7 + x \pmod{12}$$

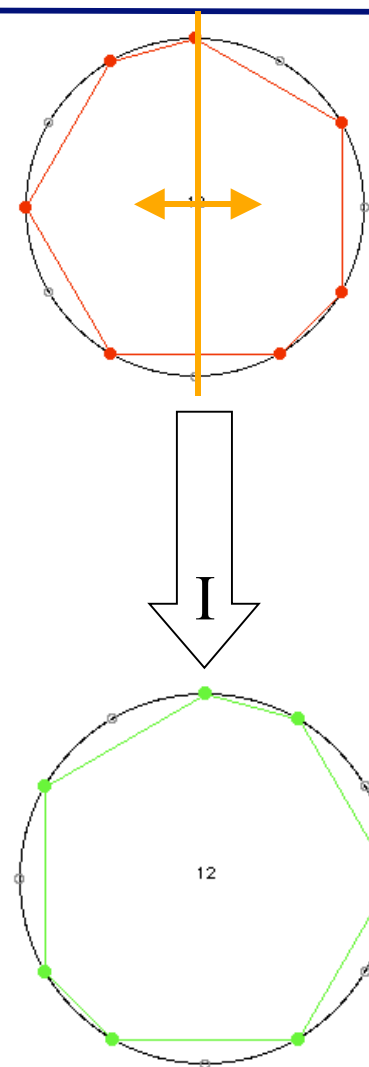
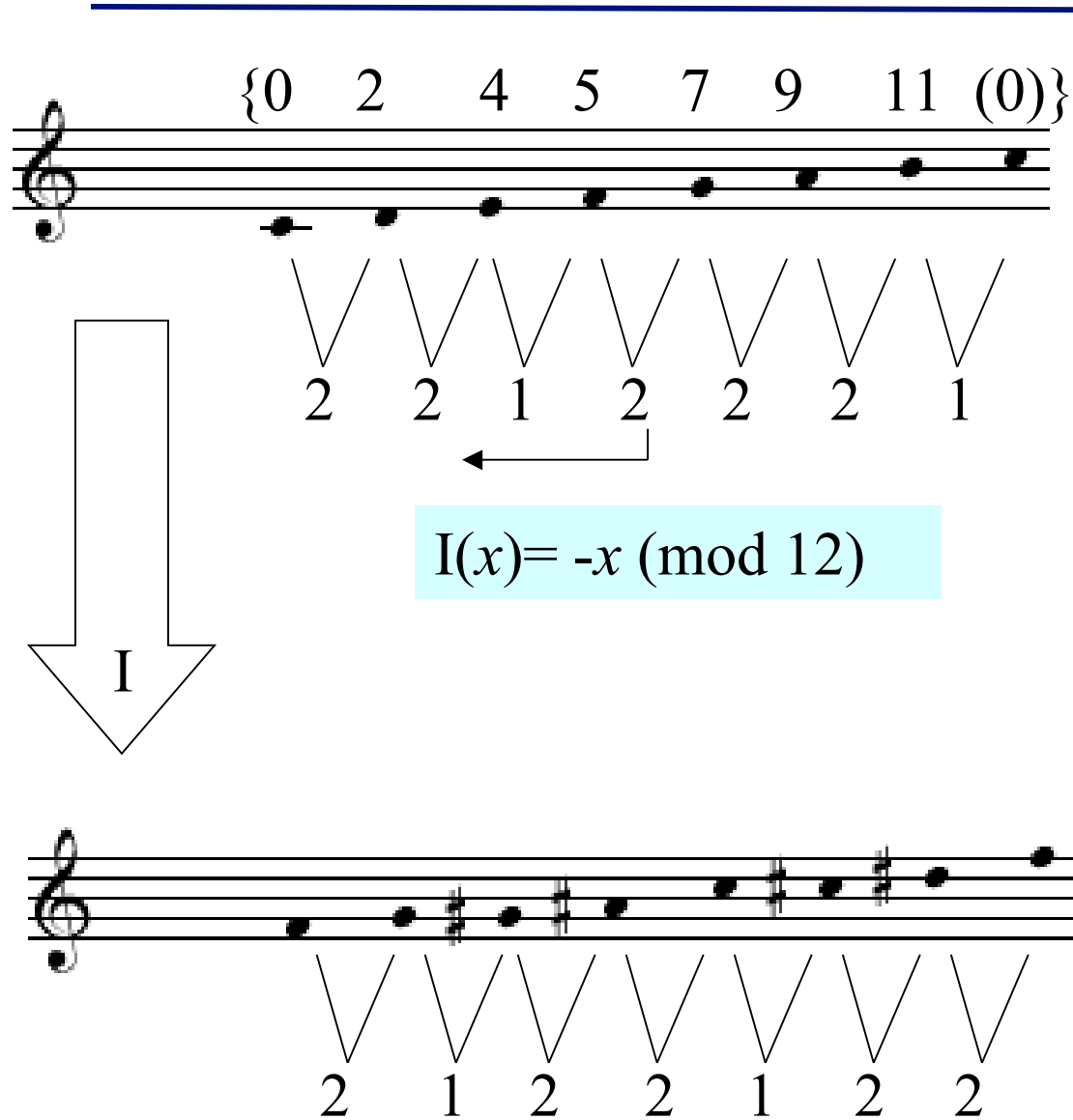


$$\alpha = 210^\circ$$



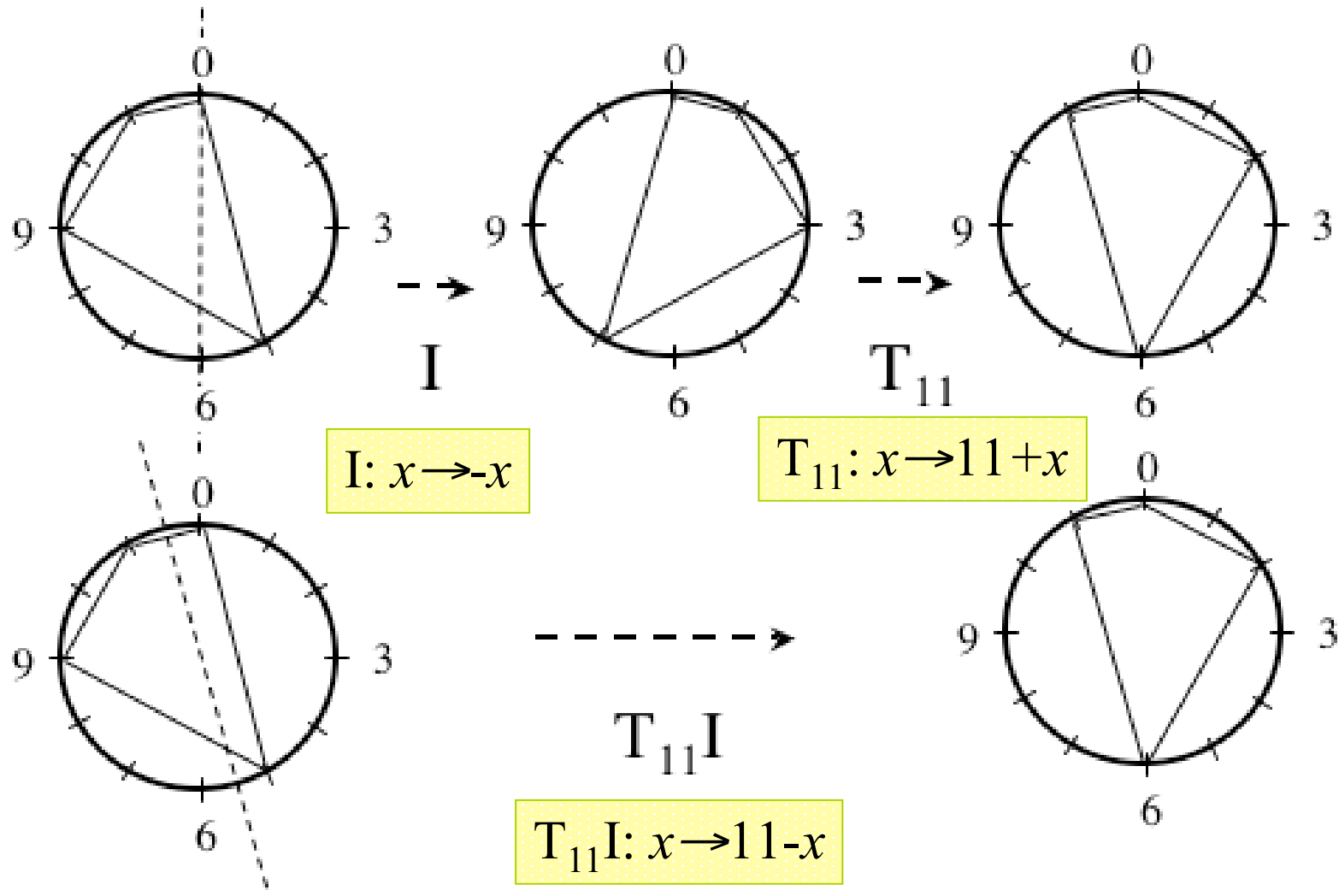
Equivalenza modulo la trasposizione

Trasformazioni geometriche: l'inversione



*Equivalenza modulo
l'inversione*

La Set Theory: equivalenza per trasposizione/inversione

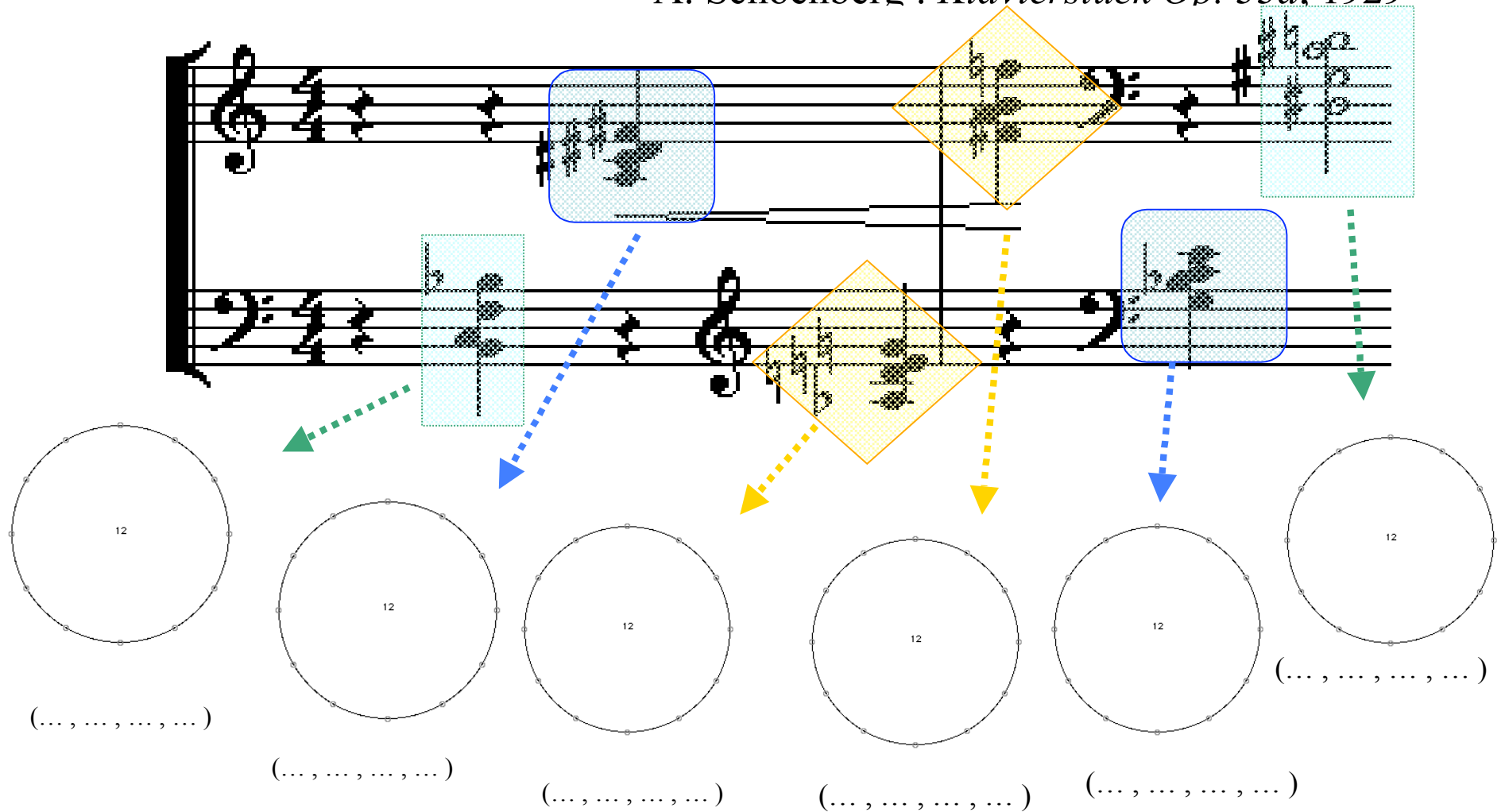


$$\{0, 5, 9, 11\} \longrightarrow \{11, 6, 3, 0\}$$

L'analisi formalizzata o le « entités formelles » in musica

André Riotte e Marcel Mesnage

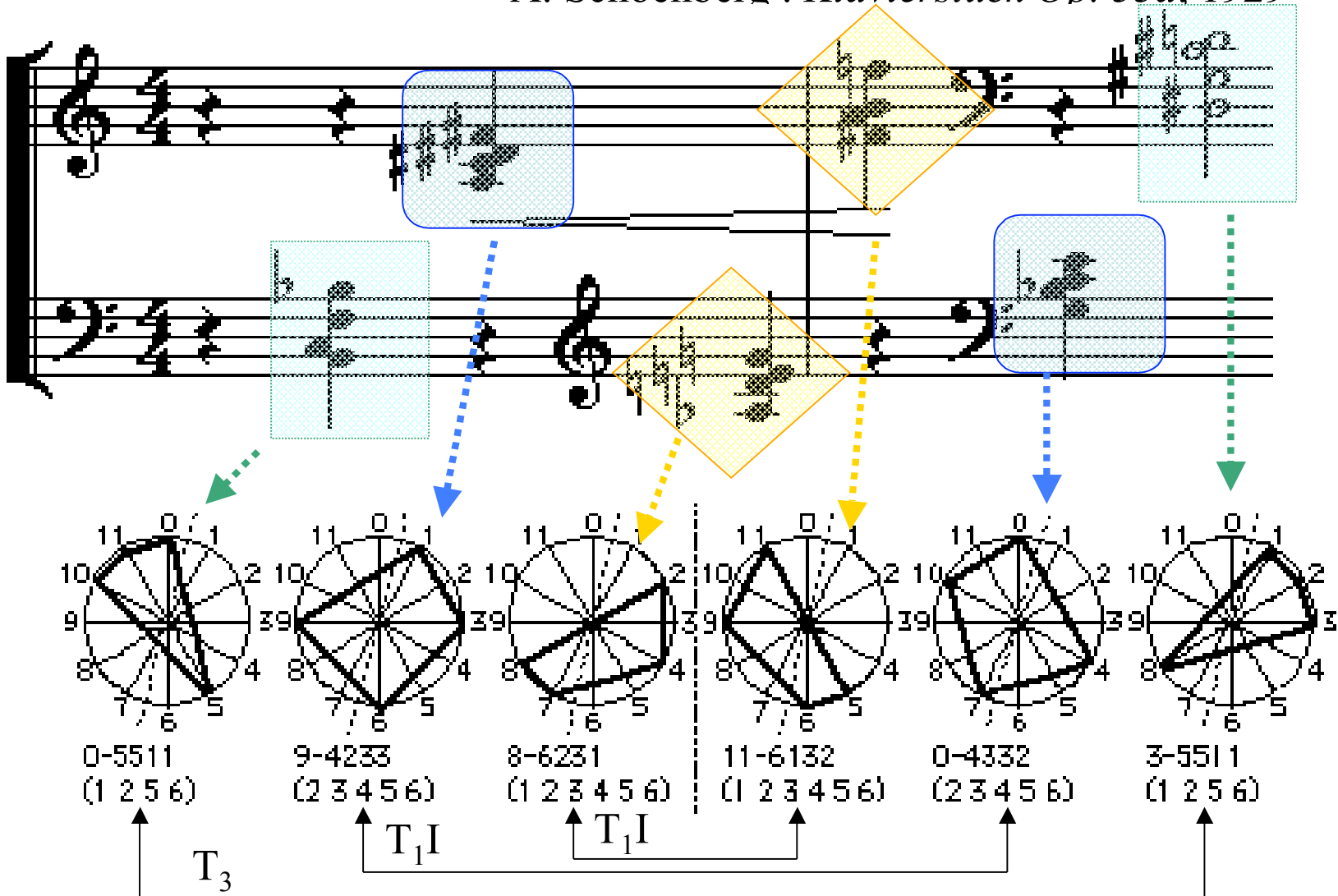
A. Schoenberg : *Klavierstück Op. 33a*, 1929



L'analisi formalizzata o le « entités formelles » in musica

André Riotte e Marcel Mesnage

A. Schoenberg : *Klavierstück Op. 33a*, 1929



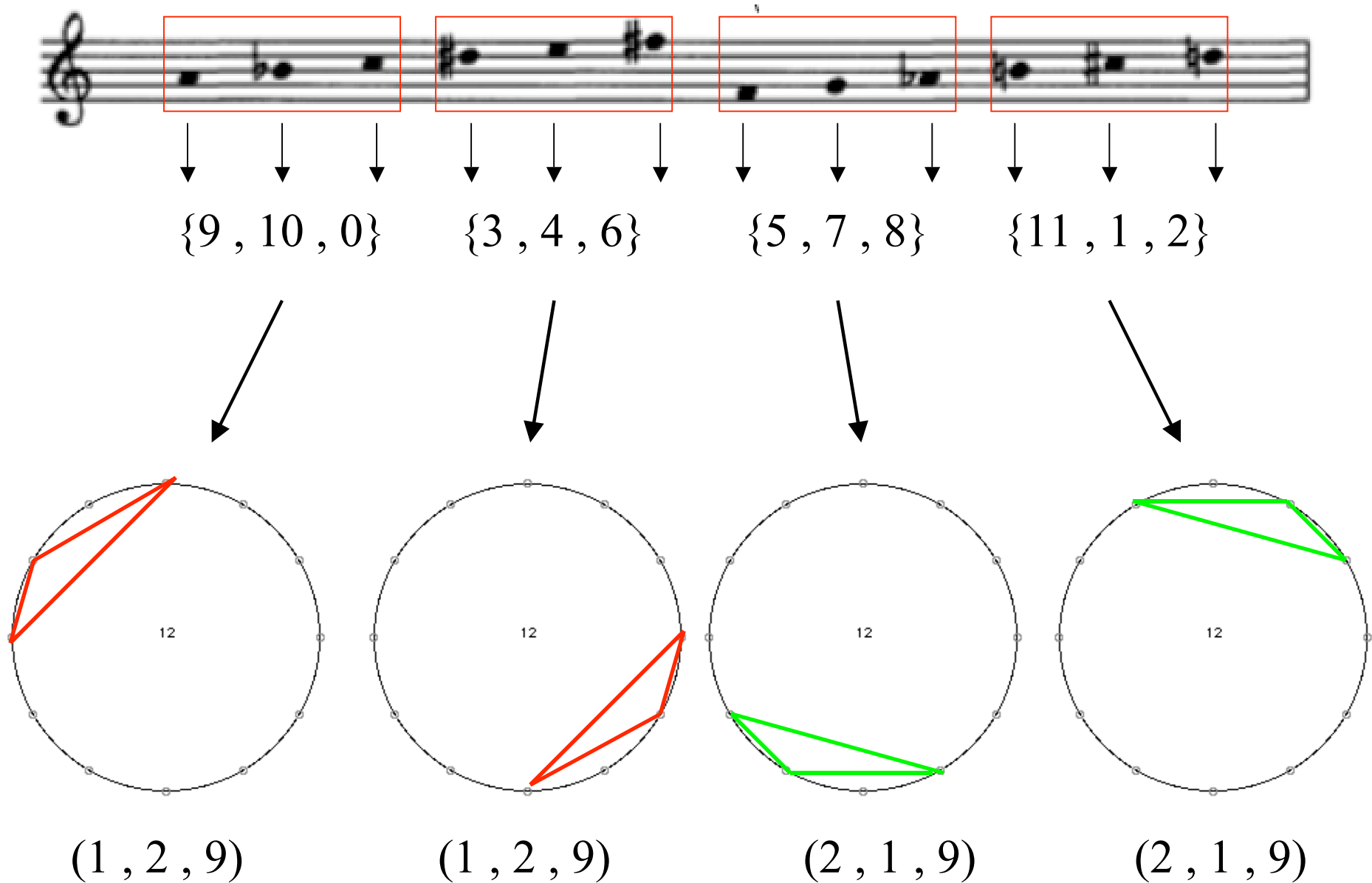
Ejercicio: encontrar las simetrias en una serie dodecafónica

Schoenberg: Serenade Op.24, Mouvement 5

The diagram illustrates the process of identifying symmetries in a dodecafonic series. It begins with a musical staff in treble clef containing a sequence of 12 notes. Four groups of three notes each are highlighted with red boxes. Below each group, three arrows point downwards to a set of three dots enclosed in curly braces, representing the pitch classes of that group. Four diagonal arrows then point from these groups to four identical circular diagrams. Each circle has 12 small dots on its circumference and the number '12' in the center, representing the complete dodecafonic series. Below each circle is a set of three dots enclosed in parentheses, representing the pitch classes of the corresponding group.

Las simetrias en una serie dodecafónica

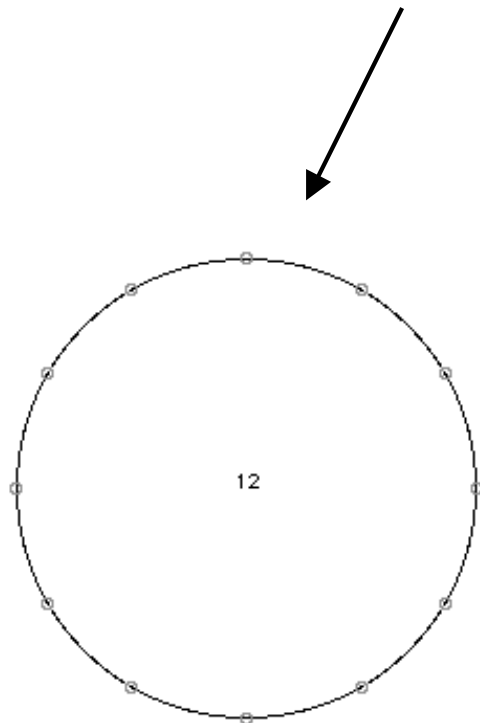
Schoenberg: Serenade Op.24, Mouvement 5



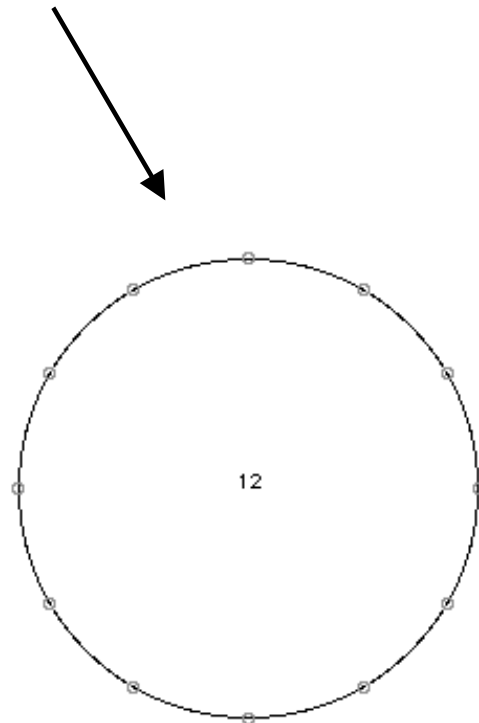
Ejercicio: encontrar las simetrias (pero con otra segmentation)

Schoenberg: Serenade Op.24, Mouvement 5

{... , ... , ... , ... , ... , ... } {... , ... , ... , ... , ... , ... }



(... , ... , ... , ... , ... , ...)

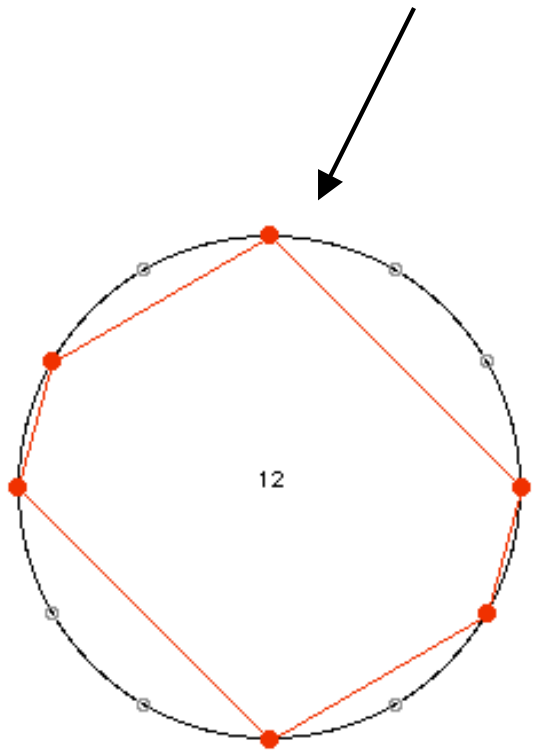


(... , ... , ... , ... , ... , ...)

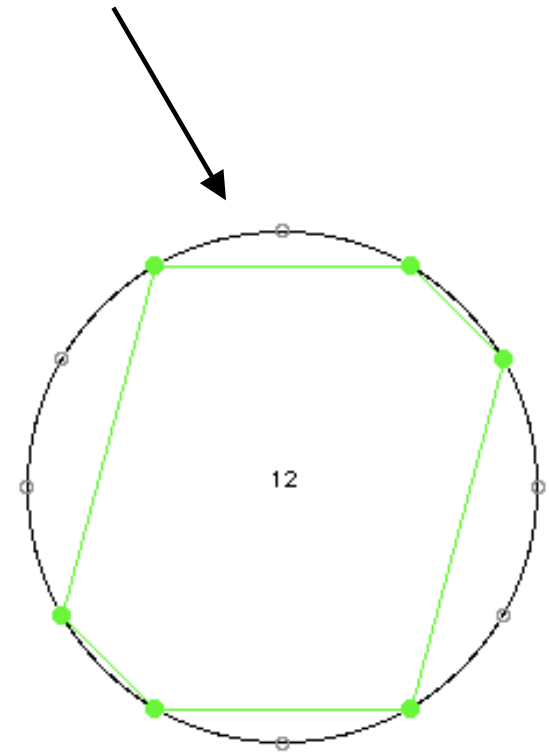
Otra simetria

Schoenberg: Serenade Op.24, Mouvement 5

$\{9, 10, 0, 3, 4, 6\}$ $\{5, 7, 8, 11, 1, 2\}$



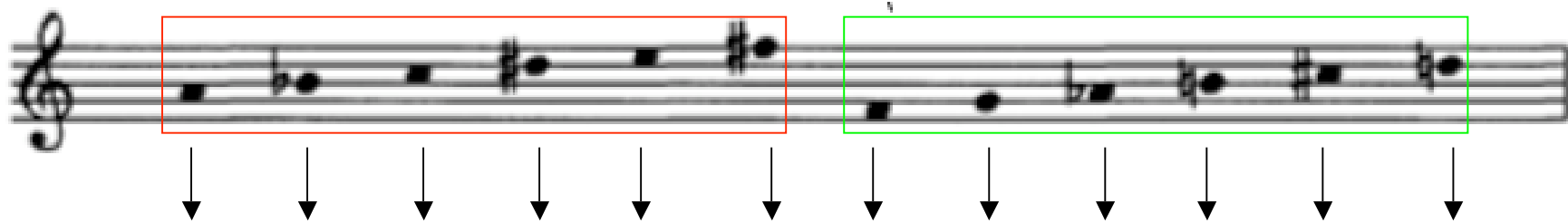
(3, 1, 2, 3, 1, 2)



(2, 1, 3, 2, 1, 3)

Simmetria trasposizionale e “combinatorialità” esacordale

Schoenberg: Serenade Op.24, Mouvement 5

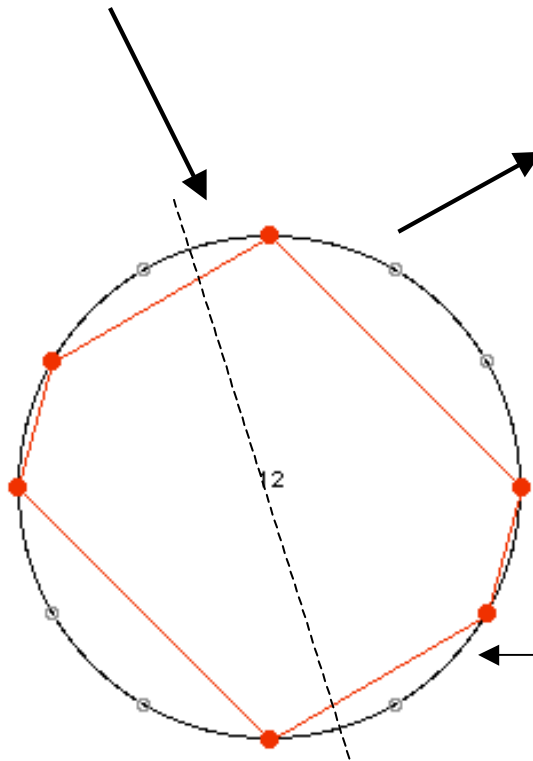


$$A = \{9, 10, 0, 3, 4, 6\} \quad \{5, 7, 8, 11, 1, 2\} = A'$$

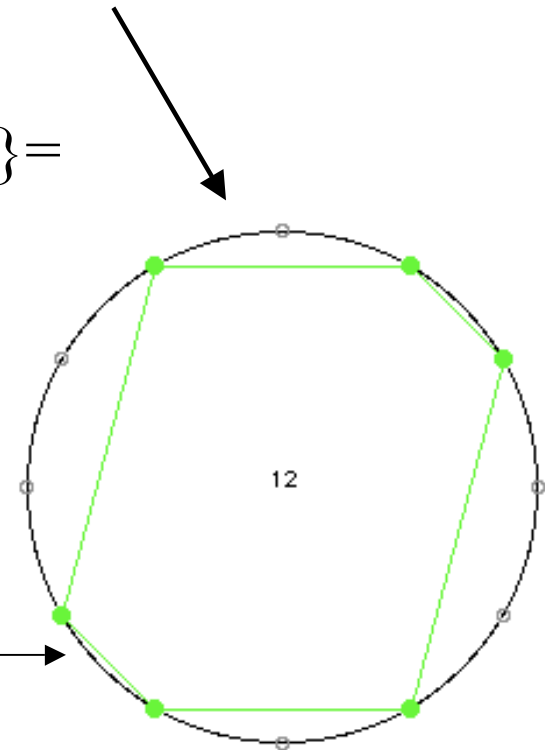
$$\begin{aligned} T_6\{9,10,0,3,4,6\} &= \\ &= \{6+9, 6+10, 6, 6+3, 6+4, 6+6\} = \\ &= \{3, 4, 6, 9, 10, 0\} \end{aligned}$$

$$T_6(A) = A$$

$$I_{11} = T_{11} I$$



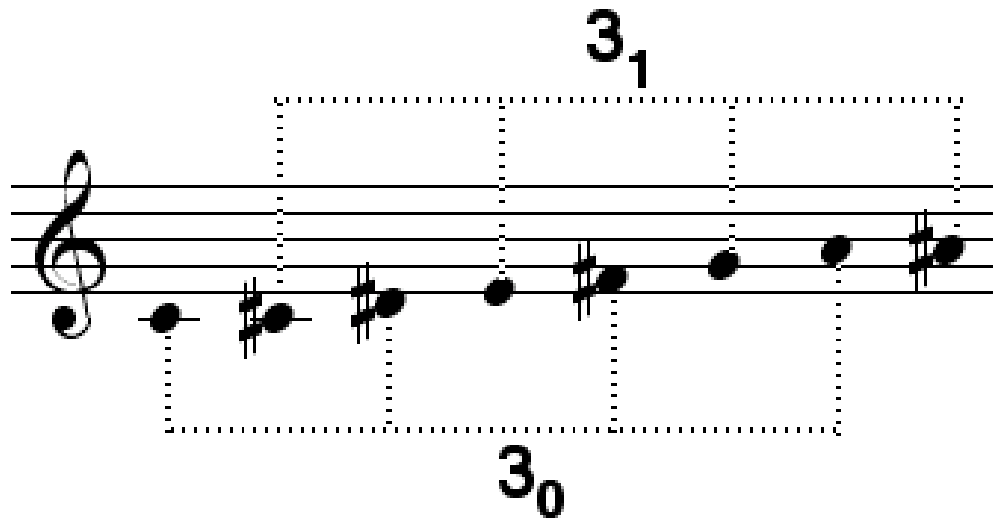
(3, 1, 2, 3, 1, 2)



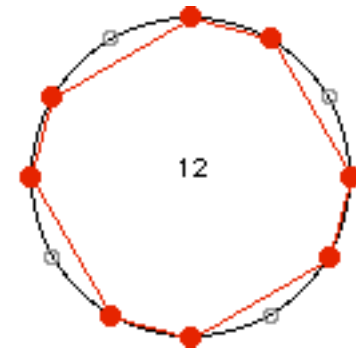
(2, 1, 3, 2, 1, 3)

Formalizzazione dei modi di Messiaen a trasposizione limitata

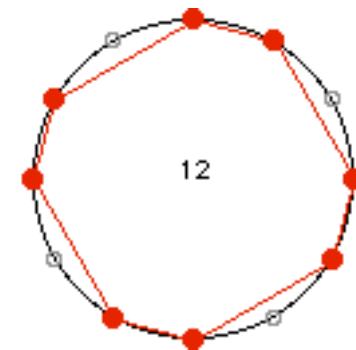
Quante e quali scale musicali hanno le stesse proprietà strutturali della scala ottatonica (semitono-tono)?



Trovare tutte le scale musicali che si ripetono esattamente ad una trasposizione T_k di k semitoni ($k \neq 0 \pmod{12}$)

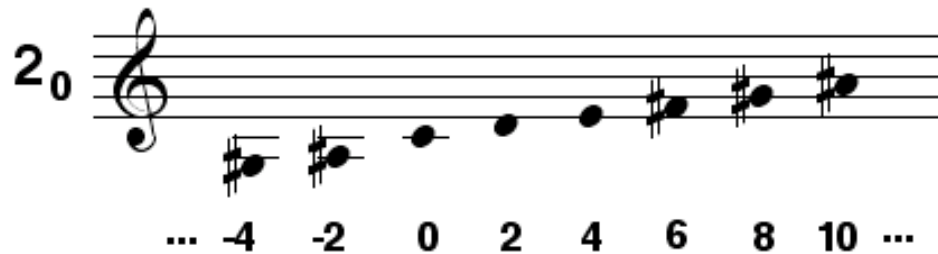
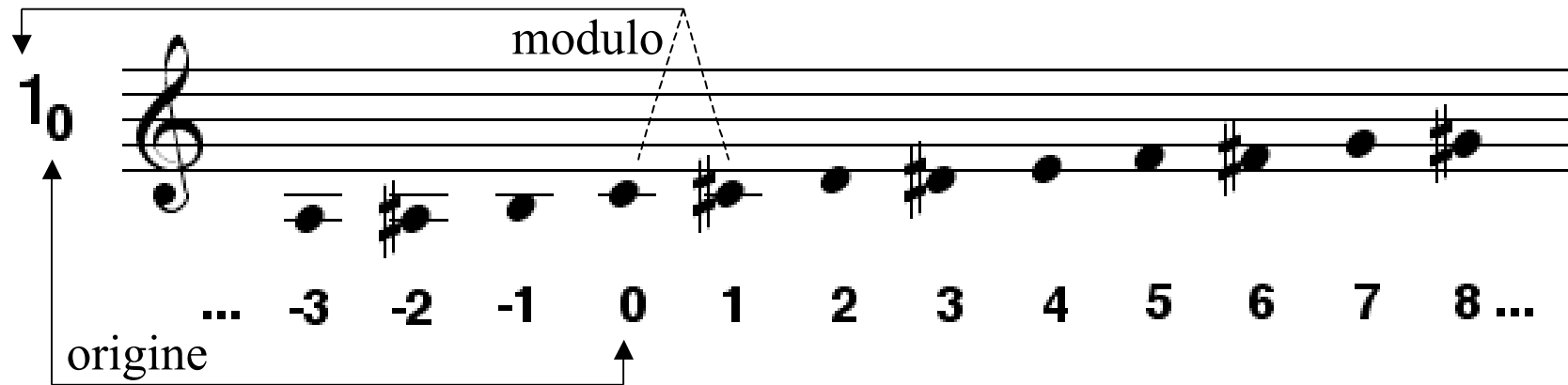


T_3



La teoria dei setacci

Formalizzazione algebrica di strutture musicali secondo Xenakis



$$1_0 = 2_0 \cup 2_1$$

$$2_0 \cap 2_1 = \emptyset$$



$$(2_0)^c = 2_1$$

$$(2_1)^c = 2_0$$

La teoria dei setacci

I « Modes à transpositions limitées » d'Olivier Messiaen

$$T_m(A) = A$$

$$m \neq 0 \pmod{12}$$

(3_0) Settima diminuita

(4_0) Triade aumentata

(6_0) Tritono

$6_0 \cup 6_1$

$6_0 \cup 6_2$

$6_0 \cup 6_3$?

« Cribles » / Messiaen

Verso un catalogo esaustivo

(1 ₀)	(3 ₀)	6 ₀ ∪ 6 ₁
(2 ₀)	(4 ₀)	6 ₀ ∪ 6 ₂
	(6 ₀)	

6₀ ∪ 6₁ ∪ 6₅

Modo n.5

3₀ ∪ 3₁

Modo n.2

4₀ ∪ 4₂ ∪ 4₃

Modo n.3

2₀ ∪ 6₅

Modo n.6

6₀ ∪ 6₁ ∪ 3₂

Modo n.4

2₁ ∪ 6₀ ∪ 6₂

Modo n.7

(6₀)

(2₀)

6₀ ∪ 6₁

6₀ ∪ 6₁ ∪ 6₅

4₀ ∪ 4₂ ∪ 4₃

3₀ ∪ 3₁

« Cribles » / Messiaen

Modi dimenticati...

(1₀)

(4₀)

6₀ ∪ 6₂

6₀ ∪ 6₁ ∪ 3₂

2₀ ∪ 6₅

2₁ ∪ 6₀ ∪ 6₂

(3₀)

6₀ ∪ 6₁ ∪ 3₂

A musical staff in treble clef showing a sequence of notes: G4, A4, B4, C5, D5, E5, F5, G5. Dotted boxes group the notes as follows: G4-A4-B4 (labeled 6₀), A4-B4-C5 (labeled 6₁), and B4-C5-D5-E5-F5-G5 (labeled 3₂).

A musical staff in treble clef showing a sequence of notes: G4, A4, B4, C5, D5, E5, F5, G5. Dotted boxes group the notes as follows: G4-A4-B4 (labeled 6₀), A4-B4-C5 (labeled 6₁), and B4-C5-D5-E5-F5 (labeled 6₃).

6₀ ∪ 6₁ ∪ 6₃

A musical staff in treble clef showing a sequence of notes: G4, A4, B4, C5, D5, E5, F5, G5. Dotted boxes group the notes as follows: G4-A4-B4 (labeled 6₀), A4-B4-C5 (labeled 6₃), and B4-C5-D5-E5-F5 (labeled 6₅).

6₀ ∪ 6₃ ∪ 6₅

Assiomatizzazioni, teoria dei gruppi e dei setacci

« *La formalizzazione e l'assiomatizzazione costituiscono uno strumento procedurale [guide processionnel] più adatto al pensiero moderno in generale* »

(Musiques formelles, 1963)

« *...formulazione universale per ciò che riguarda la **percezione** delle altezze: lo spazio degli intervalli melodici è provvisto di una struttura di **gruppo** avente come legge di composizione interna l'addizione* »

(« La voie de la recherche et de la question », *Preuves*, n° 177, nov. 1965)

« *...teoria dei setacci [cribles], una teoria che annette le congruenze modulo n e che deriva da un'assiomatizzazione della struttura universale della musica* »

(Descrittivo di *Nomos Alpha* per violoncello solo, 1966)

Portata « universale » della teoria dei setacci

« ...la teoria si può applicare ad ogni caratteristica (musicale) dotata di una struttura d'ordine totale, come le intensità, gli attacchi, le densità etc. Inoltre in un futuro immediato assisteremo ad un'esplorazione della teoria e delle sue multiple applicazioni attraverso il computer, visto che la essa è completamente implementabile »

(Arts/Sciences - Alloys, Stuyvesant: Pendragon Press, 1985)

Isomorfismo altezze/ritmi secondo Xenakis

« [Con la teoria dei setacci] si possono costruire delle **architetture ritmiche estremamente complesse** che possono arrivare persino alla distribuzione pseudo-aleatoria di punti su una retta se il periodo è sufficientemente lungo »

(« Redécouvrir le temps », éditions de l'Université de Bruxelles, 1988)

$$A = (13_3 \cup 13_5 \cup 13_7 \cup 13_9)^c$$

$$B = 11_2$$

$$C = (11_4 \cup 11_8)^c$$

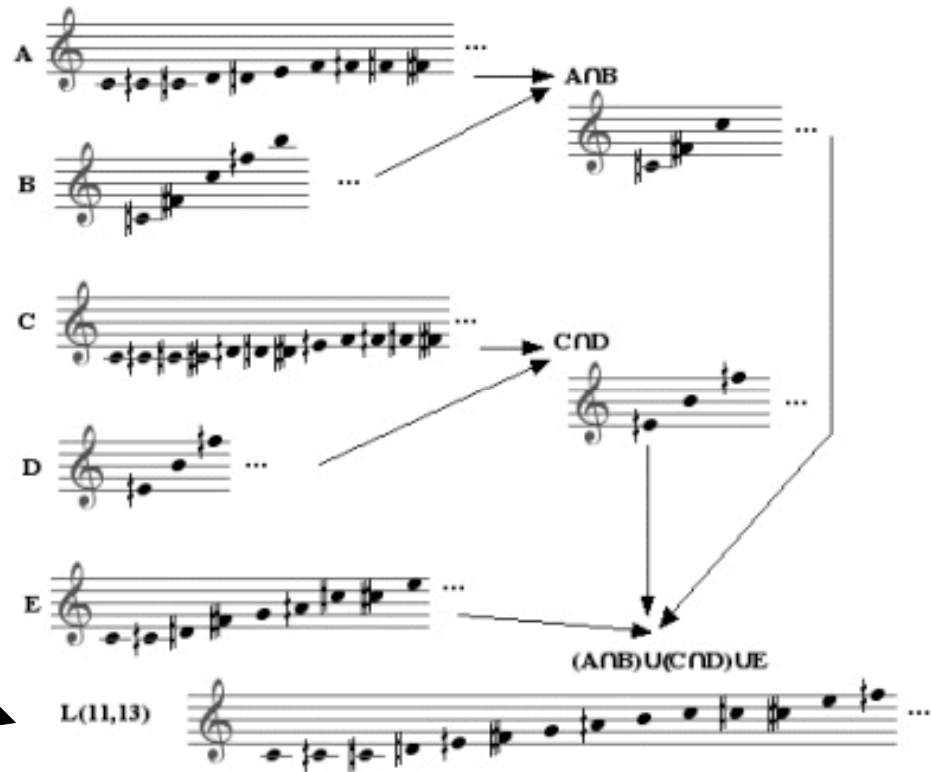
$$D = 13_9$$

$$E = 13_0 \cup 13_1 \cup 13_6$$



$$(A \cap B) \cup (C \cap D) \cup E$$

(*Nomos Alpha*, 1966)



0, 2, 13, 24, 35, ...

Isomorfismo altezze/ritmi in Messiaen

- Mode de valeurs et d'intensités (1950)

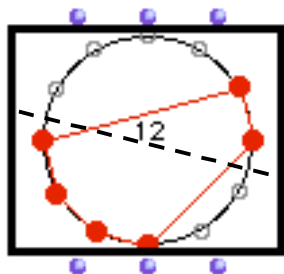
Modéré

PIANO

Voici le mode:

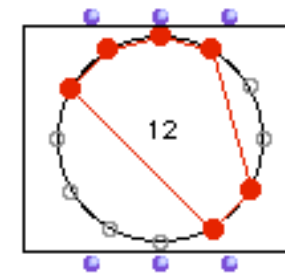
I

(la Division I est utilisée dans la portée supérieure du Piano)



$$\{3,2,9,8,7,6\} \longrightarrow \{4,5,10,11,0,1\}$$

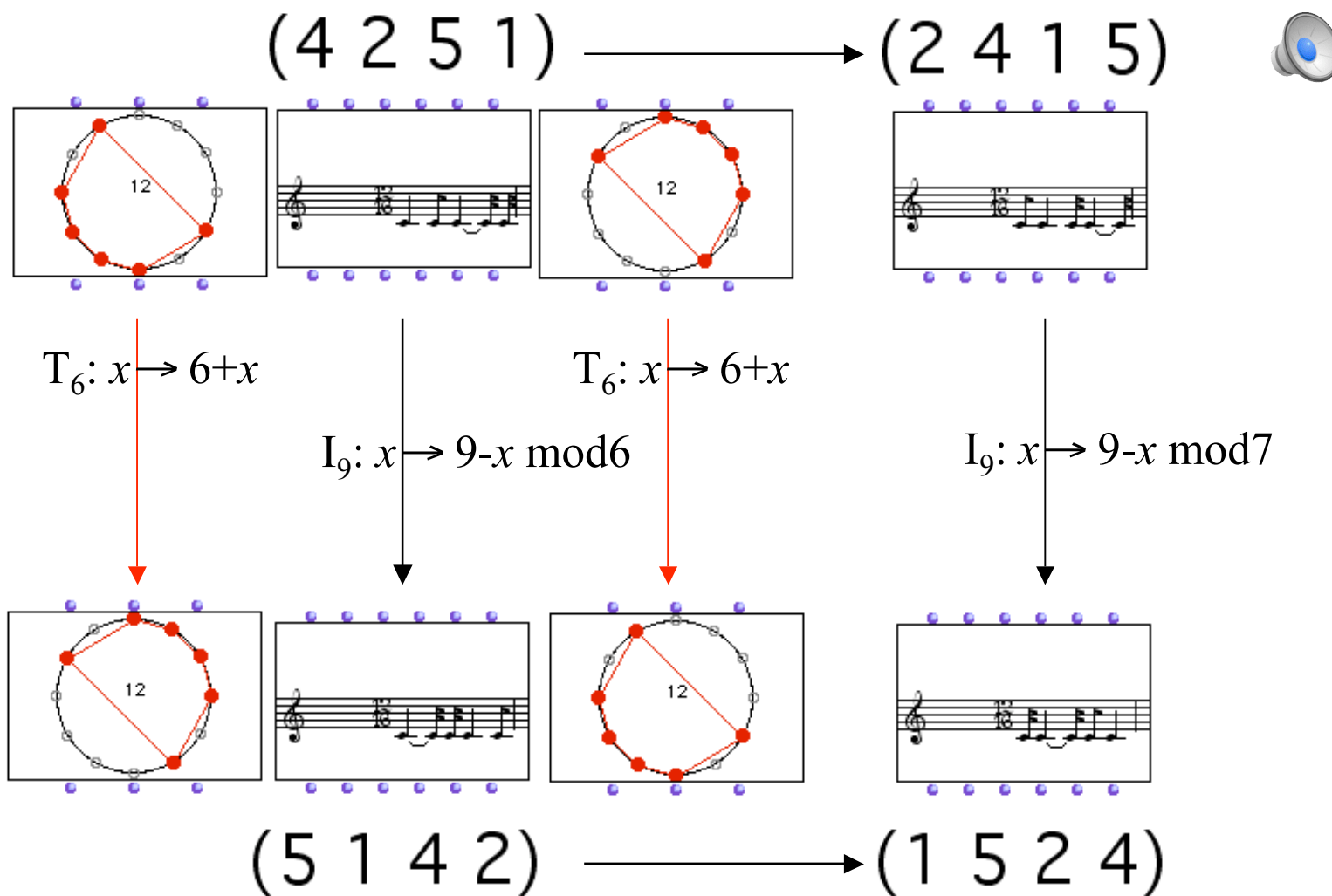
$$T_7 I : x \rightarrow 7-x$$



Combinatorialità esacordale e interpretazioni ritmiche

- *Three compositions for piano* (1948)

mm.14-16

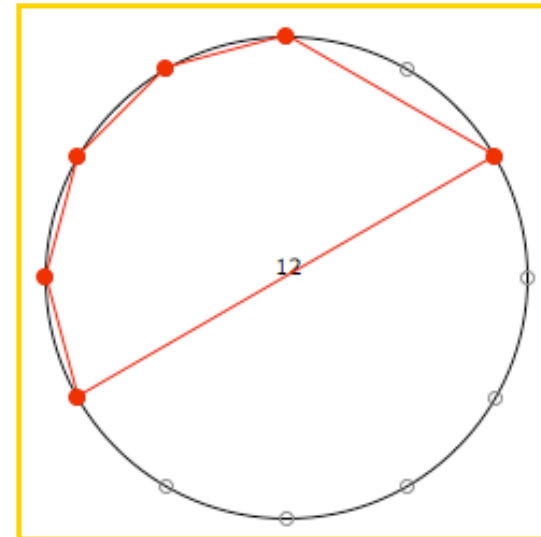
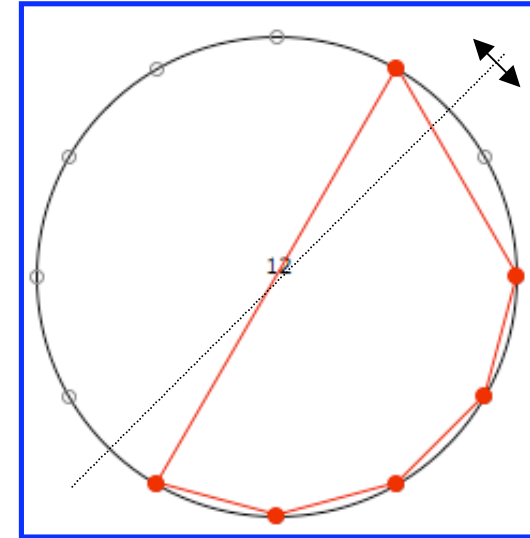
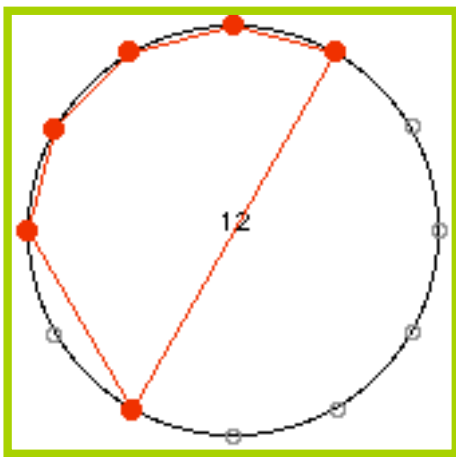
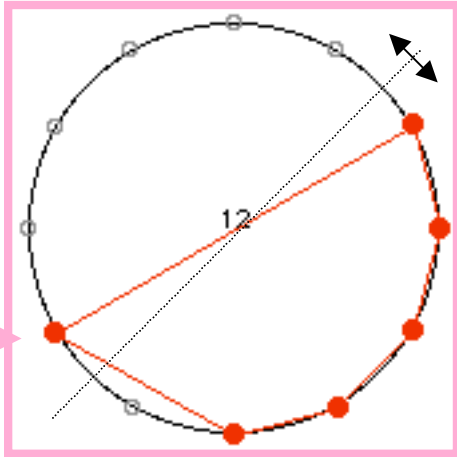


Set Theory, serialismo e equivalenza modulo trasposizione/inversione

Schoenberg: Suite Op.25, Minuetto

The musical score shows two systems of music. The first system (pink background) contains notes 5, 6, 8, and 9. The second system (green background) contains notes 10, 11, and 12. The notes are circled in blue and yellow, and arrows point from these notes to the corresponding points on the set theory diagrams below.

“Combinatorialità” esacordale



Operazioni dodecafoniche e strutture matematiche

The image displays four musical staves, each representing a different operation on a dodecaphonic series. The first staff, labeled 'S', shows the 'Serie originaria' (original series) with red arrows indicating the sequence of notes. The second staff, labeled 'I', shows the 'Inversione' (inversion) of the series. The third staff, labeled 'R', shows the 'Retrogradazione' (retrograde) of the series. The fourth staff, labeled 'IR', shows the 'Retrogradazione inversa' (retrograde inversion) of the series. Each staff has a light blue box below it with the name of the operation in bold black text.

Il sistema dodecafonico è “*un insieme d’elementi, relazioni fra gli elementi e operazioni sugli elementi. [...] Un’effettiva matematizzazione avrebbe bisogno di una formulazione e di una presentazione dettata dal fatto che il sistema dodecafonico è un gruppo di permutazioni determinato [shaped] dalla struttura di questo modello matematico*”

Operazioni dodecafoniche e strutture matematiche

The image displays four musical staves, each representing a different operation on a dodecaphonic series. The notes are arranged in a sequence of 12 notes across each staff. The first staff, labeled 'S', shows the original series with red arrows indicating the sequence. The second staff, labeled 'I', shows the inverted series. The third staff, labeled 'R', shows the retrograde series with red arrows indicating the reverse sequence. The fourth staff, labeled 'IR', shows the retrograde inverted series.

S Serie originaria

I Inversione

R Retrogradazione

IR Retrogradazione inversa

Il sistema dodecafonico è “*un insieme d’elementi, **relazioni** fra gli elementi e **operazioni** sugli elementi. [...] Un’effettiva matematizzazione avrebbe bisogno di una formulazione e di una presentazione dettata dal fatto che il sistema dodecafonico è un **gruppo di permutazioni** determinato [shaped] dalla struttura di questo modello matematico”*”

Operazioni dodecafoniche e strutture matematiche

The image displays four musical staves, each representing a different operation on a dodecaphonic series. The series is shown as a sequence of twelve notes on a five-line staff. The operations are:

- S Serie originaria:** The original series of notes.
- I Inversione:** The series inverted around a central axis, with red arrows indicating the direction of inversion.
- R Retrogradazione:** The series played in reverse order.
- IR Retrogradazione inversa:** The inverted series played in reverse order, with red arrows indicating the direction of retrogradation.

Il sistema dodecafonico è “*un insieme d’elementi, relazioni fra gli elementi e operazioni sugli elementi. [...] Un’effettiva matematizzazione avrebbe bisogno di una formulazione e di una presentazione dettata dal fatto che il sistema dodecafonico è un gruppo di permutazioni determinato [shaped] dalla struttura di questo modello matematico*”

Operazioni dodecafoniche e strutture algebriche

The image shows four musical staves, each with a treble clef and a series of notes. Red arrows indicate the direction of the sequence.

- Serie originaria:** The original series of notes, moving from left to right.
- Inversione:** The original series inverted, moving from right to left.
- Retrogradazione:** The original series in reverse order, moving from right to left.
- Retrogradazione inversa:** The inverted series in reverse order, moving from left to right.

+	S	I	R	RI
S	S	I	R	RI
I	I	S	RI	R
R	R	RI	S	I
RI	RI	R	I	S

Struttura di gruppo:

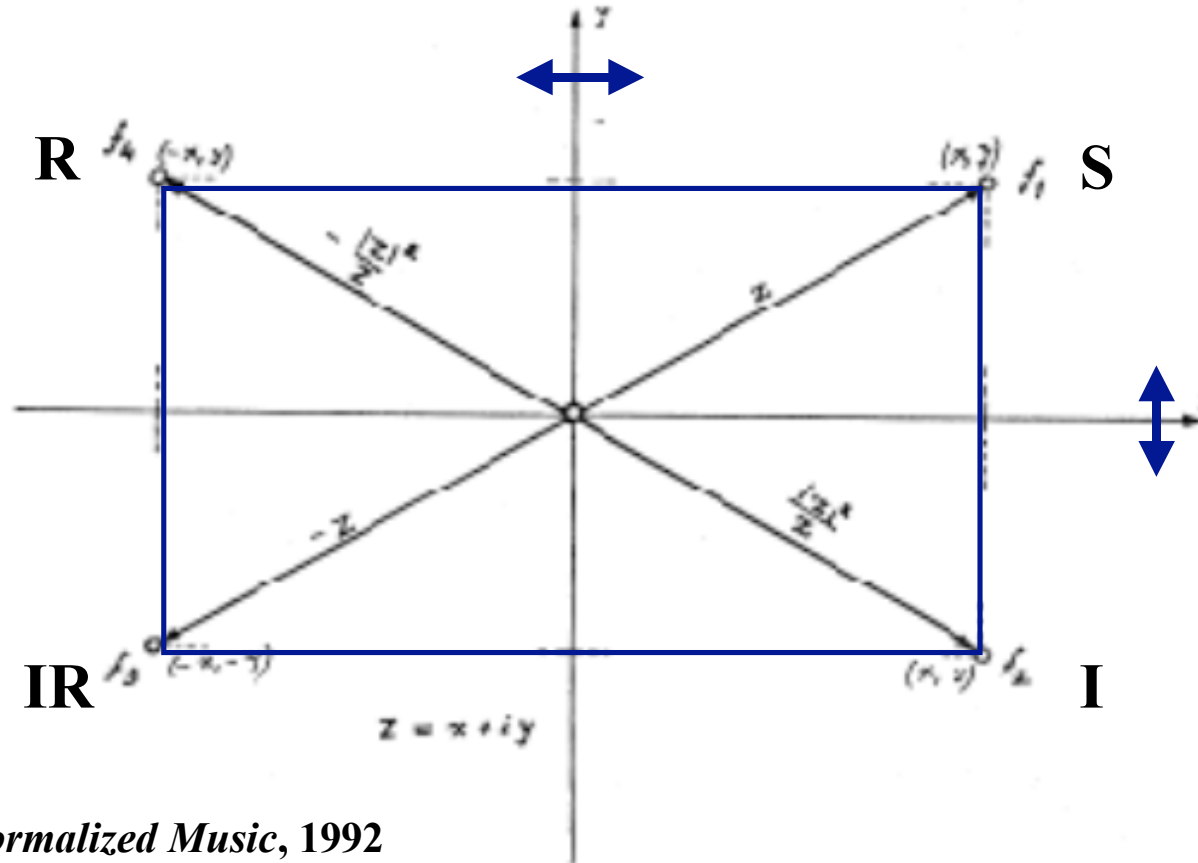
- Chiusura
- Esistenza dell'elemento neutro
- Esistenza dell'inverso
- Associatività: $(a+b)+c=a+(b+c)$

Operazioni dodecafoniche e strutture algebriche

	S	I	R	RI
S	S	I	R	RI
I	I	S	RI	R
R	R	RI	S	I
RI	RI	R	I	S

Struttura di gruppo

- Chiusura
- Esistenza dell'elemento neutro
- Esistenza dell'inverso
- Associatività



Felix Klein

Iannis Xenakis, *Formalized Music*, 1992

Operazioni dodecafoniche e strutture algebriche

S

(0,0) (1,4) (2,2) (3,5) (4,1) (5,3) (6,11) (7,7) (8,9) (9,6) (10,10) (11,8)

I

R

IR

$$S: (a,b) \rightarrow (a,b)$$

Operazioni dodecafoniche e strutture algebriche

S

(0,0) (1,4) (2,2) (3,5) (4,1) (5,3) (6,11) (7,7) (8,9) (9,6) (10,10) (11,8)

I

(0,0) (1,8) (2,10) (3,7) (4,11) (5,9) (6,1) (7,5) (8,3) (9,6) (10,2) (11,4)

R

IR

$$\mathbf{I: } (a,b) \rightarrow (a, 12-b \text{ mod.} 12)$$

Operazioni dodecafoniche e strutture algebriche

S

(0,0) (1,4) (2,2) (3,5) (4,1) (5,3) (6,11) (7,7) (8,9) (9,6) (10,10) (11,8)

I

R

(0,8) (1,10) (2,6) (3,9) (4,7) (5,11) (6,3) (7,1) (8,5) (9,2) (10,4) (11,0)

IR

$$\mathbf{R}: (a,b) \rightarrow (11-a,b).$$

Operazioni dodecafoniche e strutture algebriche

S
 (0,0) (1,4) (2,2) (3,5) (4,1) (5,3) (6,11) (7,7) (8,9) (9,6) (10,10) (11,8)

I

R

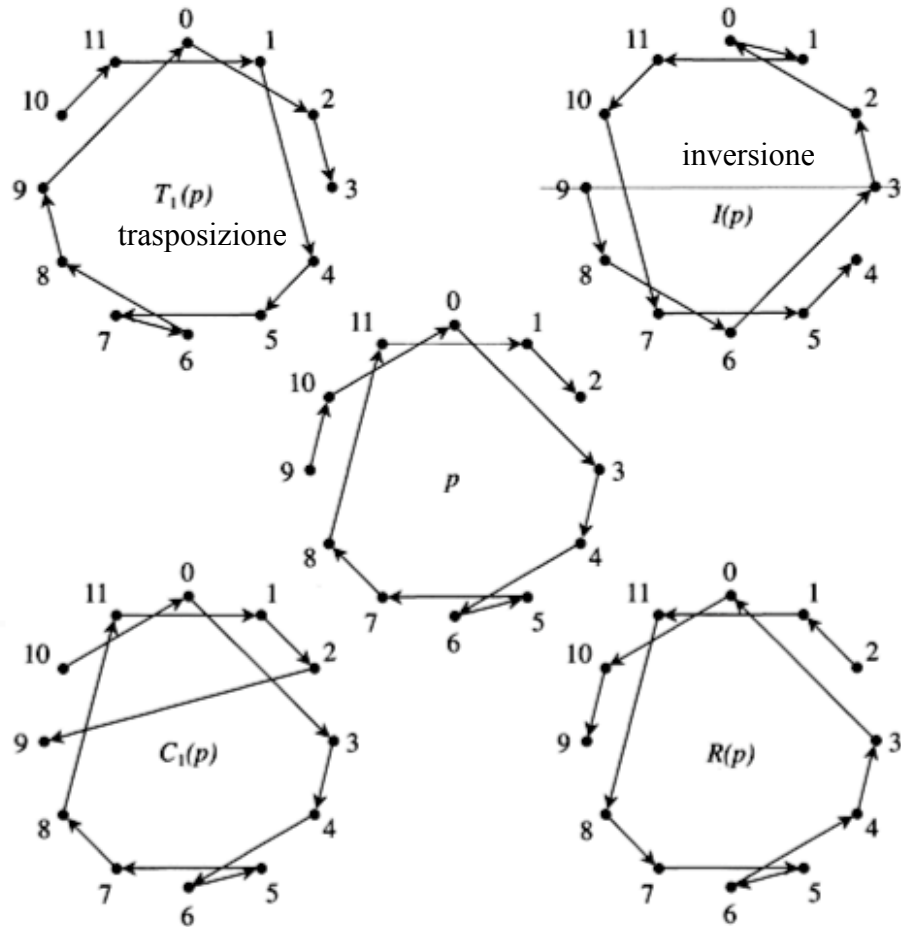
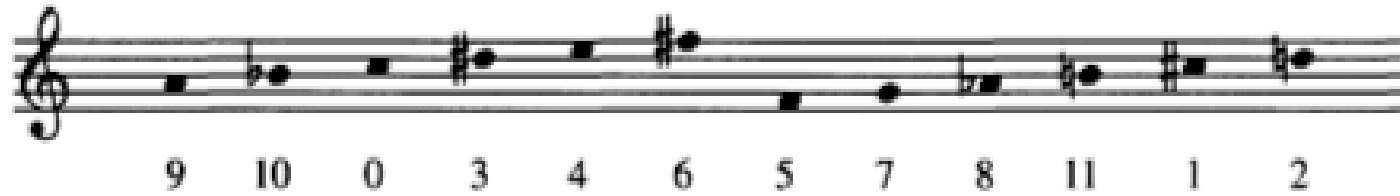
IR
 (0,4) (1,2) (2,6) (3,3) (4,5) (5,1) (6,9) (7,11) (8,7) (9,10) (10,8) (11,0)

$$\begin{array}{l}
 \text{IR:}(a,b) \rightarrow (11-a, b \text{ mod. } 12) \\
 \quad \quad \quad \downarrow \\
 (11-a, 12-b \text{ mod. } 12)
 \end{array}$$

=

$$\begin{array}{l}
 \text{RI:}(a,b) \rightarrow (a, 12-b \text{ mod. } 12) \\
 \quad \quad \quad \downarrow \\
 (11-a, 12-b \text{ mod. } 12)
 \end{array}$$

Rappresentazioni geometriche delle trasformazioni dodecafoniche



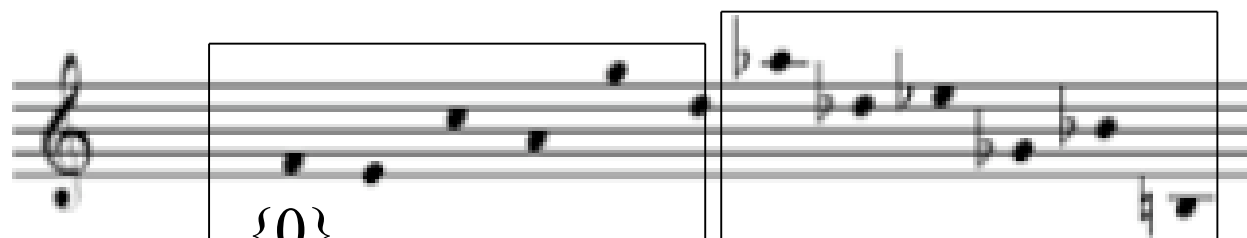
R.C. Read: « Combinatorial problems in the theory of music », *Discrete Math.*, 1997

David J. Hunter & Paul T. von Hippel : « How Rare Is Symmetry in Musical 12-Tone Rows? », *The American Mathematical Monthly*, Vol. 110, No. 2. (Feb., 2003), pp. 124-132.

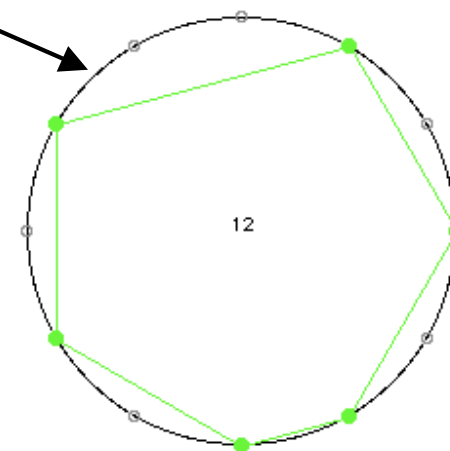
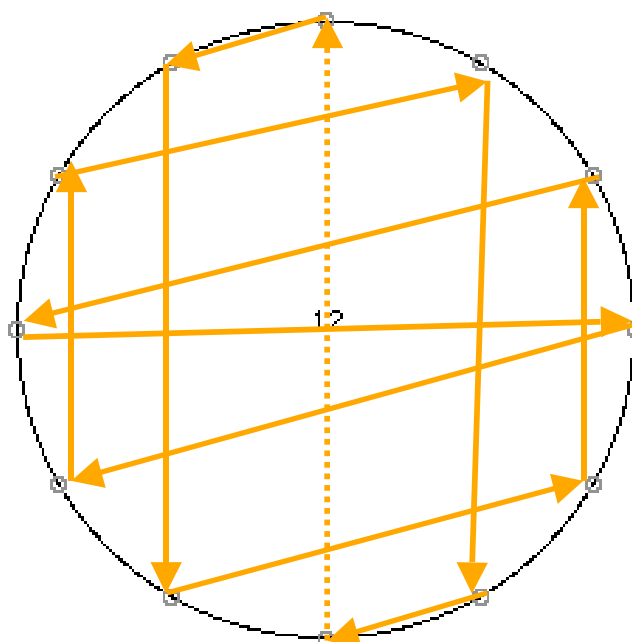
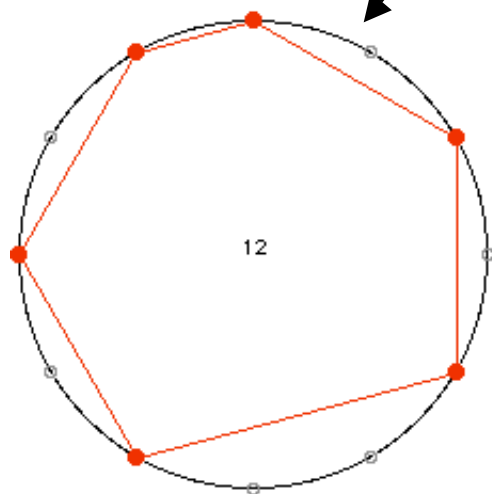
« rotazione »
(permutation circulaire)

retrogradazione

Serie dodecafoniche « omni-intervallari » (*all-interval rows*)



Musical notation showing a sequence of notes on a staff. A box highlights the first note, labeled $\{0\}$. Below the staff, the set $S = \{0, 11, 7, 4, 2, 9, 3, 8, 10, 1, 5, 6\}$ is listed.



$$S^* = (11, 8, 9, \dots)$$

Serie omni-intervallari e teoria della modulazione tonale

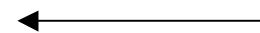
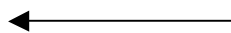
Thorvald Ötterstrom, *A Theory of Modulation*, Chicago UP, 1935



C C# F G# A# D# A E D B G F# (C)

0 1 5 8 10 3 9 4 2 11 7 6 (0)

$\alpha =$ 1 4 3 2 5 6 7 10 9 8 11 (6)



11 8 9 10 7 6 5 2 3 4 1 (6)



$E(\alpha) =$ 5 2 3 4 1 6 11 8 9 10 7 (6)

key-form; otherwise it is called an *acentral* key-form. By Theorem 11, when b is even, there always exists a central key-form. If b is greater than 4, then by the Corollary we need to find only one-fourth of all the key-forms in order to have them all, since each one *generates* three more. To find a complete set of generating key-forms we may proceed as follows:

1. Find all the central key-forms with the element 1 in the first half of A or in its middle.
2. Find all the acentral key-forms with B longer than A and with the element 1 in the first half of A or in its middle.
3. Find all the acentral key-forms with B longer than A and with the element 1 in the first half of B or in its middle.

Complete sets of generating key-forms for $b=2, 4, 6, 8, 10$ are as follows:

$b=2$:

1

$b=4$:

123

$b=6$:

14325

$b=8$:

CENTRAL

1234567

1634527

174532

$b=10$:

$k_1=1$: 126357489
124753689
124759863
174258639
138654279
183654729
176852439
176859342

ACENTRAL

1643752

3241576

7245136

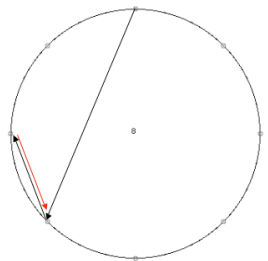
6542137

CENTRAL

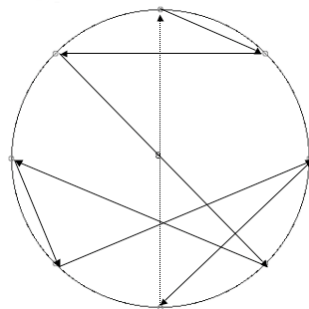
$k_1=1$: 312654897

318456297

813456792



(5,1,7,4,6,3,2)



(1,6,4,3,7,5,2)

	ACENTRAL				
$k_1=5$:	129574836 162548793 184597263 216534789 498512367 367512498 867512493 926513847 427513968 472518963	$k_1=5$:	125978436 135869427 175948326 185369427 765123849 985132674 485132679 265134879 935162784 435162789 475218693 865714293 365714298 425718693 975241683 925741683	$k_1=5$:	153869247 158324967 157632498 351267849 851327694 851396724 751623489 251678439 851762349 351872694 351896274 657132948 256143879 756148329 657149238 952168743 453186927 653814297 259714386 759214836 953416872 452618793 452781693 95241863

BASE b	GENERATING KEY-FORMS				TOTAL KEY-FORMS
	Central		Acentral	Total	
	$k_1=1$	Total			
2.....	1	1	0	1	1
4.....	1	1	0	1	2
6.....	1	1	0	1	4
8.....	2	3	4	7	28
10.....	8	11	55	66	264

The problem of the number of key-forms for the general base b is a problem in partitions and probably admits of no formula.

The problem of the number of key-forms for the general base b is a problem of partition and probably admits of no formula

Enumerazione delle serie omni-intervallari (via Burnside / Polya)

H. Friepertinger: «Enumeration in Musical Theory», *Beiträge zur Elektr. Musik*, 1, 1992

ACENTRAL					
$k_1 = 5:$	129574836	$k_1 = 5:$	125978436	$k_1 = 5:$	153869247
	162548793		135869427		158324967
	184597263		175948326		157632498
			185369427		
	216534789				351267849
			765123849		851327694
	498512367		985132674		851396724
	367512498		485132679		751623489
	867512493		265134879		251678439
	926513847		935162784		85162349
	427513968		435162789		351872694
	472518963				351896274
			475218693		
	347521689		865714293		657132948
	849571326		365714298		256143879
	342571689		425718693		756148329
					657149238
	386524179		975241683		952168743
	638592147		925741683		453186927
					653814297
					259714386
					759214836
					953416872
					452618793
					452781693
					957241863

BASE #	GENERATING KEY-FORMS				TOTAL KEY-FORMS
	Central		Acentral	Total	
	$k_1 = 1$	Total			
2	1	1	0	1	1
4	1	1	0	1	2
6	1	1	0	1	4
8	2	3	4	7	28
10	8	11	55	66	264

Theorem 25 (Number of Patterns of All-Interval-Rows) For $i = 1, 2, 3$ the number of patterns of all-interval-rows in regard to G_i is

1. $\frac{1}{4}(\chi(\text{id}) + \chi(\varphi_I \circ \varphi_R))$ for $i = 1$.

2. $\frac{1}{8}(\chi(\text{id}) + \chi(\varphi_I \circ \varphi_R) + \chi(\varphi_I \circ V))$ for $i = 2$.

3. For $i = 3$ we calculate

$$\begin{aligned} & \frac{1}{16}(\chi(\text{id}) + \chi(\varphi_I \circ \varphi_R) + \chi(\varphi_I \circ V) + \chi(\varphi_Q \circ \varphi_R \circ V)) = \\ & = \frac{1}{16}(3856 + 176 + 120 + 120) = 267. \end{aligned}$$

$$G_3 = \langle I, R, E, Q \rangle$$

$$G_2 = \langle I, R, E \rangle$$

$$G_1 = \text{groupe de Klein}$$

Verso una formalizzazione algebrica del serialismo integrale

- La serie delle durate temporali (*durational row*)

$1 \ 4 \ 3 \ 2$
Composition for Four Instruments (1948)

$I: x \rightarrow 12-x$

P

R

$I_5: x \rightarrow 5-x$

I_5

R

I_5

$4 \ 1 \ 2 \ 3$

$3 \ 2 \ 1 \ 4$

- Il *Time-Points System*

$I_{11}: x \rightarrow 11-x$

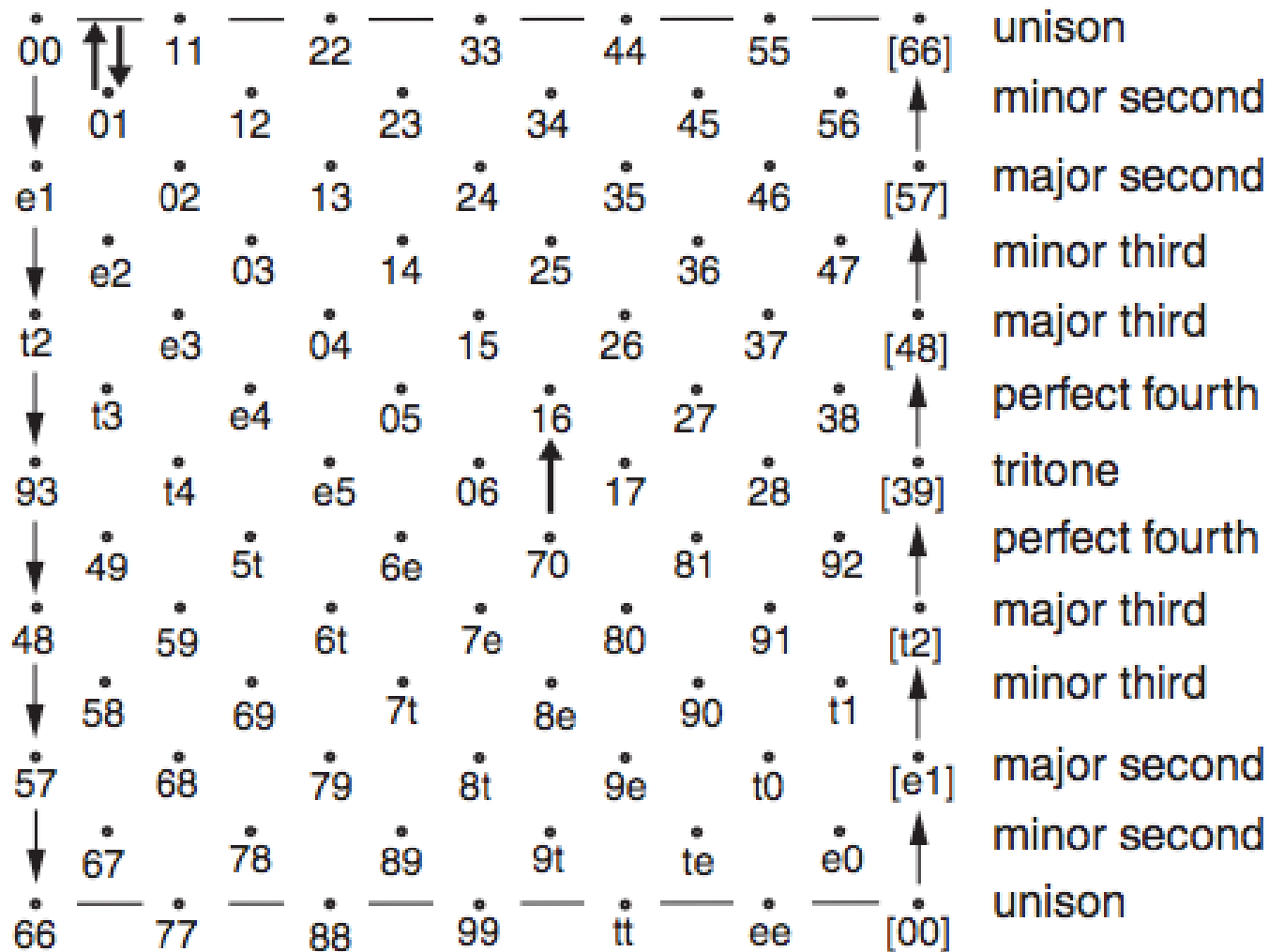
$T_{11}I: x \rightarrow 11+(12-x)$

$0 \ 1 \ 2 \ 3 \ 4 \ 5 \ 6 \ 7 \ 8 \ 9 \ 10 \ 11$

$0 \ 4 \ 2 \ 5 \ 1 \ 3 \ 11$

$$T^2 = (\mathbf{R}/12\mathbf{Z})^2 \longrightarrow T^2 / S_2$$

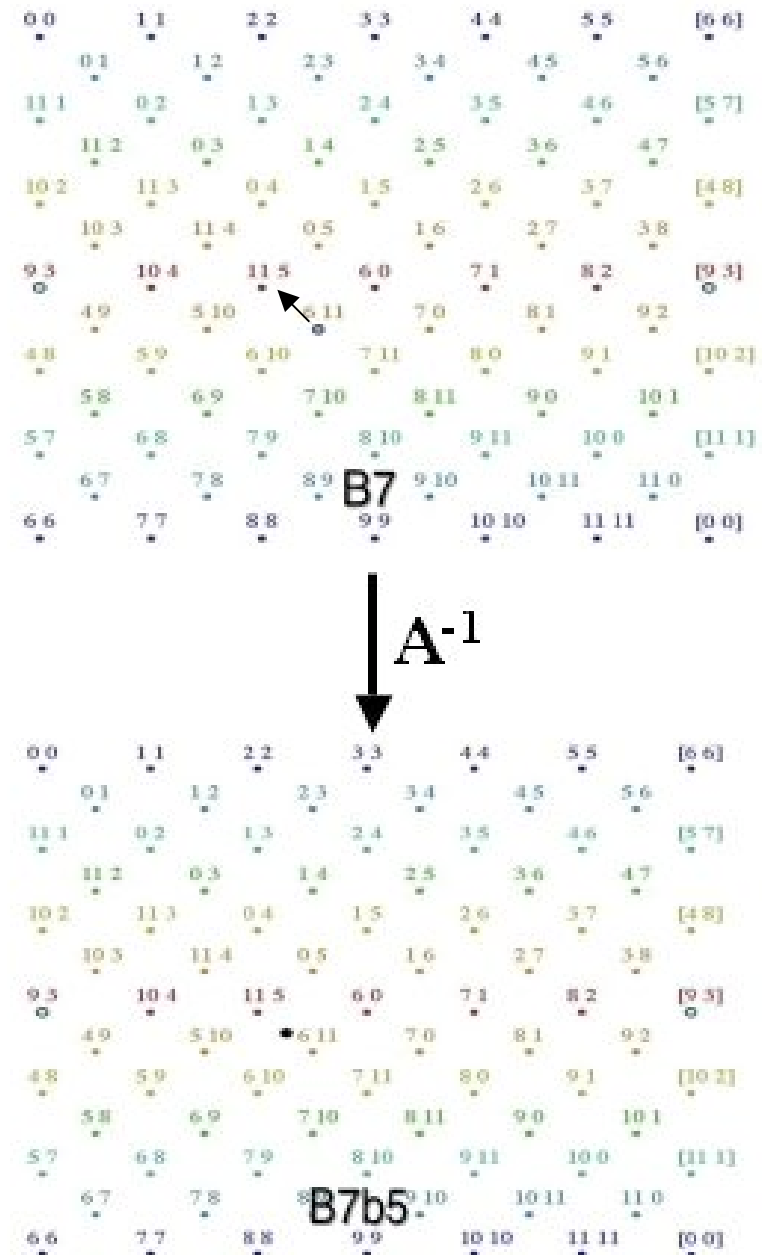
← transposition →



Applicazione all'analisi musicale (Chopin)

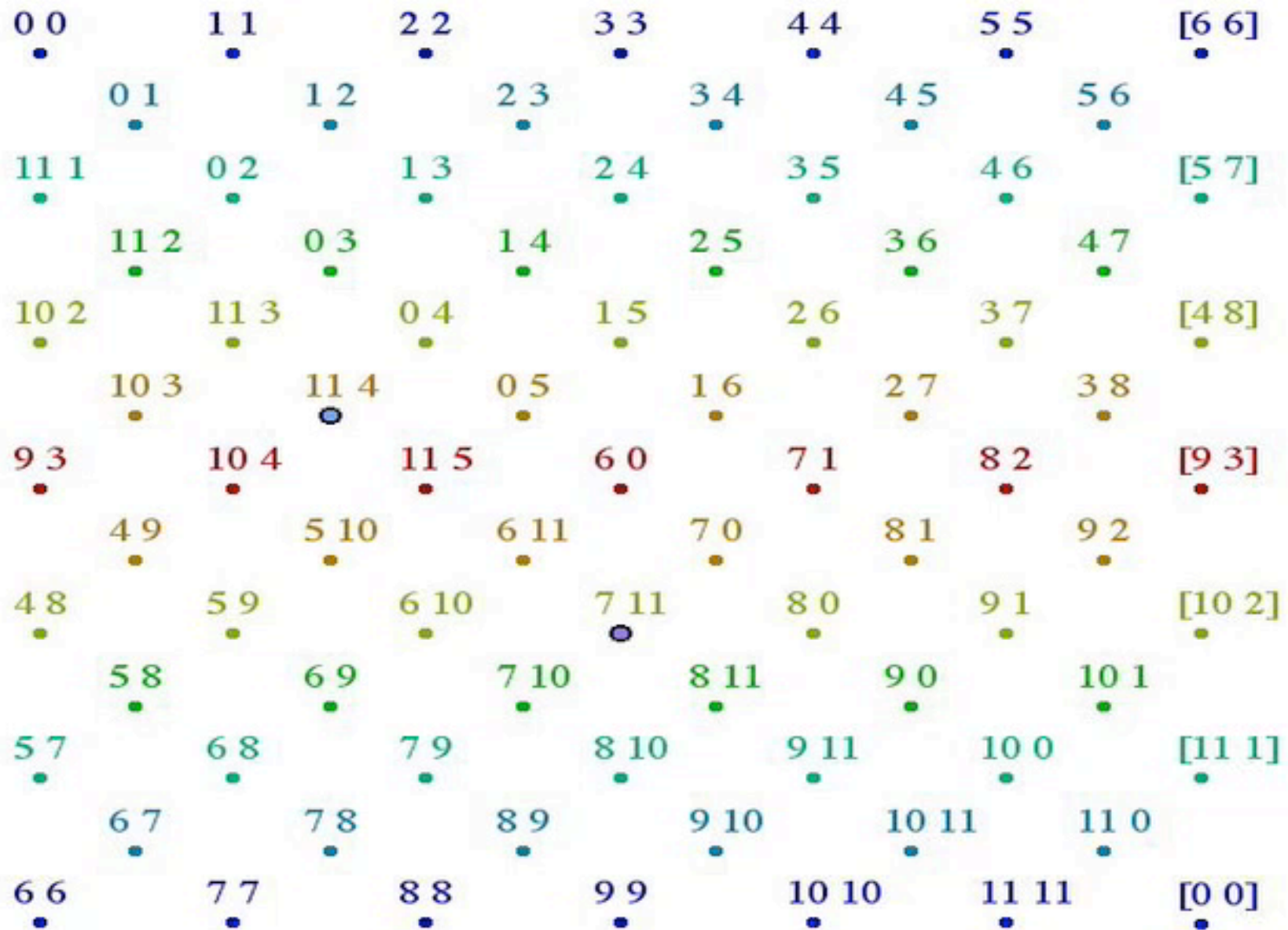
Largo

The diagram below the score illustrates the relationship between chords. It shows a central chord (A-1) connected to other chords (S-1, T-1) through arrows, representing harmonic relationships. The red box in the score highlights a chord that is related to the central A-1 chord via an S-1 relationship. The blue dashed box highlights a chord related to the central A-1 chord via an A-1 relationship.

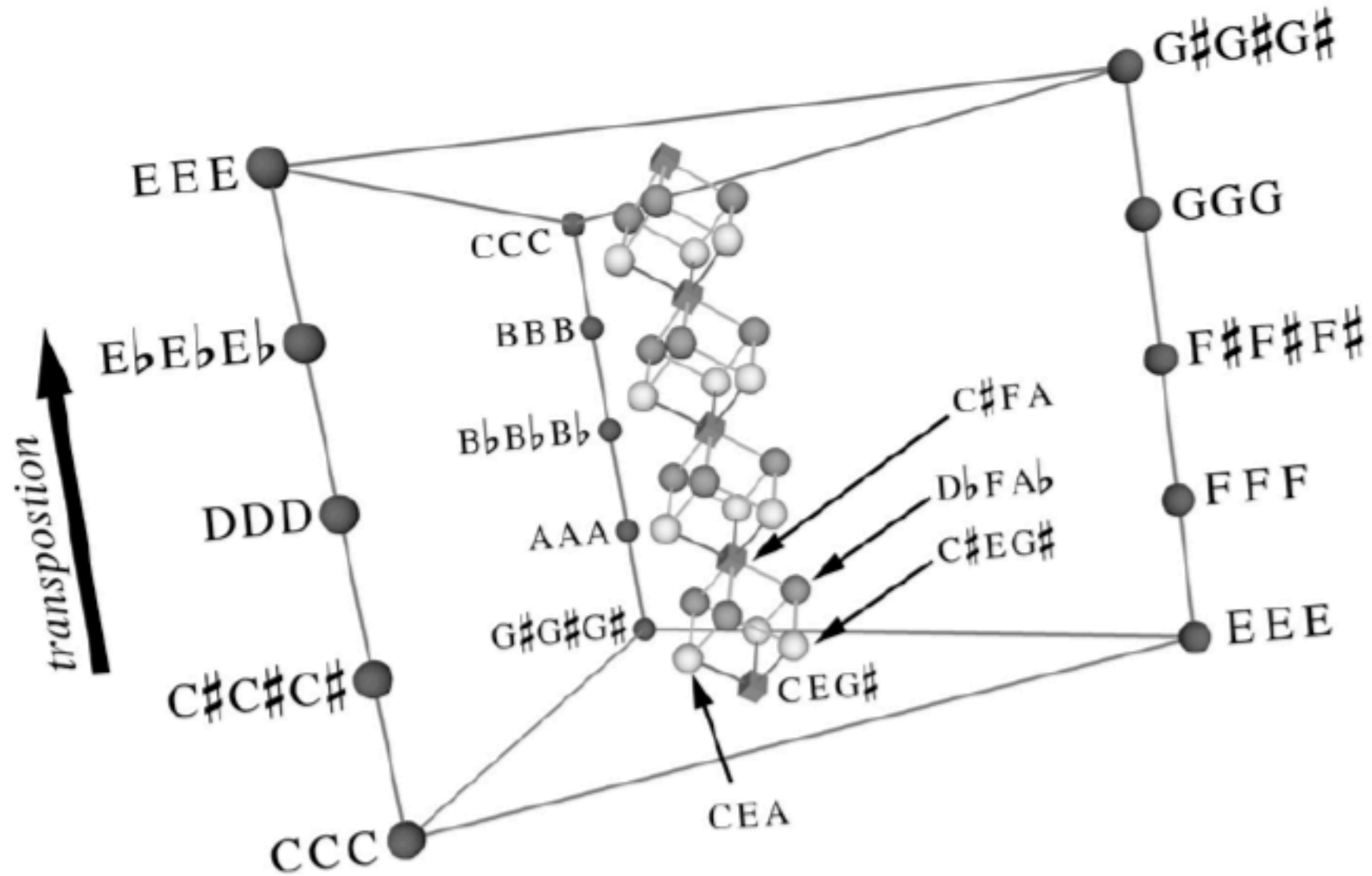


Dmitri Tymoczko :
 « The Geometry of Musical Chords »,
Science, 313, 2006

$$T^2 = \mathbf{R}/12\mathbf{Z} \times \mathbf{R}/12\mathbf{Z} \longrightarrow T^2 / S_2$$



$$T^3 = (\mathbb{R}/12\mathbb{Z})^3 \longrightarrow T^3 / S_3$$



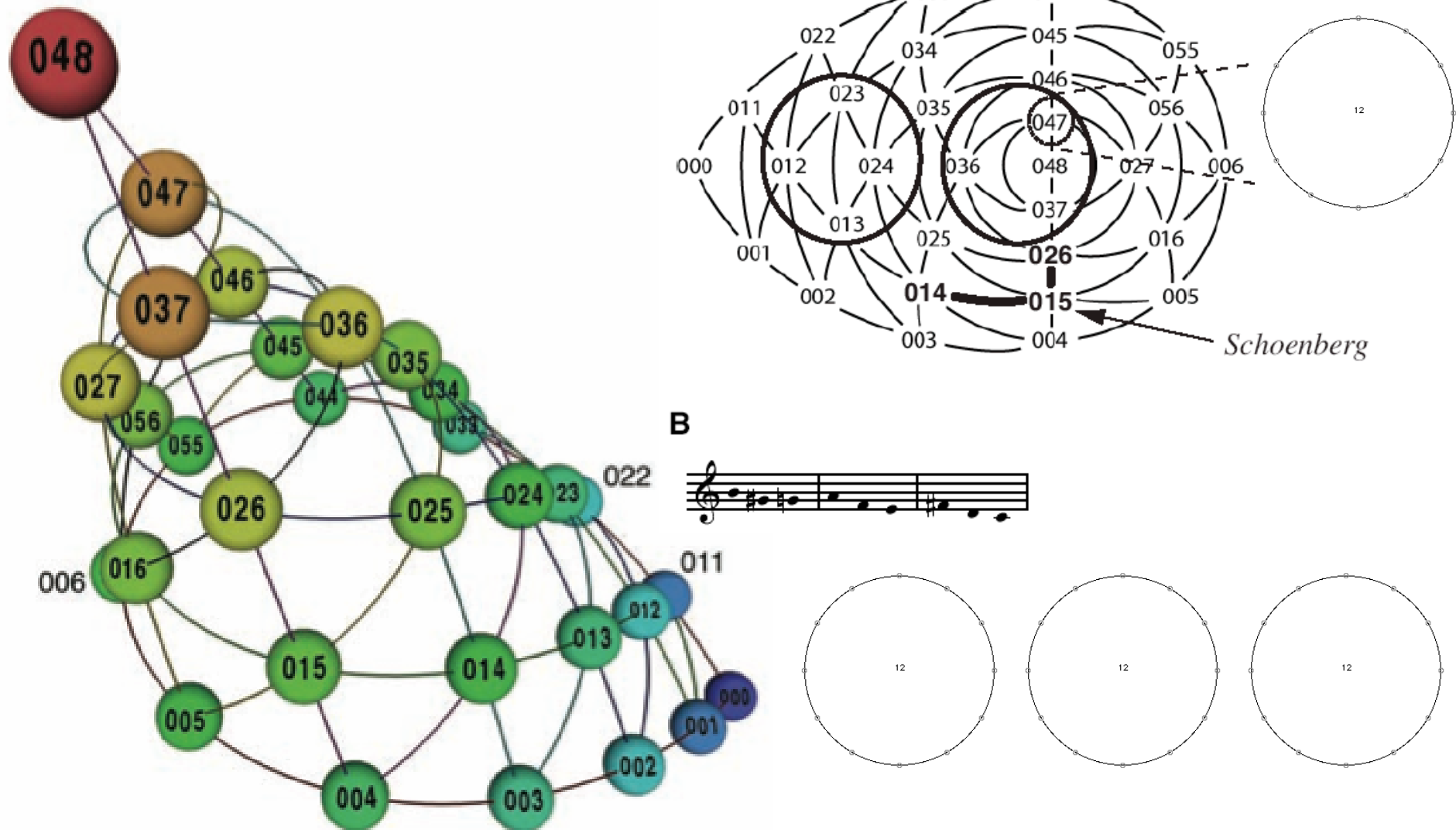
Dmitri Tymoczko, « The Geometry of Musical Chords », *Science*, 313, 2006

$$T^4 = (\mathbf{R}/12\mathbf{Z})^4 \longrightarrow T^4 / S_4$$



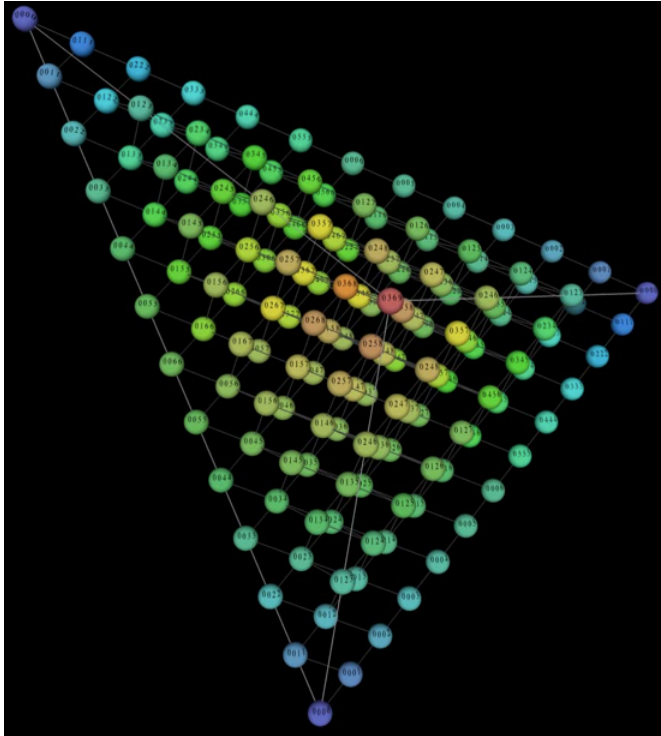
Dmitri Tymoczko, « The Geometry of Musical Chords », *Science*, 313, 2006

$$T^2 = (\mathbb{R}/12\mathbb{Z})^2 \longrightarrow T^2 / S_3 \quad \mathbf{A}$$

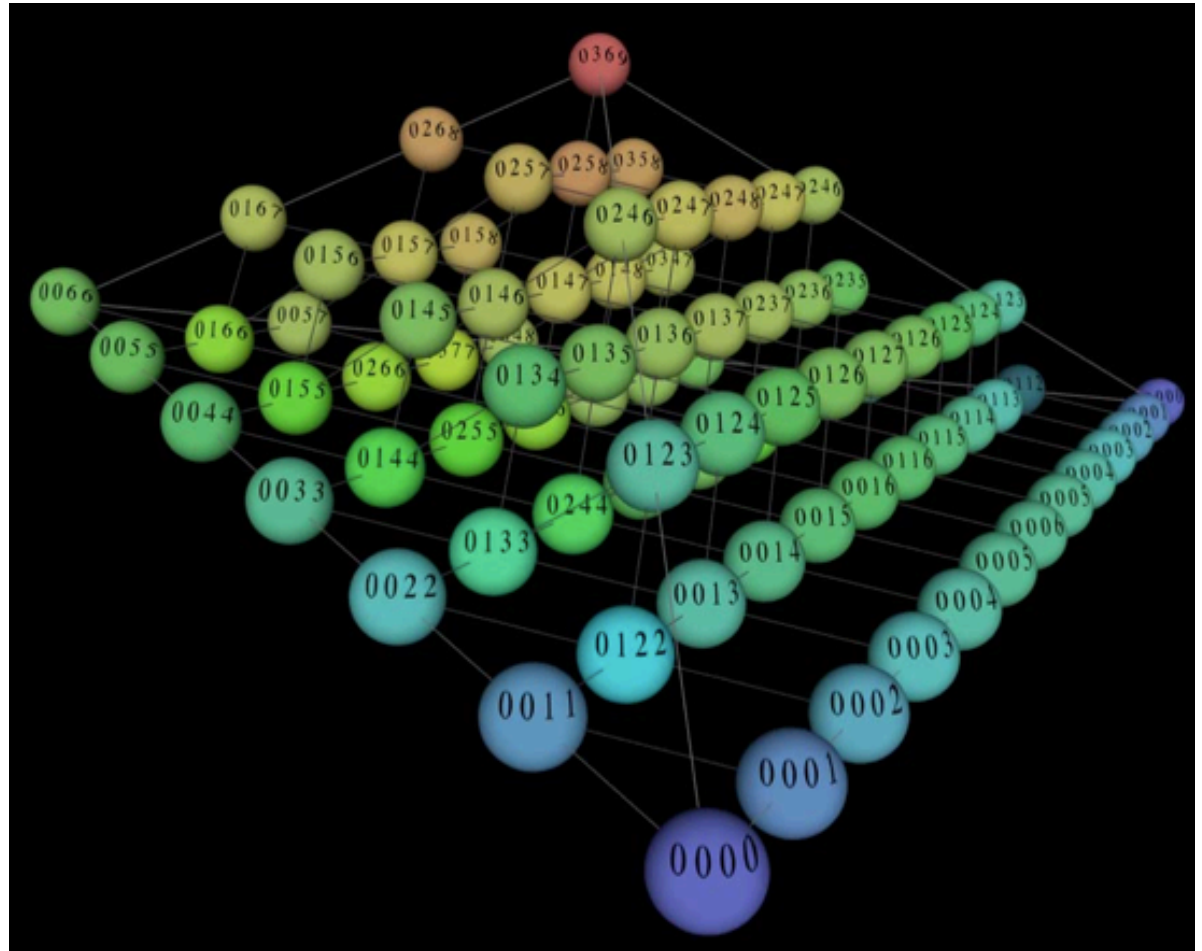


C. Callender, I. Quinn & D. Tymoczko, « Generalized Voice-Leading Spaces », *Science*, 320, 2008

$$T^3 / S_4$$

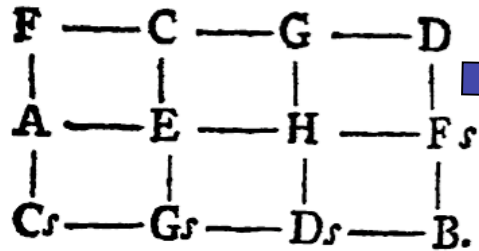


$$T^3 / (S_4 \times Z_2)$$

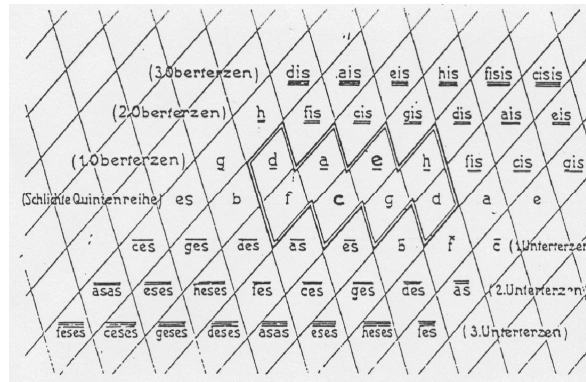


C. Callender, I. Quinn & D. Tymoczko, « Generalized Voice-Leading Spaces », *Science*, 320, 2008

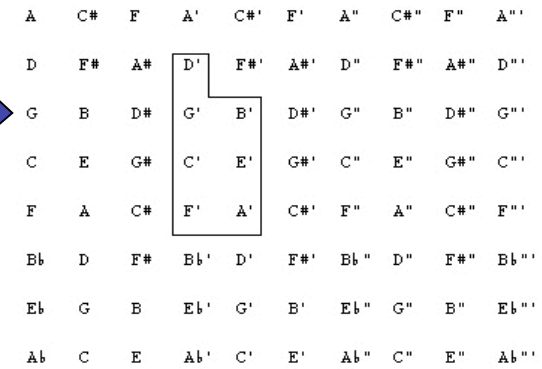
Rappresentazioni geometriche delle strutture musicali



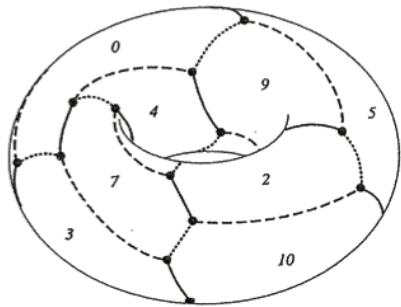
Euler : *Speculum musicum*, 1773



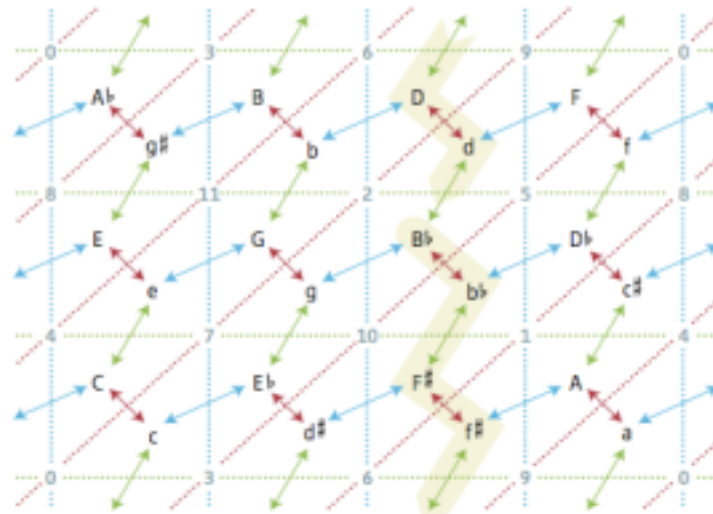
Hugo Riemann : « Ideen zu einer Lehre von den Tonvorstellung », 1914



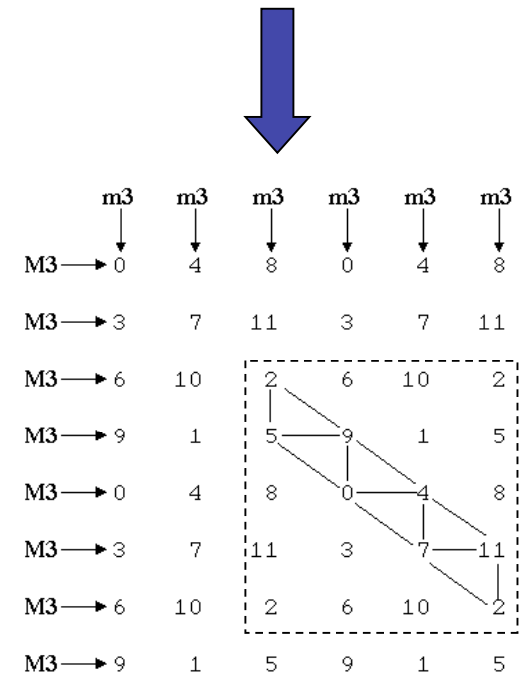
Longuet-Higgins (1962)



Douthett & Steinbach, *JMT*, 1998

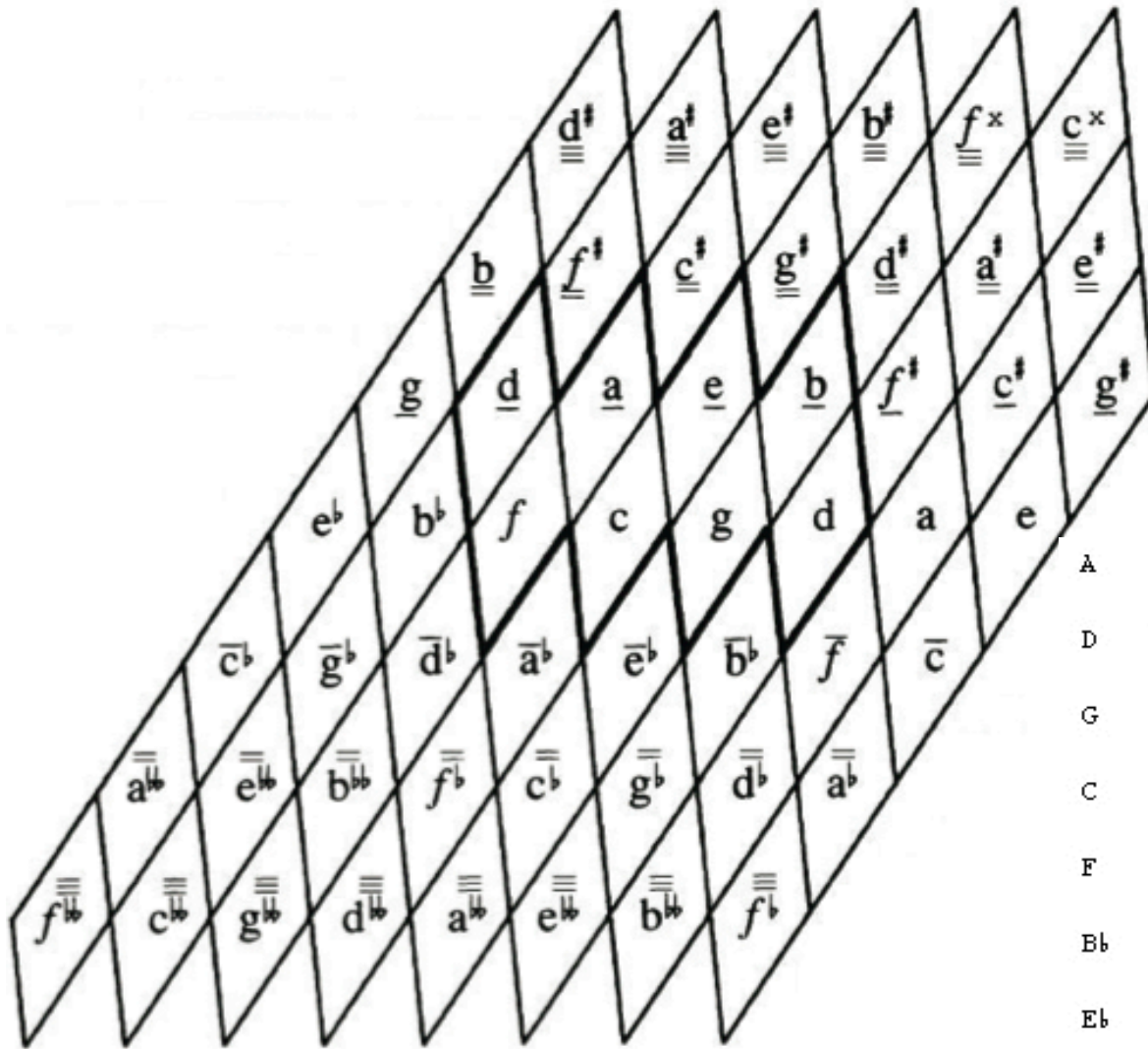


J. Hook, « Exploring Musical Space », *Science*, 2006



Balzano (1980)

Il *Tonnetz* (reticolo di note)

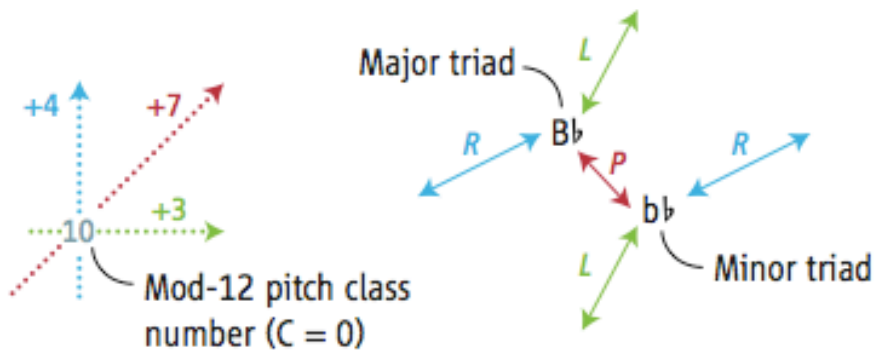
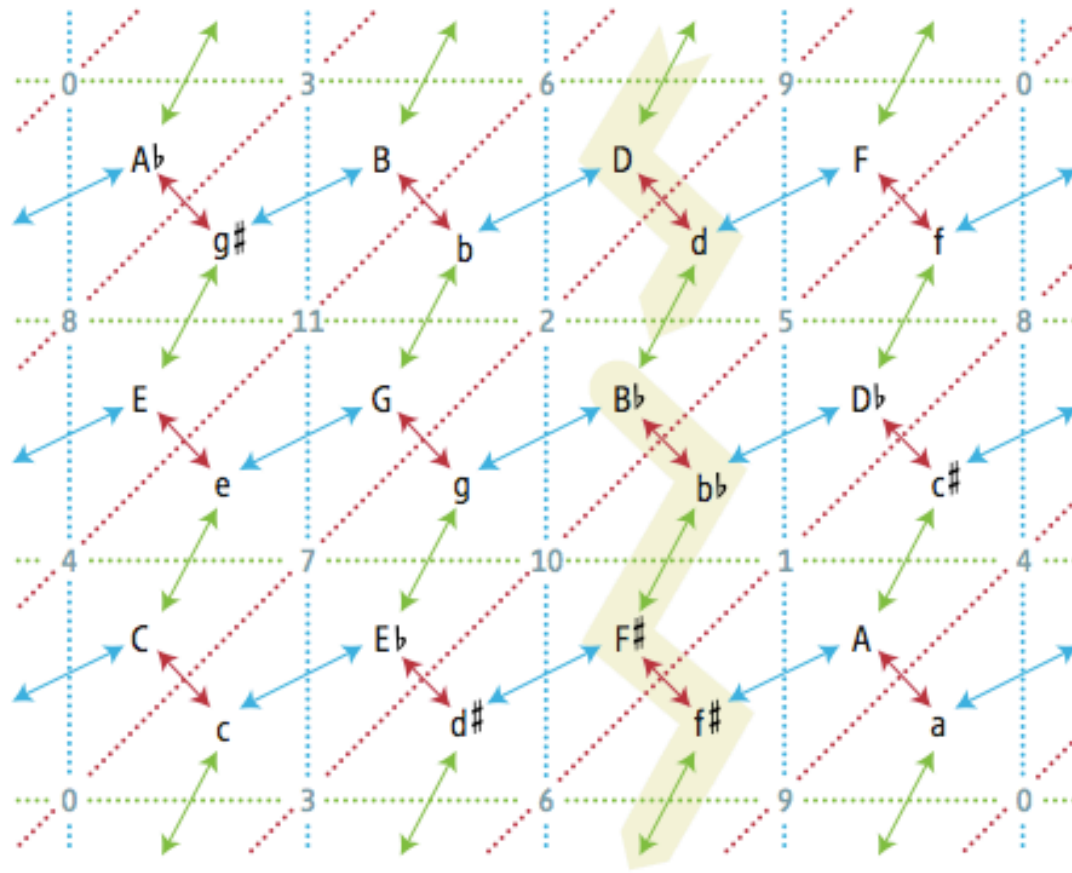


Oettingen/Riemann

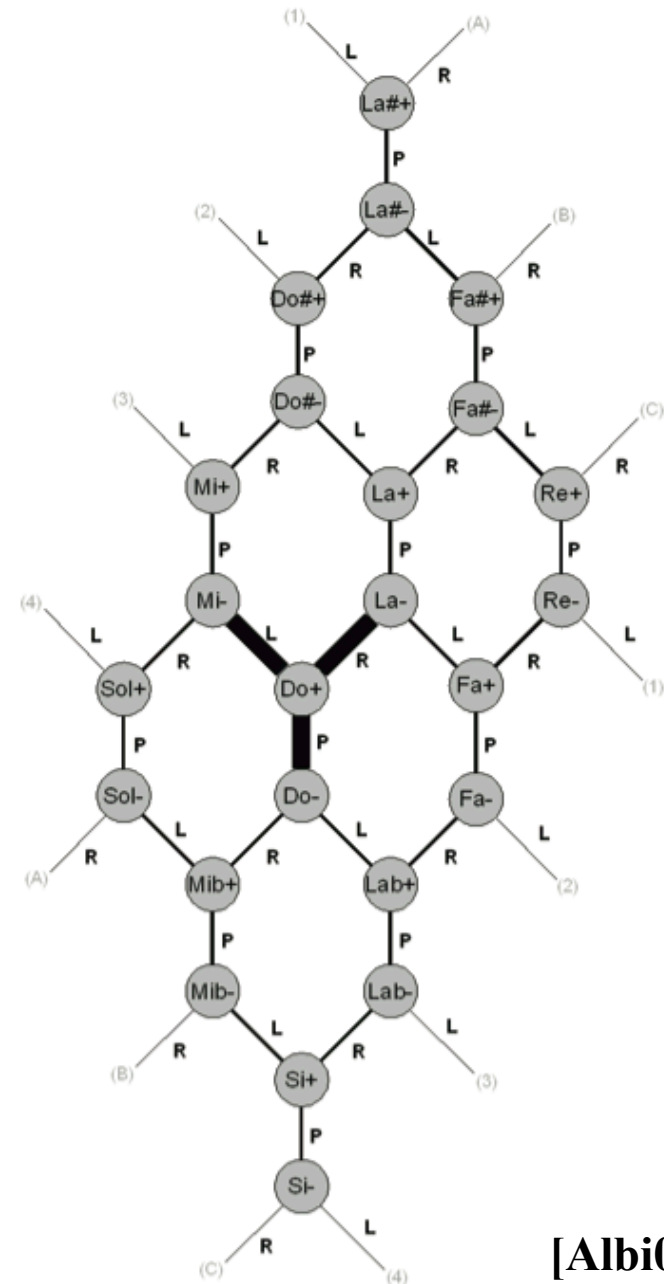
A	C#	F	A'	C#'	F'	A''	C#''	F''	A'''
D	F#	A#	D'	F#'	A#'	D''	F#''	A#''	D'''
G	B	D#	G'	B'	D#'	G''	B''	D#''	G'''
C	E	G#	C'	E'	G#'	C''	E''	G#''	C'''
F	A	C#	F'	A'	C#'	F''	A''	C#''	F'''
Bb	D	F#	Bb'	D'	F#'	Bb''	D''	F#''	Bb'''
Eb	G	B	Eb'	G'	B'	Eb''	G''	B''	Eb'''
Ab	C	E	Ab'	C'	E'	Ab''	C''	E''	Ab'''

Longuet-Higgins

Il Tonnetz di Oettingen/Riemann

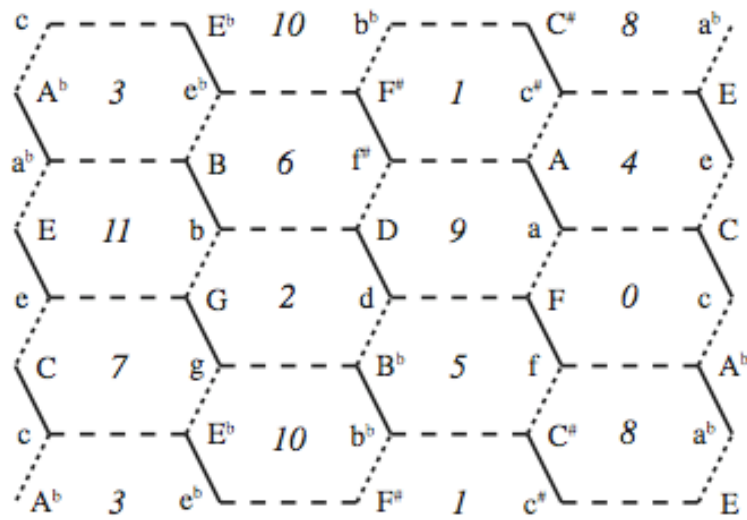


[Hook06]



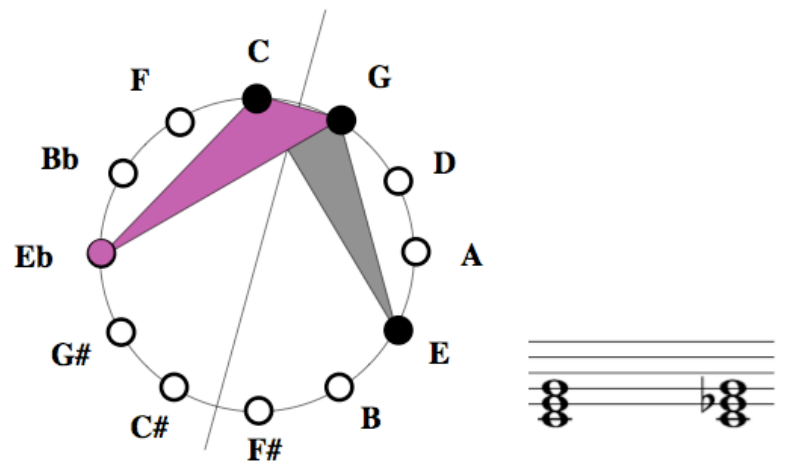
[Albi08]

Teorie neo-Riemanniane

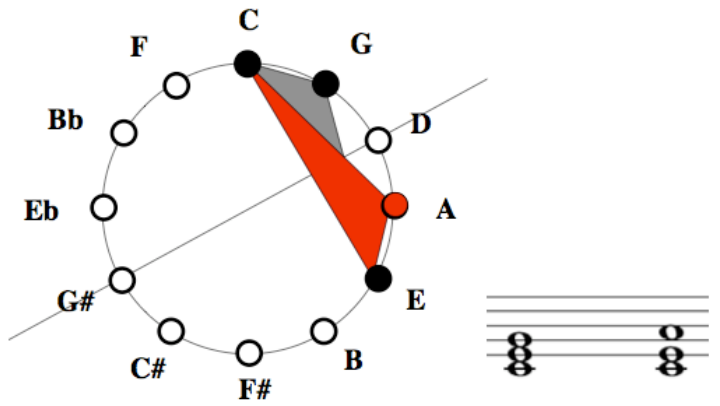
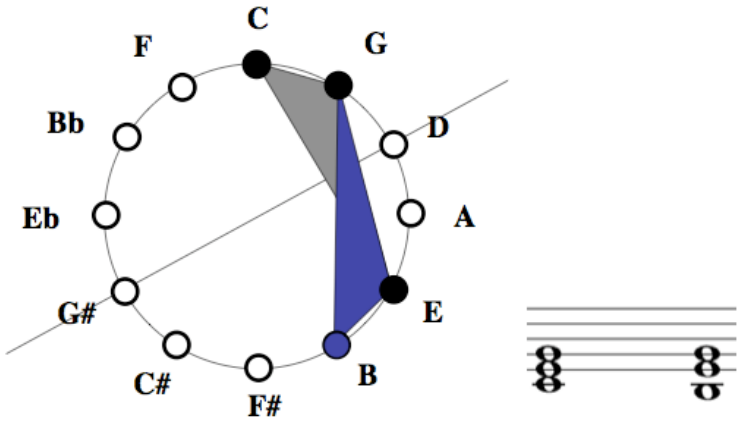


R ——— P - - - - L ······
 (Neo-)Riemannian Operation L = „Leading-Tone“

(Neo-)Riemannian Operation P = „Parallel“



(Neo-)Riemannian Operation R = „Relative“



Una seconda definizione del gruppo diedrale D_{12}

$$\mathbf{LPR} = \langle \mathbf{L}, \mathbf{R}, \mathbf{P} \mid \mathbf{P}^2 = \mathbf{L}^2 = (\mathbf{LR})^{12} = \mathbf{1} \rangle$$

- **LPR** è il duale del gruppo $T_n I$ generato dalle trasposizioni e inversioni (i.e. sono uno il *centralizzatore* dell'altro)
- **LPR** e $T_n I$ condividono il sottogruppo abeliano massimale $\langle T_n \rangle = Z_n$
- **LPR** agisce in maniera semplicemente transitiva sull'insieme delle 24 triadi consonanti

Ricerca dei cicli hamiltoniani in $LPR = \langle L, R \mid L^2 = (LR)^{12} = 1 \rangle$

C e G b D # A c# E g# B d# F# a# C# f G# c D# q A# d F a #41	#41	L R L R L R L R L R L R L R L R L R L R L R L R L R L R L R L R L R L R
C e E g# G# c D# g G b B d# F# a# A# d D # A c# C# f F a #62	#62	L P L P L R L P L P L R L P L P L R L P L P L R L P L P L R
C c G# f C# c# A a F d A# a# F# # D b G g D# d# B g# E e #13	#13	P L R L P L P L R L P L P L R L P L P L R L P L P L R L P L
C c G# g# E c# A a F f C# a# F# # D d A# g D# d# B b G e #4	#4	P L P L R L P L P L R L P L P L R L P L P L R L P L P L R L
C e E g# G# c D# d# B b G g A# a# F# # D d F f C# c# A a #58	#58	L P L P L R P L P L P R P L P L P R P L P L P R P L P L P R
C c D# g G b B d# F# # D d A# a# C# c# A a F f G# g# E e #19	#19	P R L P L P L R P L P L P R P L P L P R P L P L P R P L P L
C c G# g# B d# D# g G b D d A# a# F# # A a F f C# c# E e #7	#7	P L P R L P L P L R P L P L P R P L P L P R P L P L P R P L
C c G# g# E e G b B d# D# g A# a# F# # D d F f C# c# A a #27	#27	P L P L P R L P L P L R P L P L P R P L P L P R P L P L P R
C c D# d# B b G g A# d D # F# a# C# c# A a F f G# g# E e #21	#21	P R P L P L P R L P L P L R P L P L P R P L P L P R P L P L
C c G# g# B b G g D# d# F# a# A# d D # A a F f C# c# E e #8	#8	P L P R P L P L P R L P L P L R P L P L P R P L P L P R P L
C c G# g# E e G g D# d# B b D # F# a# A# d F f C# c# A a #30	#30	P L P L P R P L P L P R L P L P L R P L P L P R P L P L P R
C c D# d# B b G g A# a# F# # D d F a A c# C# f G# g# E e #22	#22	P R P L P L P R P L P L P R L P L P L R P L P L P R P L P L
C c G# g# B b G g D# d# F# # D d A# a# C# f F a A c# E e #10	#10	P L P R P L P L P R P L P L P R L P L P L R P L P L P R P L
C c G# g# E e G g D# d# B b D d A# a# F# # A c# C# f F a #31	#31	P L P L P R P L P L P R P L P L P R P L P L P R L P L P L R
C c G# f F a A c# C# a# A# d D # F# d# D# g G b B g# E e #9	#9	P L R P L P L P R P L P L P R P L P L P R P L P L P R L P L
C c G# g# E c# C# f F a A # F# a# A# d D b B d# D# g G e #6	#6	P L P L R P L P L P R P L P L P R P L P L P R P L P L P R L
C c D# d# F# # A c# E e G g A# a# C# f G# g# B b D d F a #33	#33	P R P R P R L R P R P R P R L R P R P R P R L R P R P R L R
C e G g A# a# C# c# E g# B b D d F f G# c D# d# F# # A a #44	#44	L R P R P R P R L R P R P R P R L R P R P R P R L R P R P R
C c D# g A# a# C# c# E e G b D d F f G# g# B d# F# # A a #40	#40	P R L R P R P R P R L R P R P R P R L R P R P R P R L R P R
C c D# d# F# a# C# c# E e G g A# d F f G# g# B b D # A a #38	#38	P R P R L R P R P R P R L R P R P R P R L R P R P R L R P R
C c D# d# F# a# C# f G# g# B b D # A c# E e G g A# d F a #34	#34	P R P R L R L R P R P R L R L R P R P R L R L R P R P R L R L R
C e G g A# a# C# f G# c D# d# F# # A c# E g# B b D d F a #42	#42	L R P R P R L R L R P R P R L R L R P R P R L R L R P R P R L R
C e G b D d F f G# c D# g A# a# C# c# E g# B d# F# # A a #43	#43	L R L R P R P R L R L R P R P R L R L R P R P R L R L R P R P R
C c D# g A# d F f G# g# B d# F# a# C# c# E e G b D # A a #39	#39	P R L R L R P R P R L R L R P R P R L R L R P R P R L R L R P R
C e G b B d# F# a# A# g D# c G# g# E c# C# f F d D # A a #50	#50	L R L P L R L P R L R L P L R P L P R P L P R P L P R P L P R P R
C c D# g A# d D # A c# C# a# F# d# B b G e E g# G# f F a #37	#37	P R L R L P L R L P R L R L P L R P L P R P L P R P L P R P L R
C c G# f F d A# g D# d# B g# E e G b D # F# a# C# c# A a #25	#25	P L R P R L R L P L R L P R L R L P L R P L P R P L P R P L P R
C c D# d# B g# G# f C# a# F# # D b G g A# d F a A c# E e #16	#16	P R P L R P R L R L P L R L P R L R L P R L R L P L R P L P R P L
C c G# g# B b G e E c# A # D d A# g D# d# F# a# C# f F a #23	#23	P L P R P L R P R L R L P L R L P R L R L P R L R L P L R P L R
C c G# f F a A # F# a# C# c# E g# B d# D# g A# d D b G e #1	#1	P L R P L P R P L R P R L R L P L R L P L R L P L R L P L R L R L
C e E g# B b G g A# a# F# d# D# c G# f C# c# A # D d F a #59	#59	L P L R P L P R P L R P R L R L P L R L P L R L P L R L P R L R
C e G b B d# F# # D d F f C# a# A# g D# c G# g# E c# A a #48	#48	L R L P L R P L P R P L R P R L R L P L R L P L R L P L R L P R
C c D# g A# d D # A a F f G# g# E c# C# a# F# d# B b G e #18	#18	P R L R L P L R P L P R P L R P R L R L P L R L P L R L P L R L
C e E c# A # D d A# g G b B g# G# c D# d# F# a# C# f F a #60	#60	L P R L R L P L R P L P R P L R P R L R L P L R L P L R L P L R
C c G# f C# c# E g# B d# D# g A# a# F# # A a F d D b G e #2	#2	P L R L P R L R L P L R P L P R P L R P R L R P R L R L R L R L

[Albi08]

Ricerca dei cicli hamiltoniani in $LPR = \langle L, R \mid L^2 = (LR)^{12} = 1 \rangle$

C	e	E	g#	B	d#	D#	c	G#	f	C#	c#	A	#	F#	a#	A#	g	G	b	D	d	F	a	#53
C	c	D#	g	A#	a#	C#	f	G#	g#	B	d#	F#	#	A	c#	E	e	G	b	D	d	F	a	#32
C	e	G	g	A#	d	F	f	G#	c	D#	d#	F#	a#	C#	c#	E	g#	B	b	D	#	A	a	#45
C	c	G#	f	C#	c#	A	#	D	b	B	g#	E	e	G	g	D#	d#	F#	a#	A#	d	F	a	#29
C	e	G	g	D#	c	G#	g#	E	c#	A	#	F#	d#	B	b	D	d	A#	a#	C#	f	F	a	#49
C	c	G#	f	C#	a#	A#	d	F	a	A	c#	E	g#	B	b	D	#	F#	d#	D#	g	G	e	#11
C	e	E	g#	B	d#	F#	#	D	b	G	g	D#	c	G#	f	F	d	A#	a#	C#	c#	A	a	#54
C	c	D#	g	G	b	D	#	A	a	F	d	A#	a#	F#	d#	B	g#	G#	f	C#	c#	E	e	#14
C	c	G#	g#	B	d#	D#	g	A#	d	F	f	C#	a#	F#	#	D	b	G	e	E	c#	A	a	#24
C	c	D#	d#	B	b	D	#	F#	a#	C#	f	G#	g#	E	c#	A	a	F	d	A#	g	G	e	#20
C	e	E	c#	C#	f	F	d	A#	a#	F#	d#	B	g#	G#	c	D#	g	G	b	D	#	A	a	#55
C	c	D#	g	G	e	E	g#	G#	f	C#	c#	A	#	D	b	B	d#	F#	a#	A#	d	F	a	#36
C	e	G	g	A#	d	D	b	B	d#	D#	c	G#	g#	E	c#	A	#	F#	a#	C#	f	F	a	#47
C	c	G#	f	C#	a#	A#	g	D#	d#	F#	#	D	d	F	a	A	c#	E	g#	B	b	G	e	#5
C	e	E	g#	B	d#	F#	#	A	c#	C#	a#	A#	d	D	b	G	g	D#	c	G#	f	F	a	#57
C	c	G#	f	F	a	A	#	D	d	A#	g	D#	d#	F#	a#	C#	c#	E	g#	B	b	G	e	#3
C	e	E	g#	B	b	G	g	A#	d	D	#	A	c#	C#	a#	F#	d#	D#	c	G#	f	F	a	#61
C	e	E	c#	A	#	F#	d#	B	g#	G#	c	D#	g	G	b	D	d	A#	a#	C#	f	F	a	#56
C	c	D#	g	A#	a#	F#	d#	B	b	G	e	E	g#	G#	f	C#	c#	A	#	D	d	F	a	#35
C	c	D#	g	G	b	D	#	F#	d#	B	g#	G#	f	C#	a#	A#	d	F	a	A	c#	E	e	#15
C	c	G#	f	C#	c#	E	g#	B	b	D	#	A	a	F	d	A#	a#	F#	d#	D#	g	G	e	#12
C	c	G#	g#	B	d#	D#	g	A#	d	D	b	G	e	E	c#	A	#	F#	a#	C#	f	F	a	#26
C	c	D#	g	A#	a#	C#	f	G#	g#	E	c#	A	a	F	d	D	#	F#	d#	B	b	G	e	#17
C	e	G	g	D#	c	G#	g#	E	c#	C#	f	F	d	A#	a#	F#	d#	B	b	D	#	A	a	#51
C	e	E	g#	B	d#	D#	c	G#	f	F	d	A#	g	G	b	D	#	F#	a#	C#	c#	A	a	#52
C	e	G	g	A#	d	F	f	C#	a#	F#	#	D	b	B	d#	D#	c	G#	g#	E	c#	A	a	#46
C	c	G#	f	C#	c#	A	#	F#	a#	A#	g	D#	d#	B	g#	E	e	G	b	D	d	F	a	#28

#53	L	P	L	R	L	P	R	L	R	L	P	L	R	P	L	P	R	P	L	R	P	R	L	R
#32	P	R	L	R	P	R	L	R	P	R	L	R	P	R	L	R	P	R	L	R	P	R	L	R
#45	L	R	P	R	L	R	P	R	L	R	P	R	L	R	P	R	L	R	P	R	L	R	P	R
#29	P	L	R	L	P	L	R	L	R	P	R	L	P	R	P	L	P	R	L	P	L	R	L	R
#49	L	R	P	L	R	L	P	L	R	L	R	P	R	L	P	R	P	L	P	R	L	P	L	R
#11	P	L	R	L	R	P	L	R	L	P	L	R	L	R	P	R	L	P	R	P	L	P	R	L
#54	L	P	L	R	L	R	P	L	R	L	P	L	R	L	R	P	R	L	P	R	P	L	P	R
#14	P	R	L	P	L	R	L	R	P	L	R	L	P	L	R	L	R	P	R	L	P	R	P	L
#24	P	L	P	R	L	P	L	R	L	R	P	L	R	L	P	L	R	L	R	P	R	L	P	R
#20	P	R	P	L	P	R	L	P	L	R	L	R	P	L	R	L	P	L	R	L	R	P	R	L
#55	L	P	R	P	L	P	R	L	P	L	R	L	R	P	L	R	L	P	L	R	L	R	P	R
#36	P	R	L	P	R	P	L	P	R	L	P	L	R	L	R	P	L	R	L	P	L	R	L	R
#47	L	R	P	R	L	P	R	P	L	P	R	L	P	L	R	L	R	P	L	R	L	P	L	R
#5	P	L	R	L	R	P	R	L	P	R	P	L	P	R	L	P	L	R	L	R	P	L	R	L
#57	L	P	L	R	L	R	P	R	L	P	R	P	L	P	R	L	P	L	R	L	R	P	L	R
#3	P	L	R	P	L	P	R	L	P	L	R	L	P	R	L	R	P	R	L	R	P	L	R	L
#61	L	P	L	R	P	L	P	R	L	P	L	R	L	P	R	L	R	P	R	L	R	P	L	R
#56	L	P	R	L	R	P	R	L	R	P	L	R	L	P	L	R	P	L	P	R	L	P	L	R
#35	P	R	L	R	P	L	R	L	P	L	R	P	L	P	R	L	P	L	R	L	P	R	L	R
#15	P	R	L	P	L	R	L	P	R	L	R	P	L	R	P	L	R	L	P	L	R	P	L	R
#12	P	L	R	L	P	R	L	R	P	R	L	P	L	R	L	P	L	R	P	L	P	R	L	R
#26	P	L	P	R	L	P	L	R	L	P	R	L	R	P	R	L	R	P	L	R	L	P	L	R
#17	P	R	L	R	P	R	L	R	P	L	R	L	P	L	R	P	L	P	R	L	P	L	R	L
#51	L	R	P	L	R	L	P	L	R	P	L	P	R	L	P	L	R	L	P	R	L	R	P	R
#52	L	P	L	R	L	P	R	L	R	P	R	L	R	P	L	R	L	P	L	R	P	L	P	R
#46	L	R	P	R	L	R	P	L	R	L	P	L	R	P	L	P	R	L	P	L	R	L	P	R
#28	P	L	R	L	P	L	R	P	L	P	L	R	L	P	R	L	P	R	L	R	P	R	L	R

**62 cicli hamiltoniani
classificabili in 8 tipi
(o modelli)**

Sistema d'Intervalli generalizzati/Sistema Generalizzato d'intervalli

Generalized Interval System

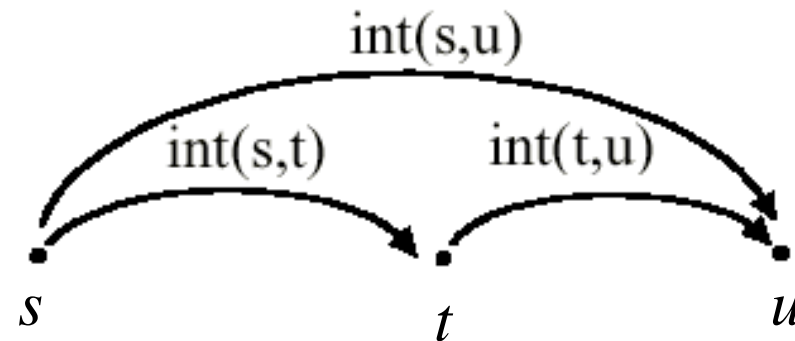
$$\text{GIS} = (S, G, \text{int})$$

S =insieme

(G, \bullet) = gruppo d'intervalli

int = funzione intervallare

$$S \times S \dashrightarrow G$$

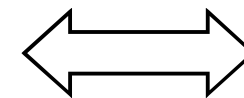


- Dati tre elementi s, t, u nell'insieme S :

$$\text{int}(s,t) \bullet \text{int}(t,u) = \text{int}(s,u)$$

- Per ogni elemento s in S e ogni intervallo i nel gruppo G vi è un (solo) elemento u dell'insieme S che dista un intervallo i dall'elemento s :

$$\text{int}(s,u) = i$$



Azione
semplicemente
transitiva di un
gruppo su un
insieme

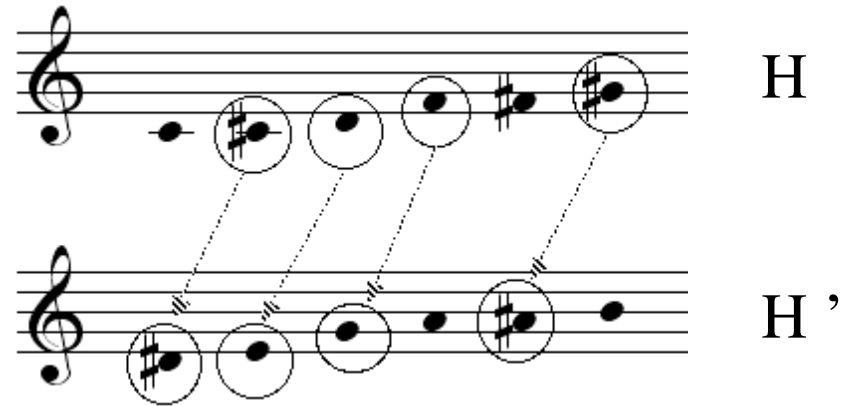
Funzione Intervallare IFUNC in un GIS

Interval Function IFUNC in a GIS

$GIS = (S, G, \text{int})$

S insieme

H e H' due sottoinsiemi di S



$IFUNC(H, H')(i) =$
= numeri di coppie (a, b)
in $H \times H'$ i cui elementi
hanno distanza
reciproca uguale ad i
ovvero $\text{int}(a, b) = i$

$$IFUNC(H, H')(2) = 4$$

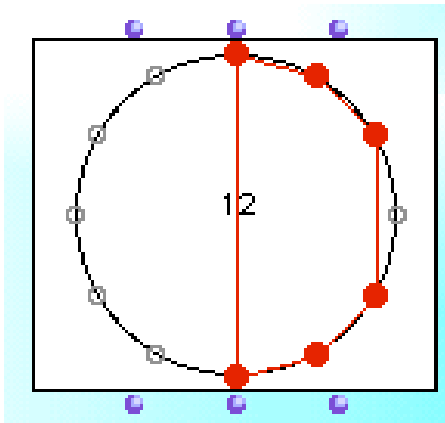
Contenuto intervallare e trasformata di Fourier discreta

David Lewin, *Journal of Music Theory*, 1958

- Il **contenuto intervallare** (*IC*) di un accordo esprime la frequenza di apparizione di ogni intervallo (dall'unisono all'intervallo di settima maggiore)

$$IV_A = [4, 3, 2, 3, 2, 1]$$

$$IC_A = [6, 4, 3, 2, 3, 2, 2, 2, 3, 2, 3, 4]$$



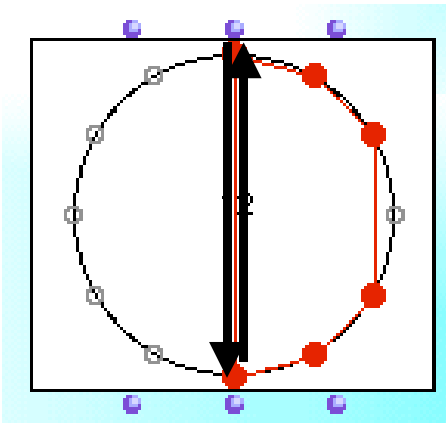
Contenuto intervallare e trasformata di Fourier discreta

David Lewin, *Journal of Music Theory*, 1958

- Il **contenuto intervallare** (*IC*) di un accordo esprime la frequenza di apparizione di ogni intervallo (dall'unisono all'intervallo di settima maggiore)

$$IV_A = [4, 3, 2, 3, 2, 1]$$

$$IC_A = [6, 4, 3, 2, 3, 2, \boxed{2}, 2, 3, 2, 3, 4]$$



$$IC_A(k) = \text{Card}\{(x, y) \in A \times A \mid x + k = y\}$$

$$IC_A(k) = (1_A \star 1_{-A})(k)$$

$$1_A \star \tilde{1}_B(k) = \sum_i 1_A(i) \times 1_B(i - k) = \sum_{\substack{i \in A \\ i - k \in B}} 1$$

=> AMIOT

David Lewin e la trasformata di Fourier

Journal of Music Theory, 1958

- Il contenuto intervallare di due accordi A e B è uguale al prodotto di convoluzione delle loro funzioni caratteristiche

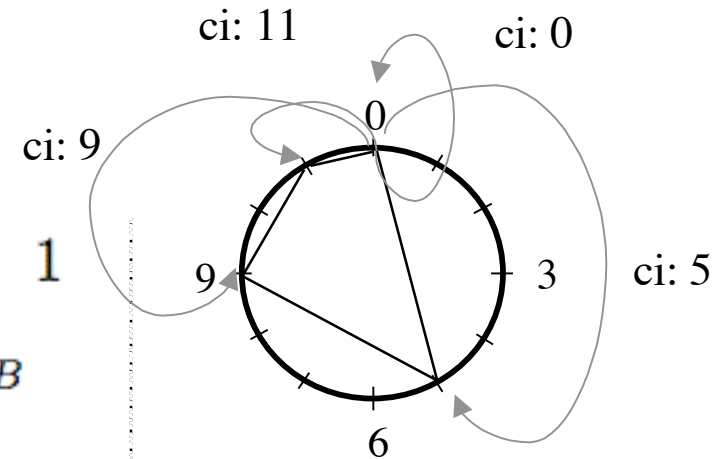
$$IC_A(k) = \text{Card}\{(x, y) \in A \times A \mid x + k = y\}$$

$$IC_A(k) = (1_A \star 1_{-A})(k)$$

$$1_A \star \tilde{1}_B(k) = \sum_i 1_A(i) \times 1_B(i - k) = \sum_{\substack{i \in A \\ i - k \in B}} 1$$

$$\mathcal{F}(1_A \star \tilde{1}_B) = \mathcal{F}(1_A) \times \mathcal{F}(\tilde{1}_B)$$

$$\forall k \mathcal{F}(IC_{\mathbb{Z}_c \setminus A})(k) = \mathcal{F}(IC_A)(k)$$



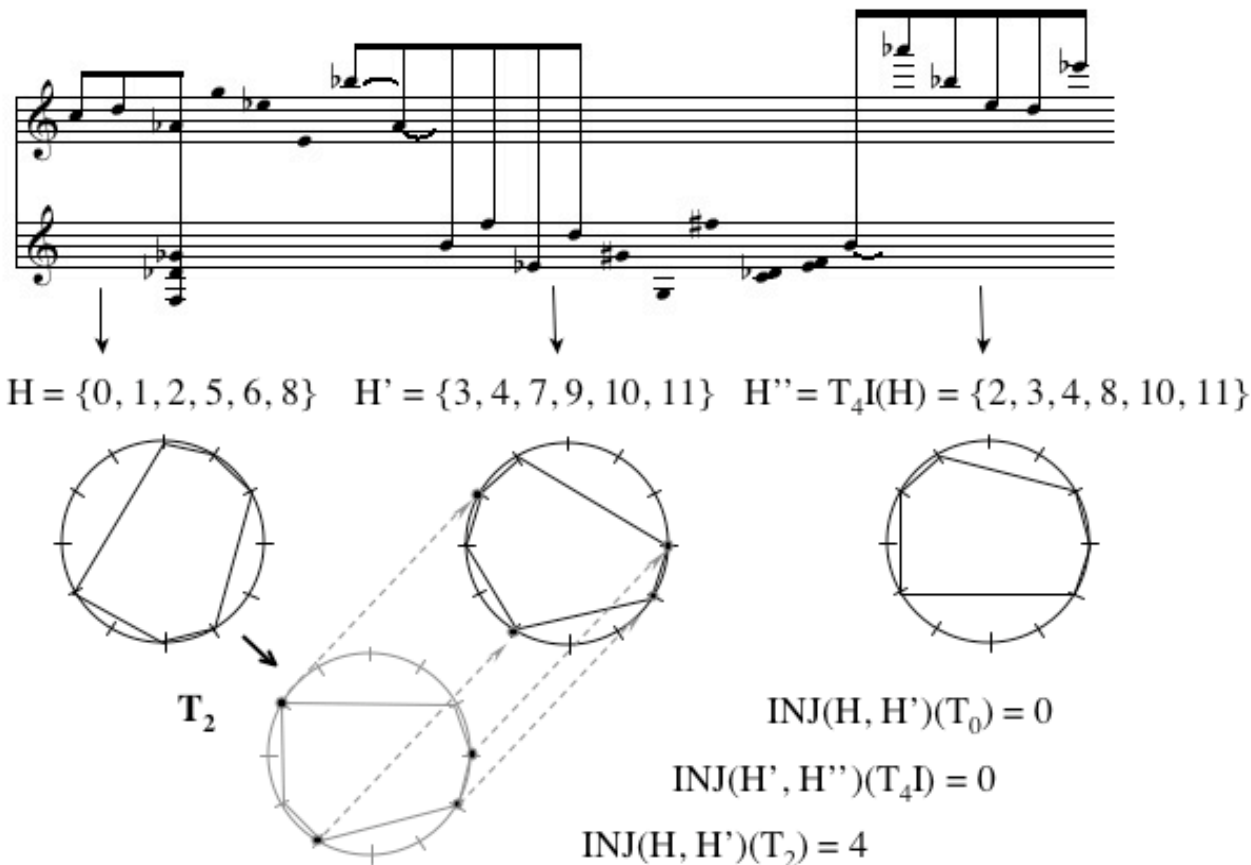
$$A = \{0, 5, 9, 11\}$$

$$IC_A(k) = 1 \quad \forall k = 1 \dots 11$$

=> AMIOT

Funzione d'iniezione e relazione inclusione/complementare

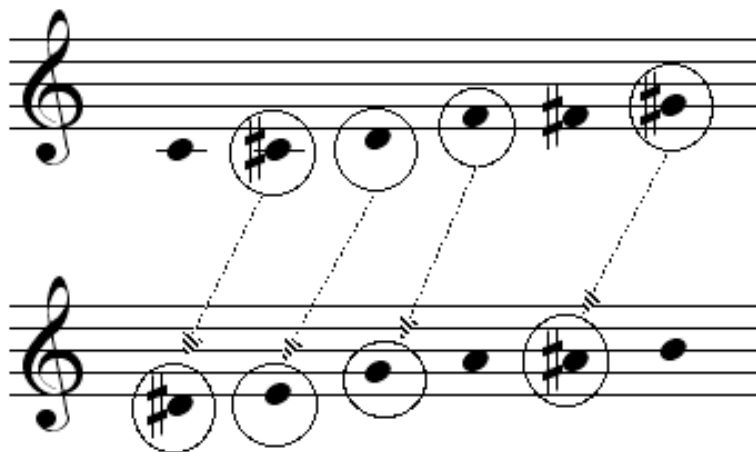
Injection function and the inclusion/complementary relation



$INJ(H, H')(T_n) =$ numero di elementi a di H tali che $T_n(a) \in H'$

Relazione fra funzione d'iniezione e funzione intervallare

Injection Function and IFUNC



$$GIS = (S, G, \text{int})$$

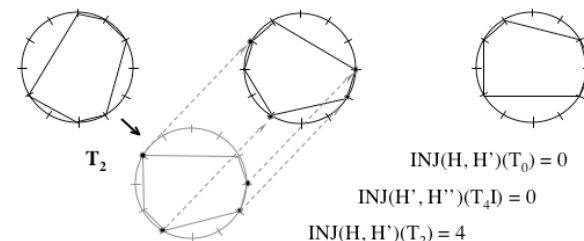
f trasformazione dell'insieme S

?

<-->



$$H = \{0, 1, 2, 5, 6, 8\} \quad H' = \{3, 4, 7, 9, 10, 11\} \quad H'' = T_4(H) = \{2, 3, 4, 8, 10, 11\}$$

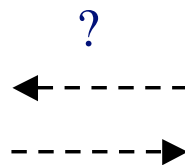


$$\text{INJ}(H, H')(T_0) = 0$$

$$\text{INJ}(H', H'')(T_4) = 0$$

$$\text{INJ}(H, H')(T_2) = 4$$

$\text{INJ}(A, B)(f) =$ numero di elementi a di A tali che $f(a)$ appartiene a B



$\text{IFUNC}(A, B)(i) =$ numero di elementi (a, b) di $A \times B$ tali che $\text{int}(a, b) = i$

INJ, IFUNC e il « sistema dodecafonico » di Babbitt

Injection Function, IFUNC and the twelve-tone system

« Here the basic hierarchical scope of the (twelve-tone) system is contained essentially in the simple theorem that:

Given a collection of pitches (pitch classes), the multiplicity of occurrence of any interval (...) determines the number of common pitches between the original collection and the transposition by the interval »

(Milton Babbitt, *Past and Present Concepts*, 1961)

$$\text{INJ}(A,B)(T_i) = \text{IFUNC}(A,B)(i)$$

Funzione d 'Iniezione, IFUNC e teoria trasformatzionale

Injection Function, IFUNC and transformational theory

« ...il concetto di intervallo in un GIS può essere completamente sostituito col concetto di trasposizione in uno spazio »

« ...si può quindi sostituire il concetto stesso di GIS con l'idea di uno spazio S sul quale opera un gruppo di operazioni »

(David Lewin, *Generalized Musical Intervals and Transformations*, 1987)

INJ(A,B)(T_i)

=

IFUNC(A,B)(i)

Teorema generalizzato dell'esacordo *Generalized Hexachord Theorem*

Un esacordo ed il suo complementare hanno lo stesso contenuto intervallare

$$\text{IFUNC}(A, A)(i) = \text{IFUNC}(A', A')(i)$$

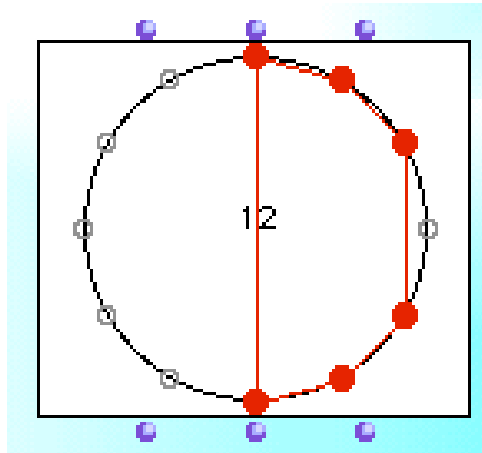
Un esacordo ed il suo complementare hanno la stessa funzione d'iniezione rispetto ad ogni applicazione biiettiva

$$\text{INJ}(A, A)(f) = \text{INJ}(A', A')(f)$$

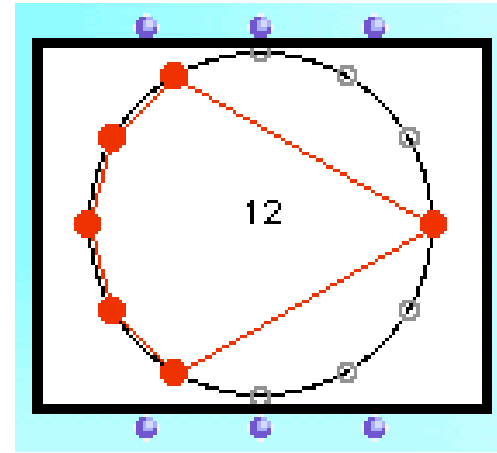
$$\text{INJ}(A, A')(f) = \text{INJ}(A', A)(f)$$

Teorema dell'esacordo (o teorema di Babbitt)

(Wilcox, Ralph Fox (?), Chemillier, Lewin, Mazzola, Schaub, ..., Amiot [2006])



A



A'

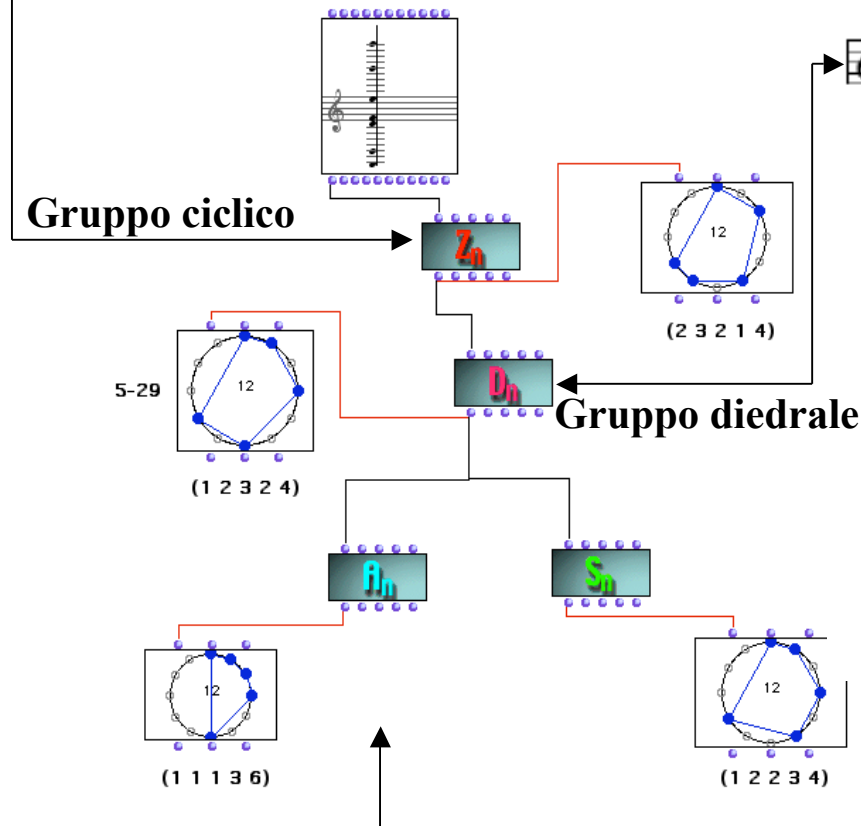
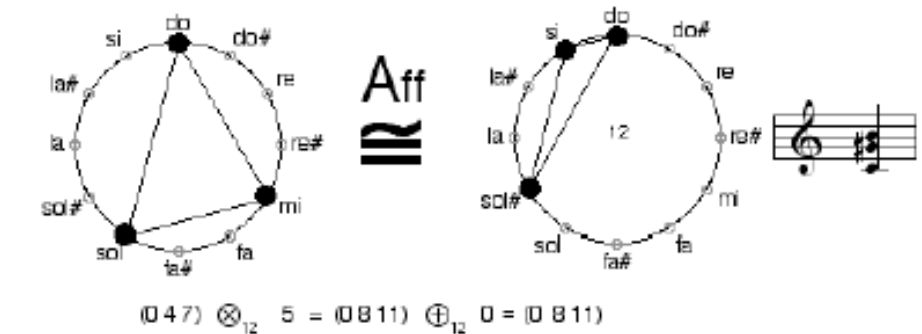
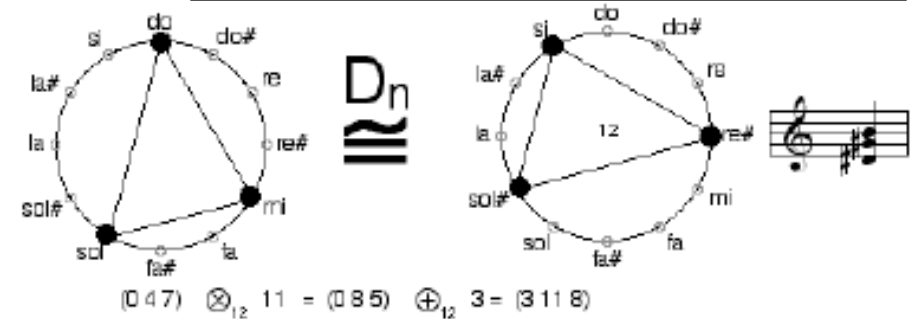
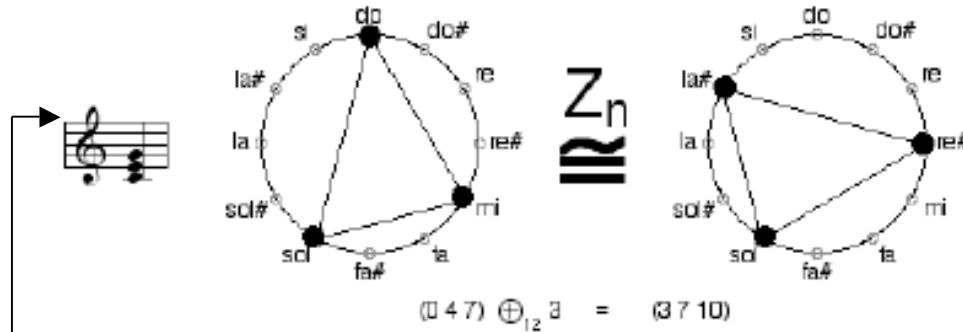
$$IV(A) = [4, 3, 2, 3, 2, 1] = [4, 3, 2, 3, 2, 1] = IV(A')$$

Un esacordo e il suo complementare hanno lo stesso vettore intervallare

I gruppi come “paradigmi” per l’equivalenza fra accordi

Relazione d’equivalenza:

- Riflessiva
- Simmetrica
- Transitiva

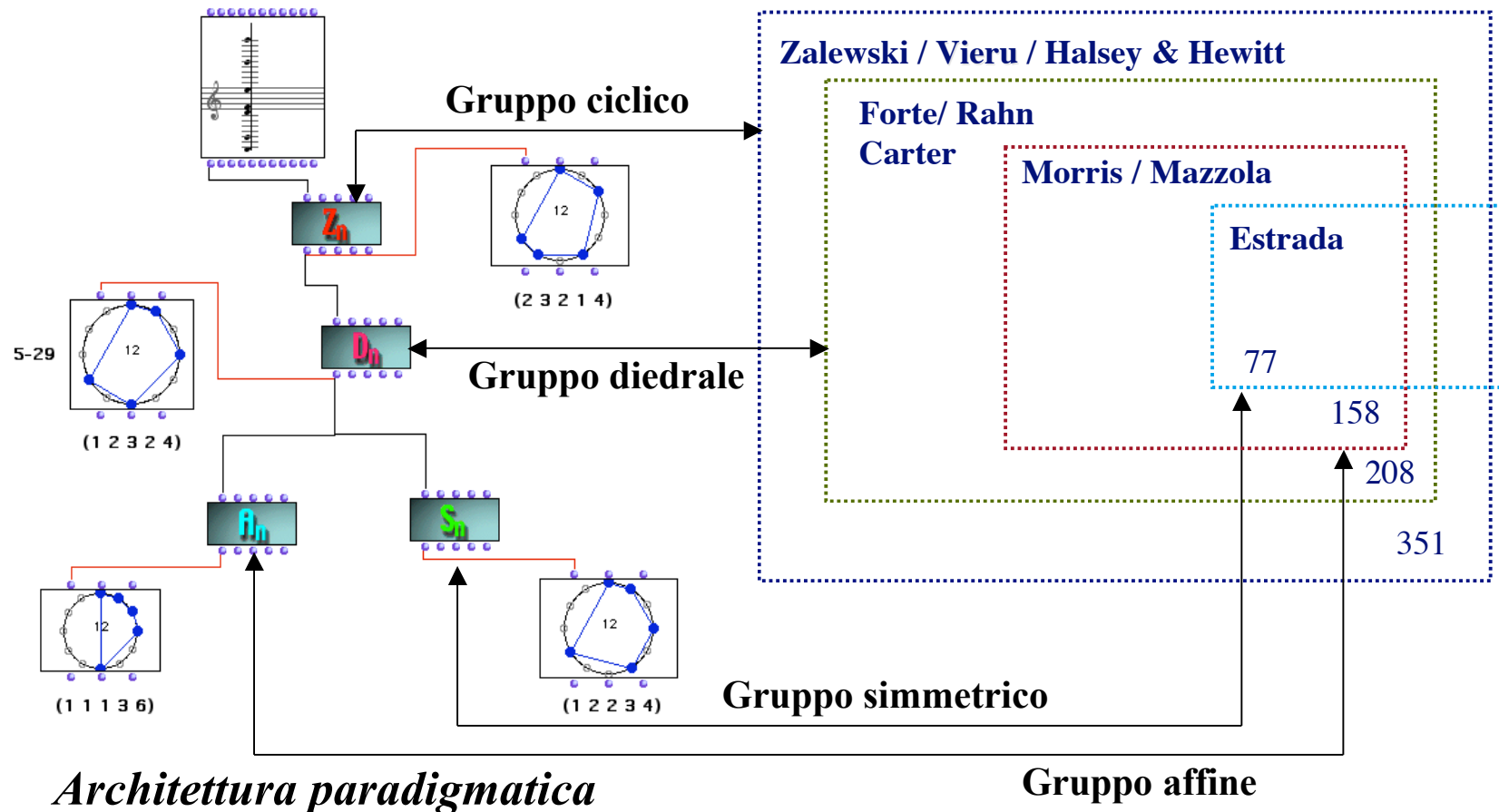


Architettura paradigmatica

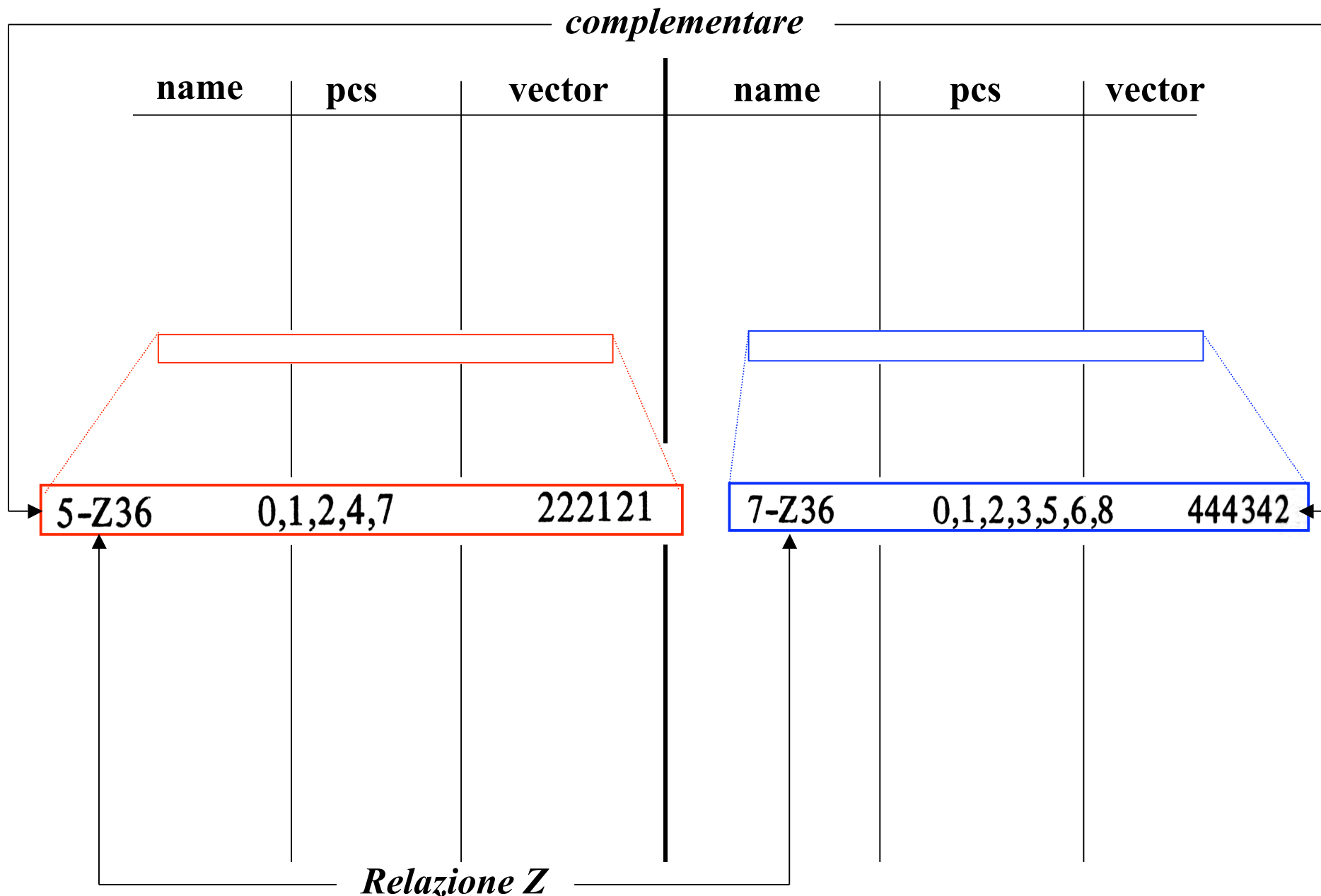
Gruppo affine

Classificazione paradigmatica delle strutture musicali

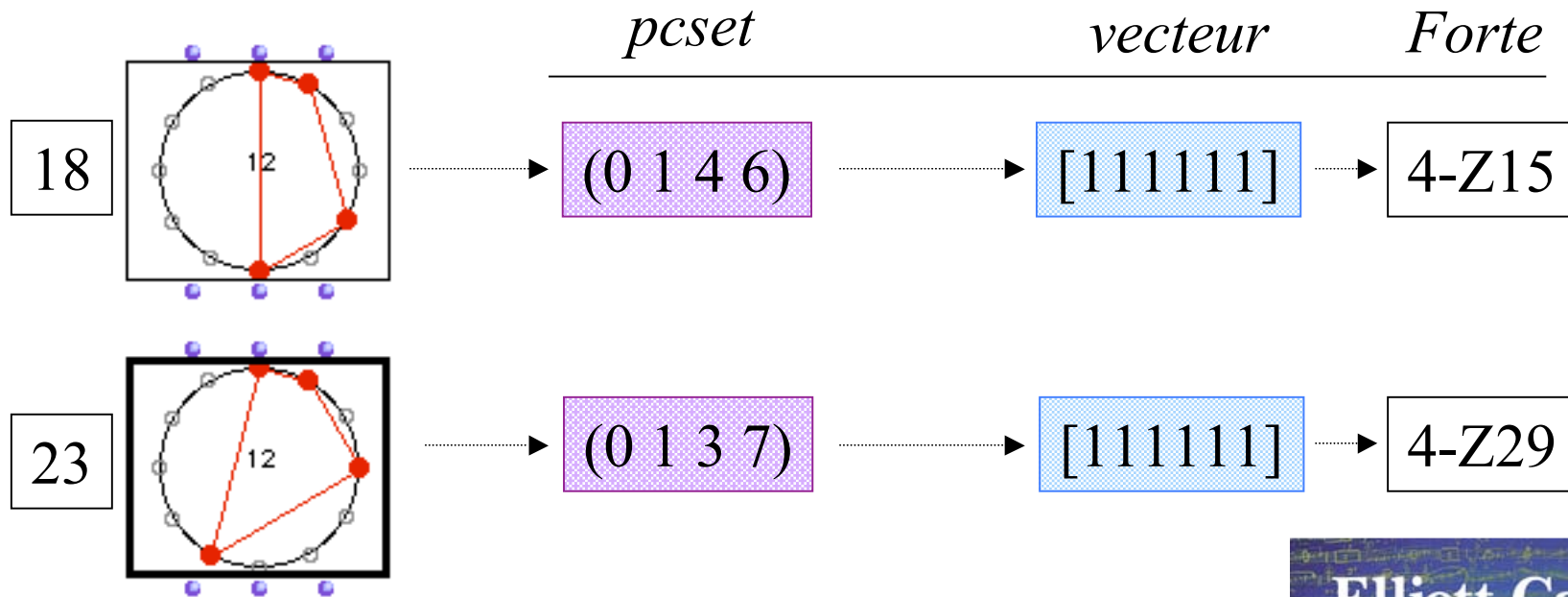
$G \setminus k$	1	2	3	4	5	6	7	8	9	10	11	12
C_{12}	1	6	19	43	66	80	66	43	19	6	1	1
D_{12}	1	6	12	29	38	50	38	29	12	6	1	1
$\text{Aff}_1(Z_{12})$	1	5	9	21	25	34	25	21	9	5	1	1



La Set Theory d'Allen Forte: catalogo dei *pitch-class sets*

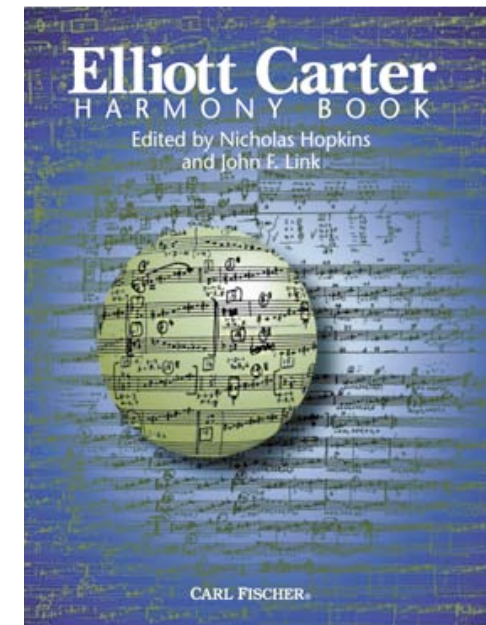


Elliott Carter's *Harmony Book* (2002)

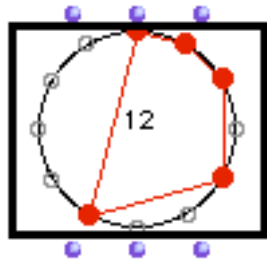


Utilizzazione (implicita) della *Z-relation*

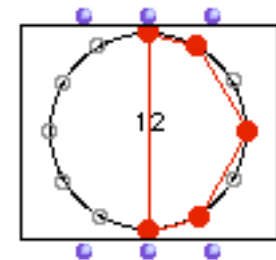
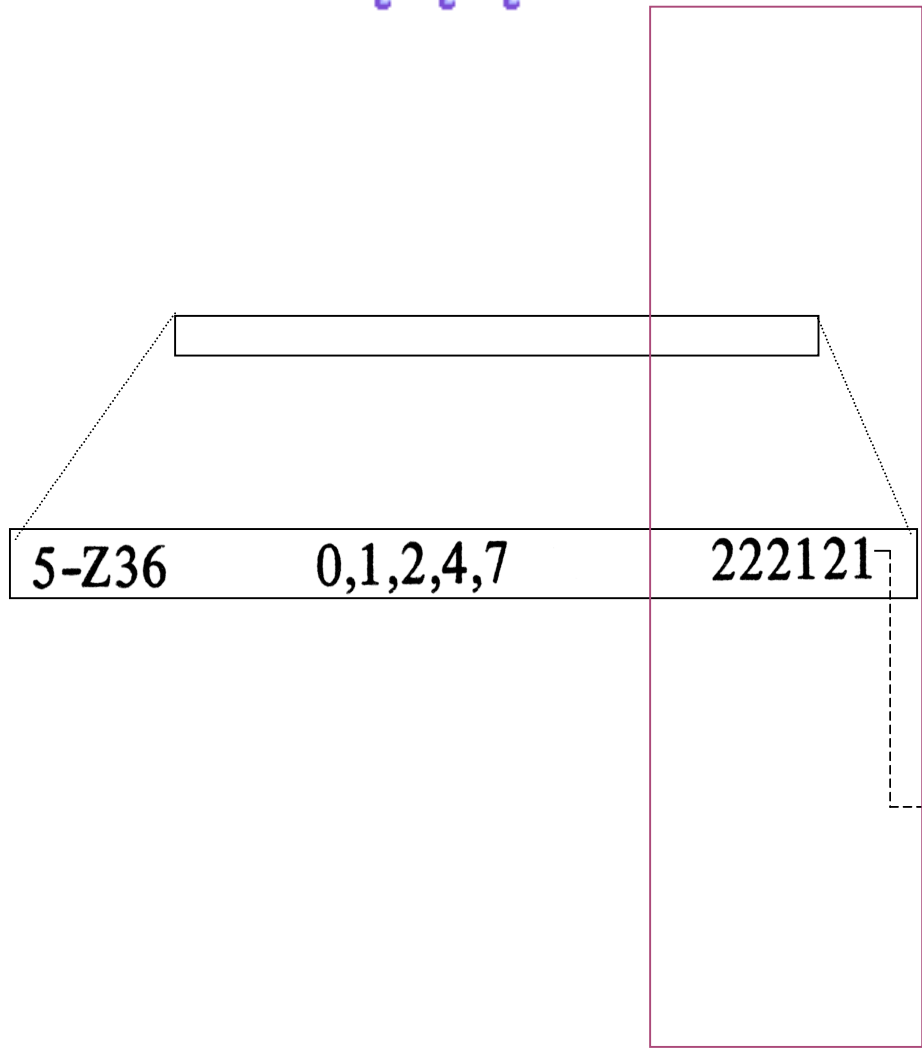
- *Quartetto n°1* (1951)
- *Night Fantasies* (1980)
- *90+* (1994)
- ...



Vettore intervallare e relazione Z

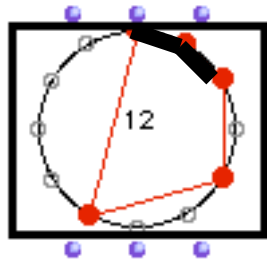


Il **vettore intervallare** (Forte) esprime la frequenza di apparizione di ogni intervallo (modulo il suo complementare)

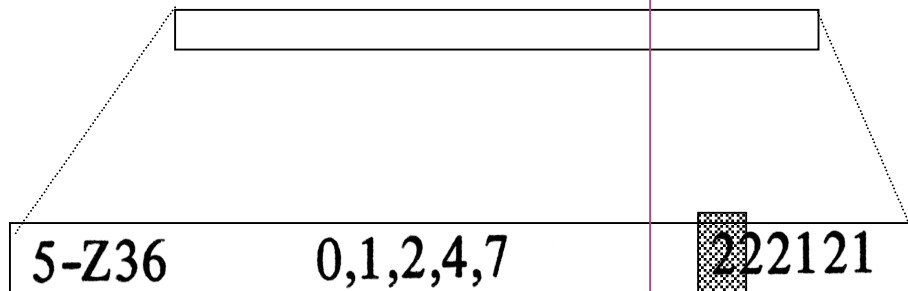


5-Z12

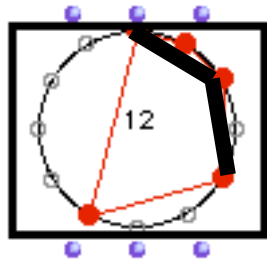
Vettore intervallare e relazione Z



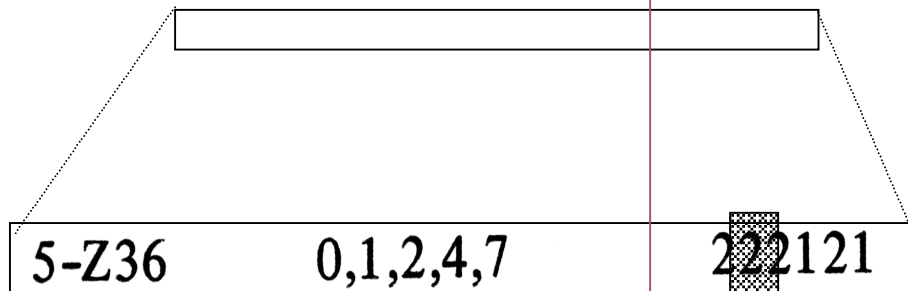
Il vettore intervallare (Forte) esprime la frequenza di apparizione di ogni intervallo (modulo il suo complementare)



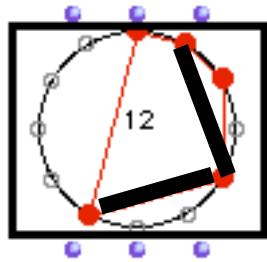
Vettore intervallare e relazione Z



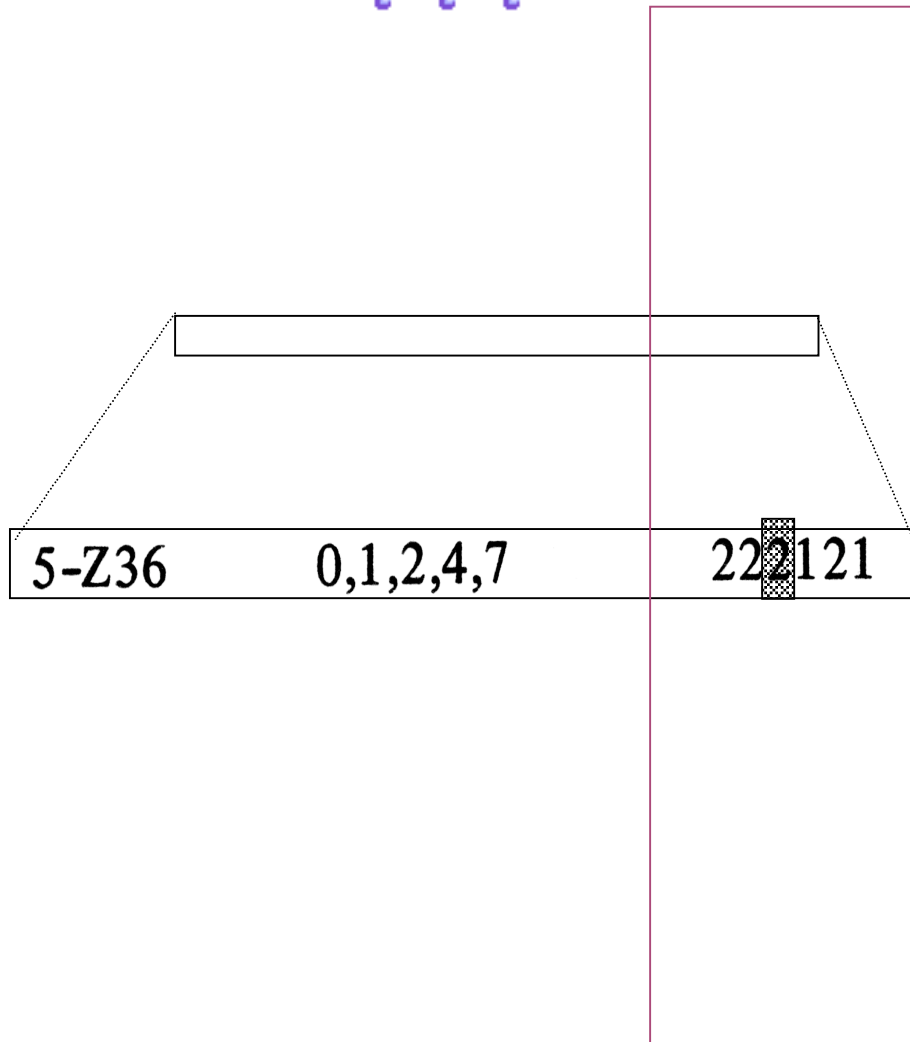
Il **vettore intervallare** (Forte) esprime la frequenza di apparizione di ogni intervallo (modulo il suo complementare)



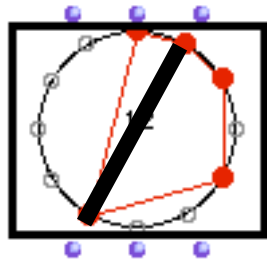
Vettore intervallare e relazione Z



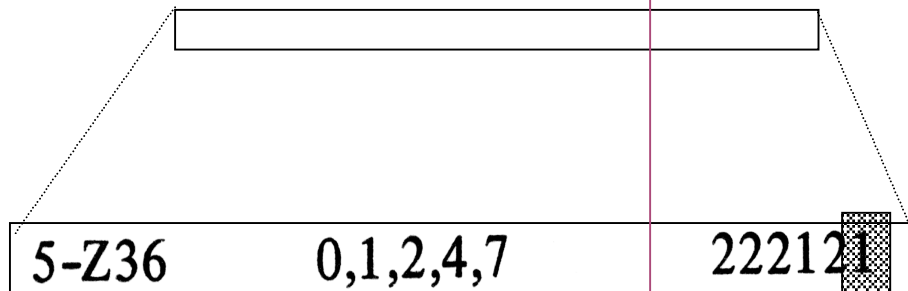
Il **vettore intervallare** (Forte) esprime la frequenza di apparizione di ogni intervallo (modulo il suo complementare)



Vettore intervallare e relazione Z

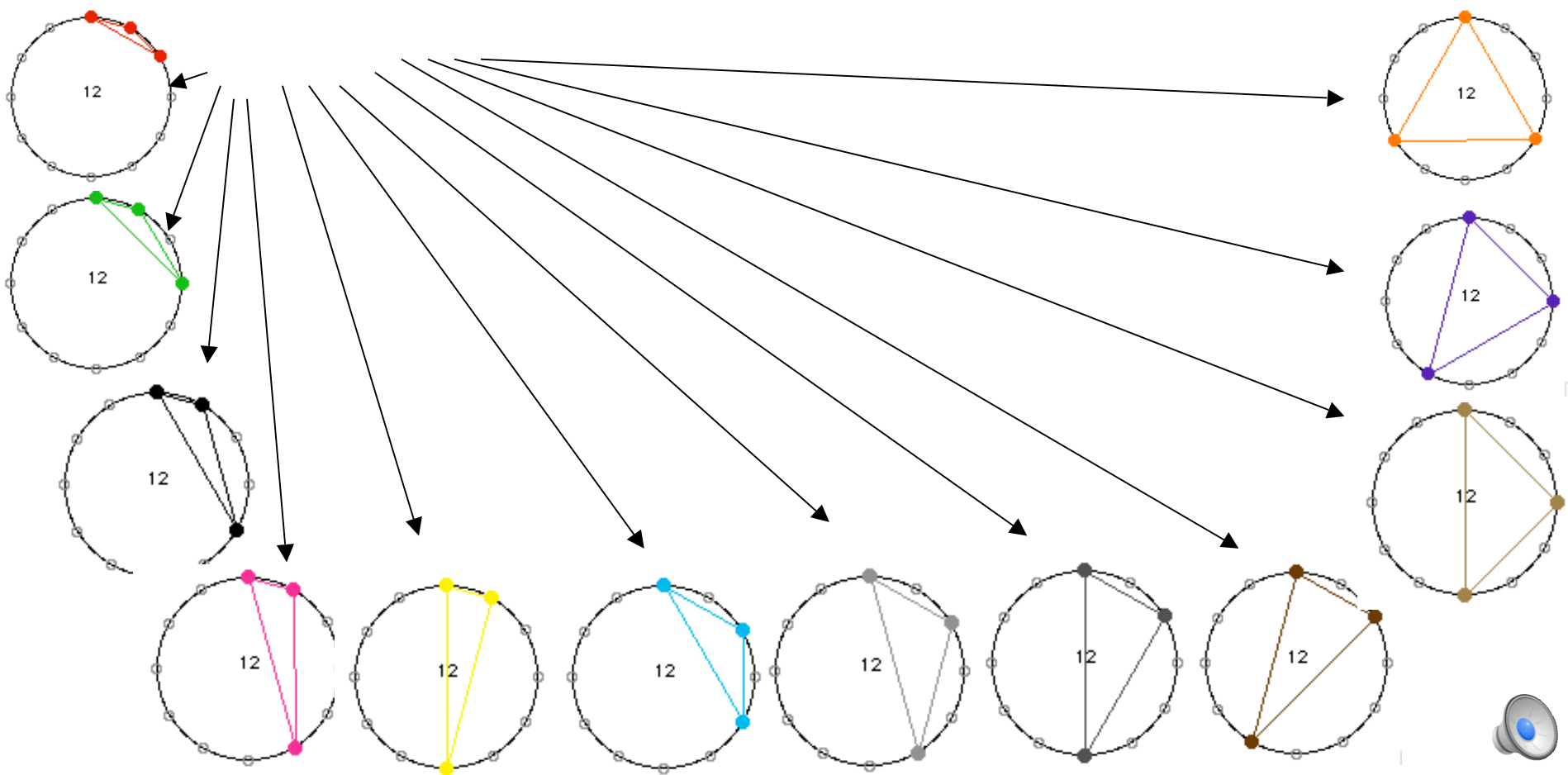
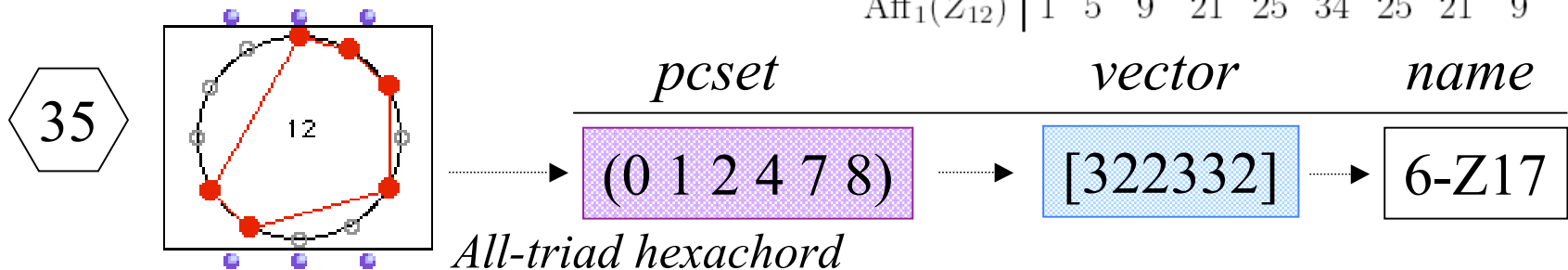


Il **vettore intervallare** (Forte) esprime la frequenza di apparizione di ogni intervallo (modulo il suo complementare)



Elliott Carter: 90+ (1994)

$G \setminus k$	1	2	3	4	5	6	7	8	9	10	11	12
C_{12}	1	6	19	43	66	80	66	43	19	6	1	1
D_{12}	1	6	12	29	38	50	38	29	12	6	1	1
$\text{Aff}_1(\mathbb{Z}_{12})$	1	5	9	21	25	34	25	21	9	5	1	1



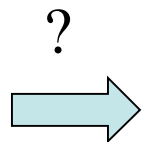
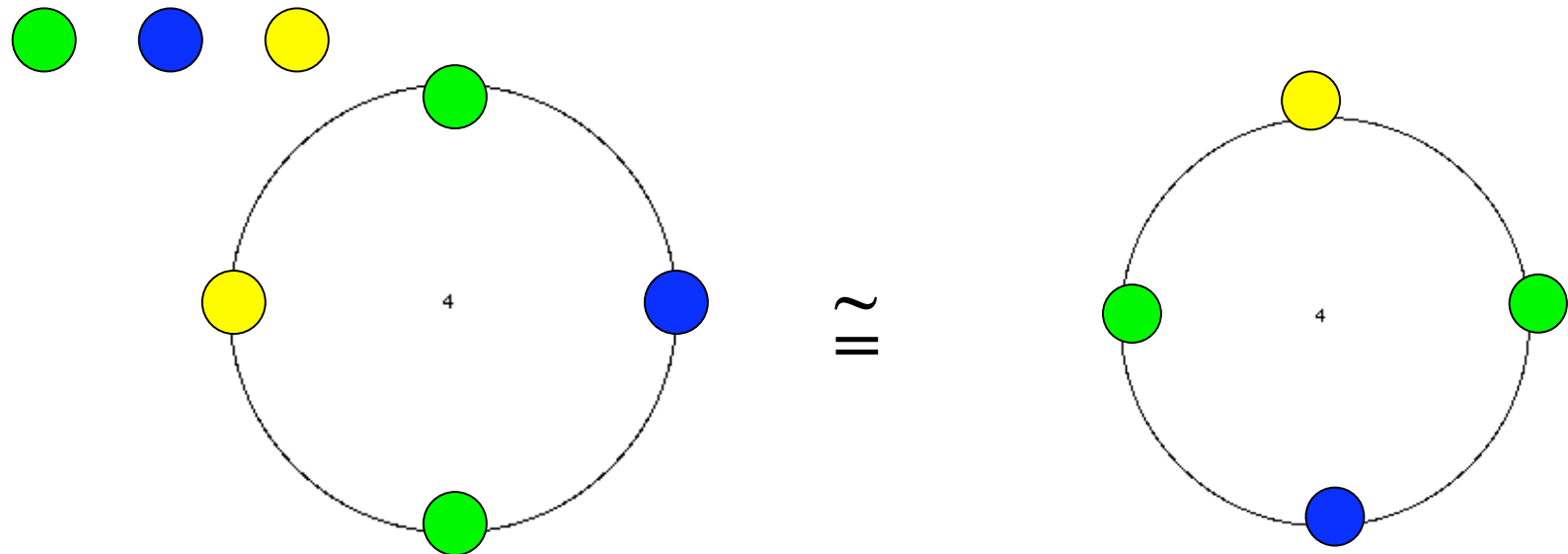
Enumerazione delle orbite rispetto all'azione di un gruppo



Lemma de Burnside

$$n = \frac{1}{|G|} \sum_{g \in G} |X^g|.$$

$$X^g = \{x \in X : gx = x\}$$



Trovare il numero di configurazioni possibili

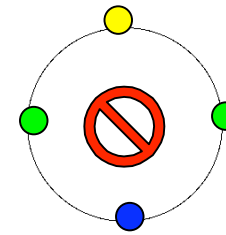
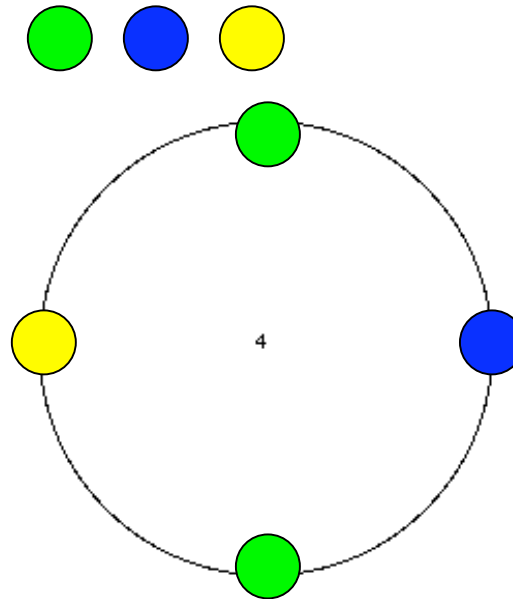
Enumerazione delle orbite rispetto all'azione di $\mathbf{Z}/n\mathbf{Z}$



Lemma di Burnside

$$n = \frac{1}{|G|} \sum_{g \in G} |X^g|.$$

$$X^g = \{x \in X : gx = x\}$$



Azione di $\mathbf{Z}/4\mathbf{Z}$

T_0 = identità

T_1 = rotazione di 90°

T_2 = rotazione di 180°

T_3 = rotazione di 270°

Configurazioni possibili = $3^4 = 81$

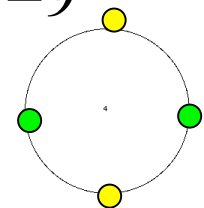
T_0 fissa ogni configurazione $\Rightarrow |X^{T_0}| = 81$

T_1 fissa ogni configurazione monocromatica $\Rightarrow |X^{T_1}| = 3$

T_3 idem

T_2 fissa ogni configurazione «doppio-diametro» $\Rightarrow |X^{T_2}| = 3^2 = 9$

➔ $n = 1/4 (81+3+3+9) = 24$



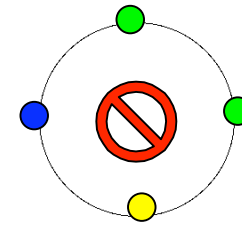
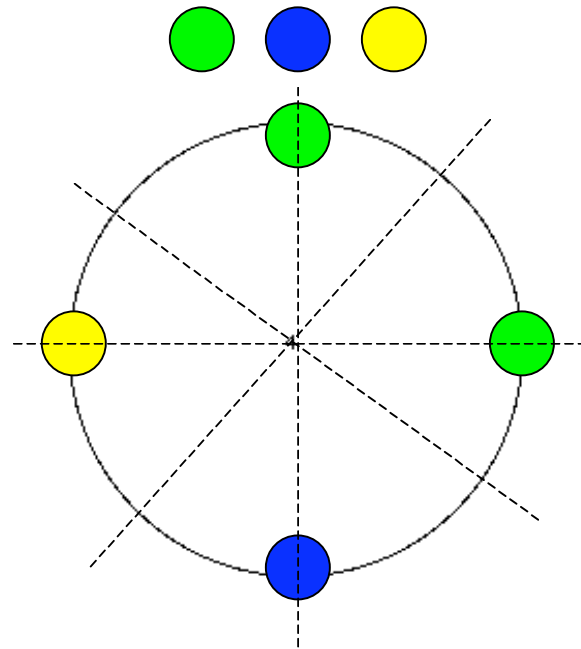
Enumerazione delle orbite rispetto all'azione di D_n



Lemma di Burnside

$$n = \frac{1}{|G|} \sum_{g \in G} |X^g|.$$

$X^g = \{x \in X : gx = x\}$

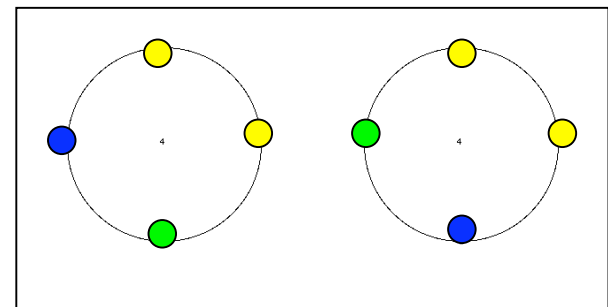
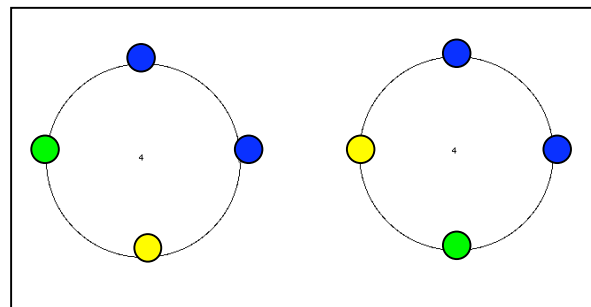
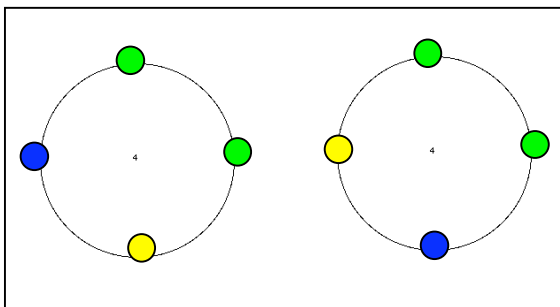


Action de D_4

- | | |
|-------------------------------|---------------------------|
| $T_0 = \text{id}$ | $T_0I = \text{inversion}$ |
| $T_1 = \text{rot } 90^\circ$ | $T_1I = \text{inv.}$ |
| $T_2 = \text{rot } 180^\circ$ | $T_2I = \text{inv.}$ |
| $T_3 = \text{rot } 270^\circ$ | $T_3I = \text{inv.}$ |

?

➔ Verificare che il numero delle configurazioni possibili è = 21



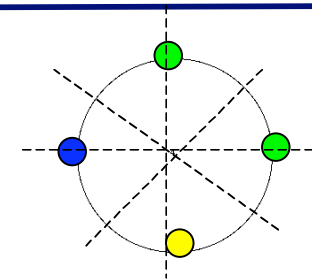
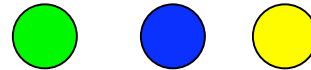
Enumerazione delle orbite rispetto all'azione di D_n



Lemma di Burnside

$$n = \frac{1}{|G|} \sum_{g \in G} |X^g|.$$

$$X^g = \{x \in X : gx = x\}$$



<i>Transformation</i>	<i>Action</i>	<i>Cycle representation</i>	<i>No. of cycles</i>	<i>Fixed configs.</i>	<i>Cycle type</i>	<i>Cycle index</i>
T_0	$0 \rightarrow 0, 1 \rightarrow 1, 2 \rightarrow 2, 3 \rightarrow 3$	$(0)(1)(2)(3)$	4	$3^4 = 81$	1^4	t_1^4
T_1	$0 \rightarrow 1 \rightarrow 2 \rightarrow 3 \rightarrow 0$	$(0\ 1\ 2\ 3)$	1	$3^1 = 3$	4^1	t_4^1
T_2	$0 \rightarrow 2 \rightarrow 0, 1 \rightarrow 3 \rightarrow 1$	$(0\ 2)(1\ 3)$	2	$3^2 = 9$	2^2	t_2^2
T_3	$0 \rightarrow 3 \rightarrow 2 \rightarrow 1 \rightarrow 0$	$(0\ 3\ 2\ 1)$	1	$3^1 = 3$	4^1	t_4^1
I	$0 \rightarrow 0, 1 \rightarrow 3 \rightarrow 1, 2 \rightarrow 2$	$(0)(1\ 3)(2)$	3	$3^3 = 27$	$1^2 2^1$	$t_1^2 t_2^1$
$T_1 I$	$0 \rightarrow 1 \rightarrow 0, 2 \rightarrow 3 \rightarrow 2$	$(0\ 1)(2\ 3)$	2	$3^2 = 9$	2^2	t_2^2
$T_2 I$	$0 \rightarrow 2 \rightarrow 0, 1 \rightarrow 1, 3 \rightarrow 3$	$(0\ 2)(1)(3)$	3	$3^3 = 27$	$1^2 2^1$	$t_1^2 t_2^1$
$T_3 I$	$0 \rightarrow 3 \rightarrow 0, 1 \rightarrow 2 \rightarrow 1$	$(0\ 3)(1\ 2)$	2	$3^2 = 9$	2^2	t_2^2

Julian Hook, « Why are there 29 Tetrachords? A Tutorial on Combinatorics and Enumeration in Music Theory », MTO, 13(4), 2007

Enumerazione delle orbite rispetto al gruppo ciclico Z_{12}



Lemma di Burnside

$$n = \frac{1}{|G|} \sum_{g \in G} |X^g|.$$

$$X^g = \{x \in X : gx = x\}$$

(Benson, p. 348)

Group element	size of subset												
	0	1	2	3	4	5	6	7	8	9	10	11	12
Identity	1	12	66	220	495	792	924	792	495	220	66	12	1
T, T^5, T^7, T^{11}	1	0	0	0	0	0	0	0	0	0	0	0	1
T^2, T^{10}	1	0	0	0	0	0	2	0	0	0	0	0	1
T^3, T^9	1	0	0	0	3	0	0	0	3	0	0	0	1
T^4, T^8	1	0	0	4	0	0	6	0	0	4	0	0	1
T^6	1	0	6	0	15	0	20	0	15	0	6	0	1

➔ # accordi di 3 note = $1/12 (220 + 4 \cdot 2) = 228/12 = 19$

Enumerazione delle orbite (azione del gruppo diedrale D_{12})



Lemma di Burnside

$$n = \frac{1}{|G|} \sum_{g \in G} |X^g|.$$

$$X^g = \{x \in X : gx = x\}$$

(Benson, p. 348)

Group element	size of subset												
	0	1	2	3	4	5	6	7	8	9	10	11	12
Identity	1	12	66	220	495	792	924	792	495	220	66	12	1
T, T^5, T^7, T^{11}	1	0	0	0	0	0	0	0	0	0	0	0	1
T^2, T^{10}	1	0	0	0	0	0	2	0	0	0	0	0	1
T^3, T^9	1	0	0	0	3	0	0	0	3	0	0	0	1
T^4, T^8	1	0	0	4	0	0	6	0	0	4	0	0	1
T^6	1	0	6	0	15	0	20	0	15	0	6	0	1
$T^{2m}I$	1	2	6	10	15	20	20	20	15	10	6	2	1
$T^{2m+1}I$	1	0	6	0	15	0	20	0	15	0	6	0	1

→ # *pitch-classes* di 3 note = $1/24 (220 + 4 \cdot 2 + 10 \cdot 6) = 288/24 = 12$

=> OpenMusic

Enumerazione



Transformation	Cycle representation	No. of cycles	Fixed configs.	Cycle type	Cycle index
T_0	(0)(1)(2)(3)(4)(5)(6)(7)(8)(9)(A)(B)	12	$2^{12} = 4096$	1^{12}	t_1^{12}
T_1	(0 1 2 3 4 5 6 7 8 9 A B)	1	$2^1 = 2$	12^1	t_{12}^1
T_2	(0 2 4 6 8 A)(1 3 5 7 9 B)	2	$2^2 = 4$	6^2	t_6^2
T_3	(0 3 6 9)(1 4 7 A)(2 5 8 B)	3	$2^3 = 8$	4^3	t_4^3
T_4	(0 4 8)(1 5 9)(2 6 A)(3 7 B)	4	$2^4 = 16$	3^4	t_3^4
T_5	(0 5 A 3 8 1 6 B 4 9 2 7)	1	$2^1 = 2$	12^1	t_{12}^1
T_6	(0 6)(1 7)(2 8)(3 9)(4 A)(5 B)	6	$2^6 = 64$	2^6	t_2^6
T_7	(0 7 2 9 4 B 6 1 8 3 A 5)	1	$2^1 = 2$	12^1	t_{12}^1
T_8	(0 8 4)(1 9 5)(2 A 6)(3 B 7)	4	$2^4 = 16$	3^4	t_3^4
T_9	(0 9 6 3)(1 A 7 4)(2 B 8 5)	3	$2^3 = 8$	4^3	t_4^3
T_{10}	(0 A 8 6 4 2)(1 B 9 7 5 3)	2	$2^2 = 4$	6^2	t_6^2
T_{11}	(0 B A 9 8 7 6 5 4 3 2 1)	1	$2^1 = 2$	12^1	t_{12}^1
I	(0)(1 B)(2 A)(3 9)(4 8)(5 7)(6)	7	$2^7 = 128$	$1^2 2^5$	$t_1^2 t_2^5$
$T_1 I$	(0 1)(2 B)(3 A)(4 9)(5 8)(6 7)	6	$2^6 = 64$	2^6	t_2^6
$T_2 I$	(0 2)(1)(3 B)(4 A)(5 9)(6 8)(7)	7	$2^7 = 128$	$1^2 2^5$	$t_1^2 t_2^5$
$T_3 I$	(0 3)(1 2)(4 B)(5 A)(6 9)(7 8)	6	$2^6 = 64$	2^6	t_2^6
$T_4 I$	(0 4)(1 3)(2)(5 B)(6 A)(7 9)(8)	7	$2^7 = 128$	$1^2 2^5$	$t_1^2 t_2^5$
$T_5 I$	(0 5)(1 4)(2 3)(6 B)(7 A)(8 9)	6	$2^6 = 64$	2^6	t_2^6
$T_6 I$	(0 6)(1 5)(2 4)(3)(7 B)(8 A)(9)	7	$2^7 = 128$	$1^2 2^5$	$t_1^2 t_2^5$
$T_7 I$	(0 7)(1 6)(2 5)(3 4)(8 B)(9 A)	6	$2^6 = 64$	2^6	t_2^6
$T_8 I$	(0 8)(1 7)(2 6)(3 5)(4)(9 B)(A)	7	$2^7 = 128$	$1^2 2^5$	$t_1^2 t_2^5$
$T_9 I$	(0 9)(1 8)(2 7)(3 6)(4 5)(A B)	6	$2^6 = 64$	2^6	t_2^6
$T_{10} I$	(0 A)(1 9)(2 8)(3 7)(4 6)(5)(B)	7	$2^7 = 128$	$1^2 2^5$	$t_1^2 t_2^5$
$T_{11} I$	(0 B)(1 A)(2 9)(3 8)(4 7)(5 6)	6	$2^6 = 64$	2^6	t_2^6

Lemma di Burnside

$$n = \frac{1}{|G|} \sum_{g \in G} |X^g|.$$

$X^g = \{x \in X : gx = x\}$

Azione di D_{12}
(Hook, MTO)



d'accords = $1/12[4096+2+4+8+16+2+64+2+16+8+4+2]=352$



d'accords = $1/24[...]=224$

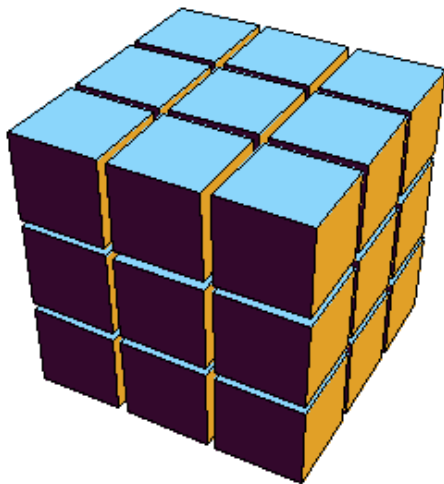
Alcune applicazioni del lemma di Burnside

1	2	3	7	8	9	4	5	6
4	5	6	1	2	3	7	8	9
7	8	9	4	5	6	1	2	3
2	3	1	8	9	7	5	6	4
5	6	4	2	3	1	8	9	7
8	9	7	5	6	4	2	3	1
3	1	2	9	7	8	6	4	5
6	4	5	3	1	2	9	7	8
9	7	8	6	4	5	3	1	2



5.472.730.538 =
 5×10^9 soluzioni differenti

Bertram Felgenhauer & Fraze Jarvis, 2005
<http://www.afjarvis.staff.shef.ac.uk/>



901.083.404.981.813.616
= 9×10^{17} posizioni differenti

Turner, E. C. and Gold, K. F. "Rubik's Groups."
Amer. Math. Monthly **92**, 617-629, 1985

Formule d'enumerazione d'accordi in un sistema temperato

(Reiner, 1985)

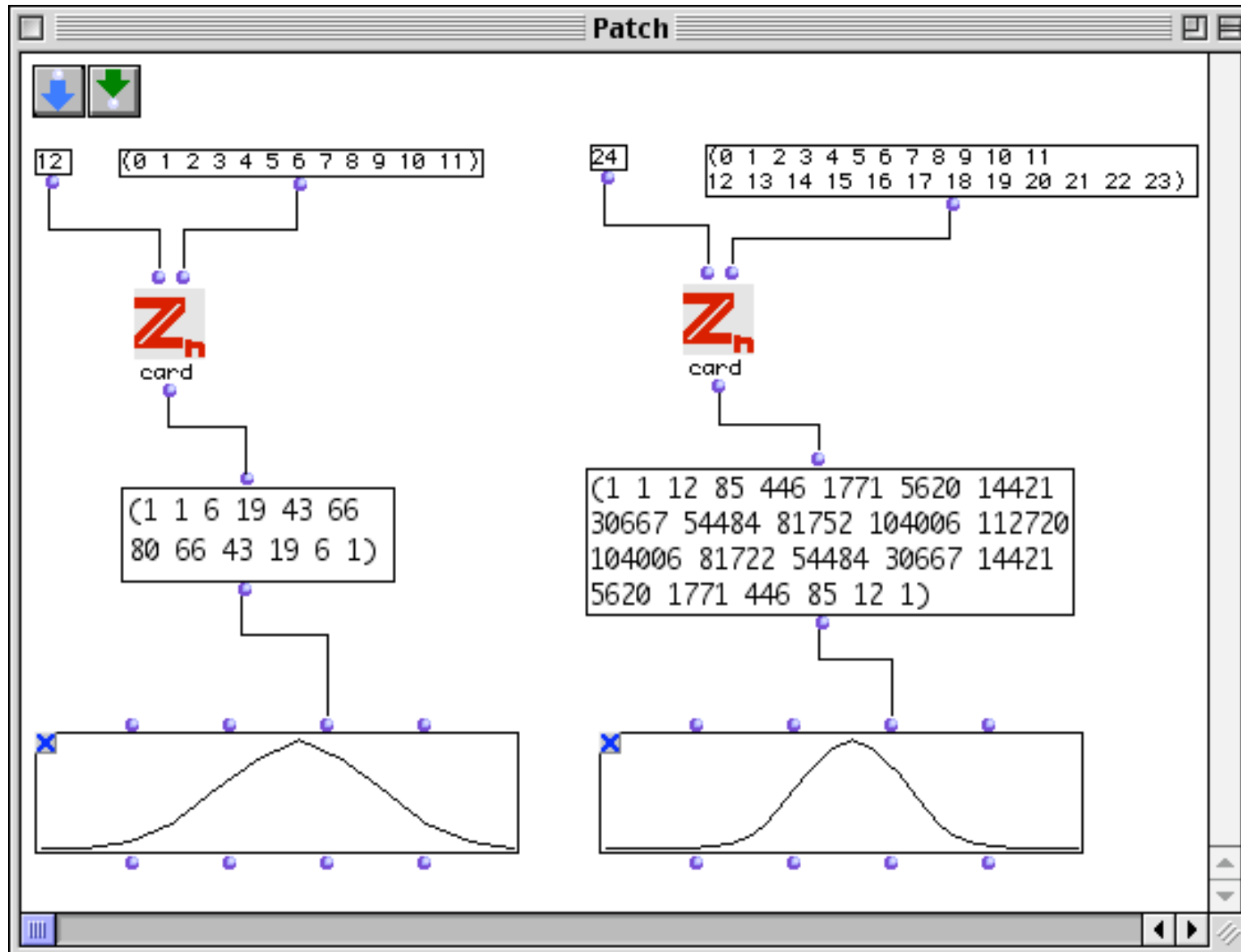
$$\mathbb{Z}_n \quad \# \text{ of } k\text{-chords} = \frac{1}{n} \sum_{j|(n,k)} \phi(j) \binom{n/j}{k/j} = \frac{1}{n} \Phi_n(k),$$

$$\mathbb{D}_n \quad \# \text{ of } k\text{-chords} = \begin{cases} \frac{1}{2n} \left[\Phi_n(k) + n \binom{(n-1)/2}{[k/2]} \right], & \text{if } n \text{ is odd,} \\ \frac{1}{2n} \left[\Phi_n(k) + n \binom{n/2}{k/2} \right], & \text{if } n \text{ is even and } k \text{ is even,} \\ \frac{1}{2n} \left[\Phi_n(k) + n \binom{(n/2)-1}{[k/2]} \right], & \text{if } n \text{ is even and } k \text{ is odd.} \end{cases}$$

- D. Halsey & E. Hewitt: « Eine gruppentheoretische Methode in der Musik-theorie », *Jahresber. Der Dt. Math.-Vereinigung*, 80, 1978.
- **D. Reiner**: « Enumeration in Music Theory », *Amer. Math. Month.* 92:51-54, 1985
- H. Friepertinger: « Enumeration in Musical Theory », *Beiträge zur Elektr. Musik*, 1, 1992
- R.C. Read: « Combinatorial problems in the theory of music », *Discrete Math.*, 1997
- H. Friepertinger: « Enumeration of mosaics », *Discrete Math.*, 1999
- H. Friepertinger: « Enumeration of non-isomorphic canons », *Tatra Mt. Math. Publ.*, 2001
- M. Broué : « Les tonalités musicales vues par un mathématicien », *Le temps des savoirs, Revue de l'Institut Universitaire de France*, 2002
- David J. Hunter & Paul T. von Hippel : « How Rare Is Symmetry in Musical 12-Tone Rows? », *The American Mathematical Monthly*, Vol. 110, No. 2., Feb., 2003
- H. Friepertinger: « Tiling problems in music theory », in *Perspectives in Mathematical and Computational Music Theory* (Mazzola, Noll, Puebla ed., Epos, 2004)
- Rachel W. Hall & P. Klingsberg: « Asymmetric Rhythms, Tiling Canons, and Burnside's Lemma », *Bridge Proceedings*, 2004
- ...

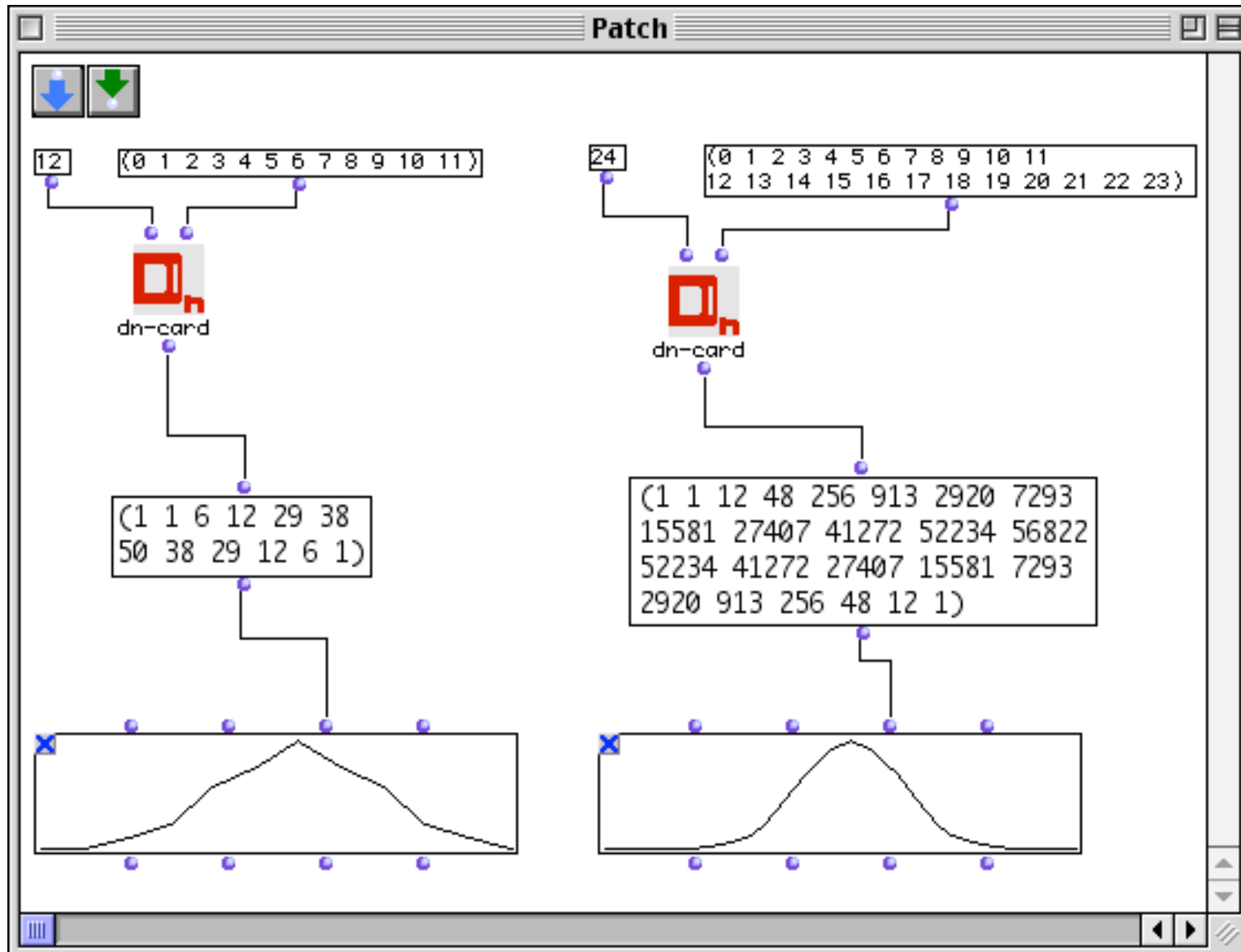
Aspetti computazionali della *Set Theory*

Enumerazione delle strutture musicali nello spazio temperato: $\mathbb{Z}/n\mathbb{Z}$



Aspetti computazionali della *Set Theory*

*Enumerazione delle strutture musicali nello spazio temperato: **D_n***



Enumerazione degli accordi in un sistema temperato

(Fripertinger, 1992 / 1999)

(Mazzola, *Topos of Music*, 2003)

$G \setminus k$	1	2	3	4	5	6	7	8	9	10	11	12
C_{12}	1	6	19	43	66	80	66	43	19	6	1	1
D_{12}	1	6	12	29	38	50	38	29	12	6	1	1
$\text{Aff}_1(\mathbb{Z}_{12})$	1	5	9	21	25	34	25	21	9	5	1	1

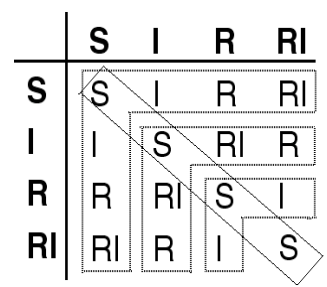
Chord Classes				
Class Nr.	Representative Nr. = ●, $\widehat{\text{Nr.}}$ = ○	Group of Symmetries	Conj. Class	# End. Nr. $\widehat{\text{Nr.}}$
1	●●●●●●●●●●	$\overline{GL}(\mathbb{Z}_{12})$	19	28 28
<i>One/Eleven Element</i>				
2	●○○○○○○○○○○	\mathbb{Z}_{12}^\times	8	1 31
<i>Two/Ten Elements</i>				
3	●●○○○○○○○○○○	$\langle -1e^{-1} \rangle$	3	3 23
3.1	●○○○○●○○○○○			
4	●○○●○○○○○○○○	$\{1, 7, -1e^{-2}, 5e^{-2}\}$	8	3 25
5	●○○●○○○○○○○○	$\{1, 5, 7e^{-3}, -1e^{-3}\}$	8	3 19
6	●○○●○○○○○○○○	$\{1, 7, 5e^8, -1e^8\}$	8	3 31
7	●○○○○●○○○○○	$\mathbb{Z}_{12}^\times \times e^{6\mathbb{Z}_{12}}$	13	3 28
<i>Three/Nine Elements</i>				
8	●●●○○○○○○○○	$\langle -1e^{-2} \rangle$	2	4 14
8.1	●●●○○○○●○○○○			
9	●●●○○○○○○○○	$\{1\}$	1	4 30
9.1	●○○○○○○○○○○			
10	●●○○●○○○○○○	$\{1\}$	1	8 36
10.1	●○○○○●○○○○○			
11	●●○○○○●○○○○○	$\langle 5 \rangle$	4	4 20
12	●●○○○○●○○○○○	$\langle 7e^6 \rangle$	6	5 29
13	●●○○○○●○○○○○	$\{1, 7, -1e^8, 5e^8\}$	8	4 18
14	●●○○○○●○○○○○	$\langle 7 \rangle$	6	8 31
15	●○○●○○●○○○○	$\{1, 5, -1e^6, 7e^6\}$	8	5 32
16	●○○●○○●○○○○	$\mathbb{Z}_{12}^\times \times e^{4\mathbb{Z}_{12}}$	15	4 20

$$F_1(x) = 1x$$

$$F_2(x) = 7x$$

$$F_3(x) = -2 - x$$

$$F_4(x) = -2 + 5x$$



	F_1	F_2	F_3	F_4
F_1	F_1	F_2	F_3	F_4
F_2	F_2	F_1	F_4	F_3
F_3	F_3	F_4	F_1	F_2
F_4	F_4	F_3	F_2	F_1

Enumerazione dei modi di Messiaen



R.C. Read: « Combinatorial problems in the theory of music », *Discrete Math.*, 1997

M. Broué : « Les tonalités musicales vues par un mathématicien », 2002

$$A_n = \sum_{k|n} \mu\left(\frac{n}{k}\right) 2^k$$

$$s_d(n) = \sum_{\{e; (e|(n/d))\}} \mu\left(\frac{n/d}{e}\right) 2^e$$

$\begin{cases} \mu(k)=0 \text{ se } k \text{ è divisibile per un quadrato} \\ \mu(k)=(-1)^m \text{ se } k \text{ è il prodotto di } m \text{ numeri primi distinti} \end{cases}$

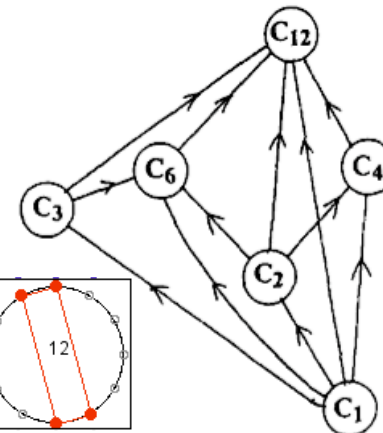
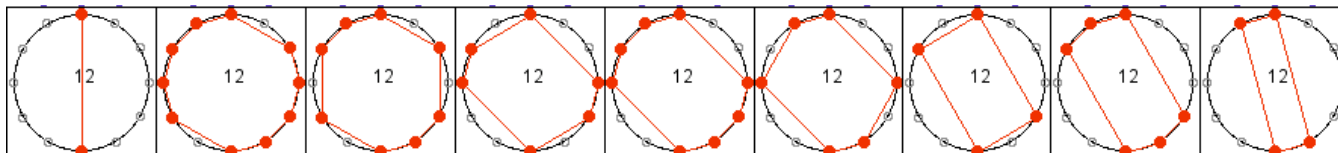
$$\begin{aligned} A_6 &= \mu(6)2 + \mu(3)2^2 + \mu(2)2^3 + \mu(1)2^6 = \\ &= (-1)^2 2 + (-1)2^2 + (-1)2^3 + 2^6 = \\ &= 2 - 4 - 8 + 64 = \\ &= 54 \end{aligned}$$

Table 1

Number of notes Symmetry	0	1	2	3	4	5	6	7	8	9	10	11	12
1													
2		1	5	18	40	66	75	66	40	18	5	1	
3					1								
4						1			1				
6							1						
12		1											1
All scales	1	1	6	19	43	66	80	66	43	19	6	1	1

54/6 = 9

12/6 = 2

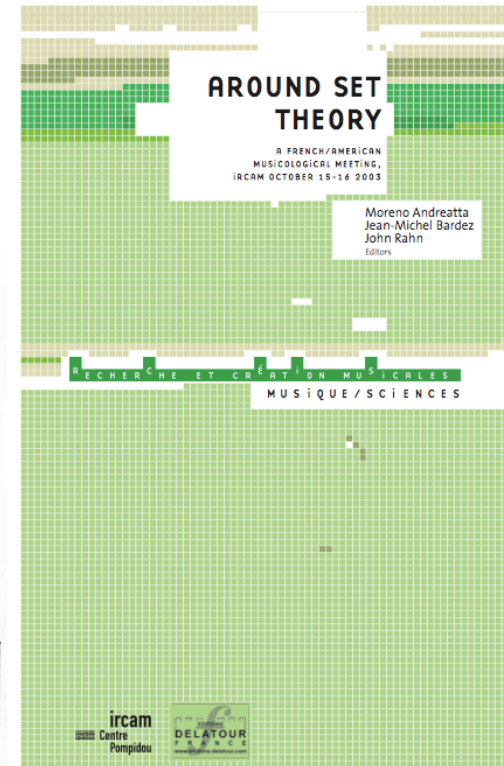


=> OpenMusic

Arnold Schoenberg: *Klavierstück* op. 19 n° 4

Rasch, aber leicht (♩)

The image shows the first 13 measures of the piano piece. The score is written for piano in 4/4 time. It begins with a piano (p) dynamic and a tempo marking of 'Rasch, aber leicht' with a quarter note symbol. The first measure contains a triplet of eighth notes. The second measure has a forte (f) dynamic. The third measure is marked piano (p). The fourth measure is marked 'poco rit.' and piano-piano (pp). The fifth measure is marked 'leicht'. The sixth measure is marked piano-piano (pp). The seventh measure is marked 'poco rit.' and piano (p). The eighth measure has a triplet of eighth notes. The ninth measure is marked piano (p). The tenth measure is marked 'f martellato'. The eleventh measure is marked fortissimo (ff) and sforzando (sf). The twelfth measure is marked fortissimo (ff). The thirteenth measure is marked fortississimo (fff) and sforzando (sf).

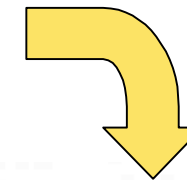
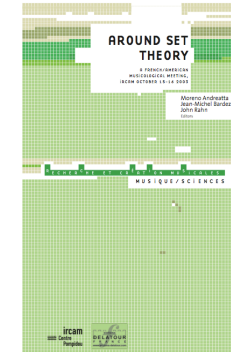


Allen Forte, "Schoenberg's Op.19 n°4: A Set-theoretical perspective"



Analisi d'Allen Forte

Arnold Schoenberg: *Klavierstück op. 19 n° 4*



riduzione

a)

Analisi d'Allen Forte: visualizzazione

Hasch, aber leicht (♩)

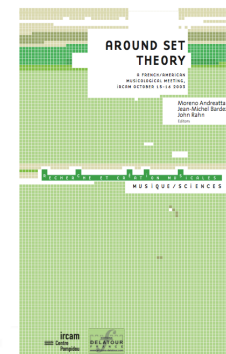
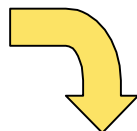
poco rit.

leicht

pp

Arnold Schoenberg: *Klavierstück* op. 19 n° 4

riduzione



a)

8-28 octa (CIII)

6-223

5-28 octa CII

5-33 wt

4-19

4-229

CII

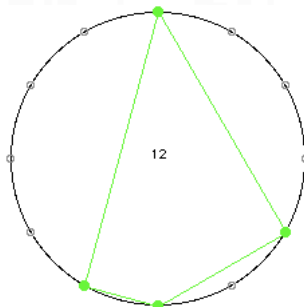
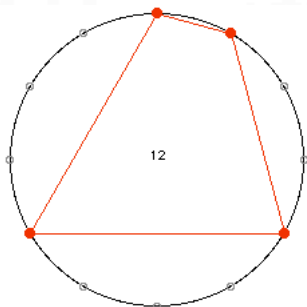
4-23

4-23

4-19 (T₁₀ I)




4-23

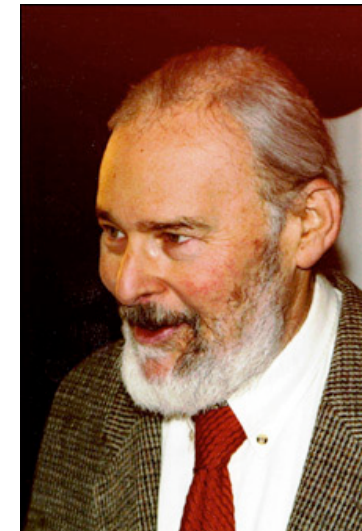
4-19 T₀ I



« Making and Using a Pcset Network for Stockhausen's Klavierstück III »

The image shows a musical score for Stockhausen's Klavierstück III. Three colored boxes highlight specific passages: a red box around the first measure, a green box around the second measure, and a blue box around the third measure. Red arrows point from the red box to a circular diagram, a green arrow from the green box to a second circular diagram, and a blue arrow from the blue box to a third circular diagram. Each circular diagram contains the number 12.

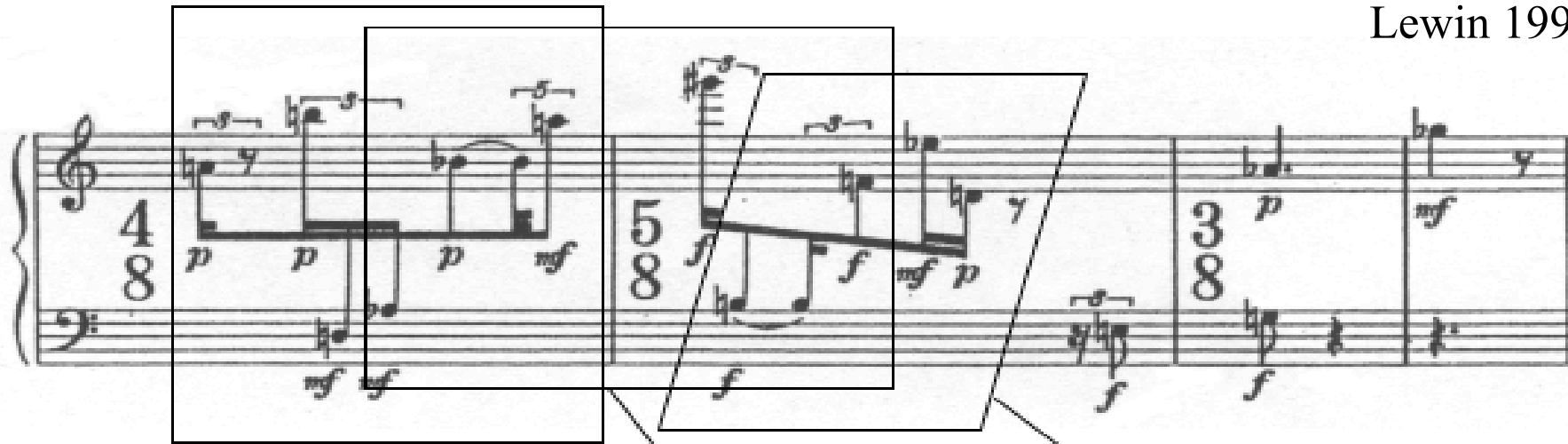
-  Henck
-  Kontarsky
-  Tudor



« The most ‘theoretical’ of the four essays, it focuses on the forms of one pentachord reasonably ubiquitous in the piece. A special **group of transformations** is developed, one suggested by the musical interrelations of the pentachord forms. Using that group, the essay arranges **all pentachord forms** of the music into a **spatial configuration** that illustrates network structure, for this particular phenomenon, over the entire piece. »

« *Making and Using a Pcset Network for Stockhausen's Klavierstück III* »

Lewin 1993



SI: (1, 1, 1, 3, 6)

(6, 3, 1, 1, 1)

(6, 3, 1, 1, 1)

IFUNC: [5 3 2 2 1 1 1 1 2 2 3]

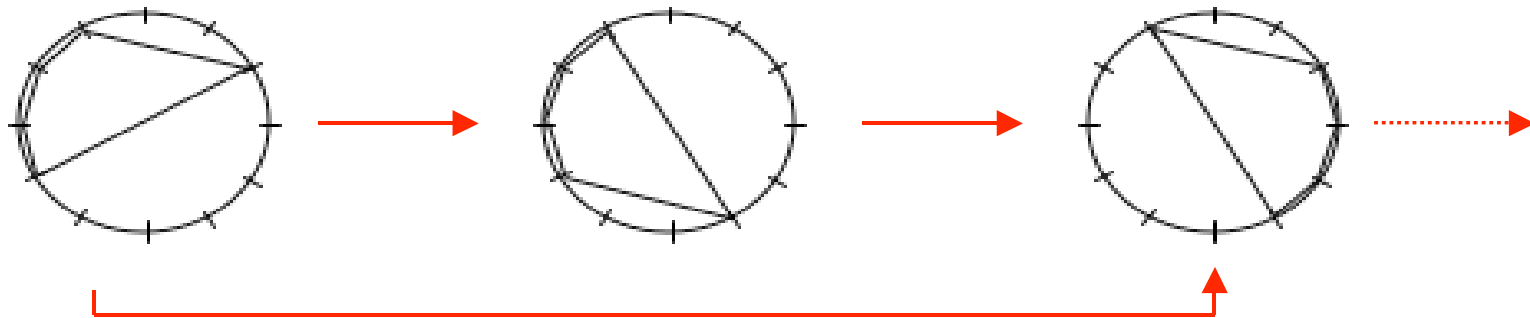
[5 3 2 2 1 1 1 1 2 2 3]

[5 3 2 2 1 1 1 1 2 2 3]

VI: [3 2 2 1 1 1]

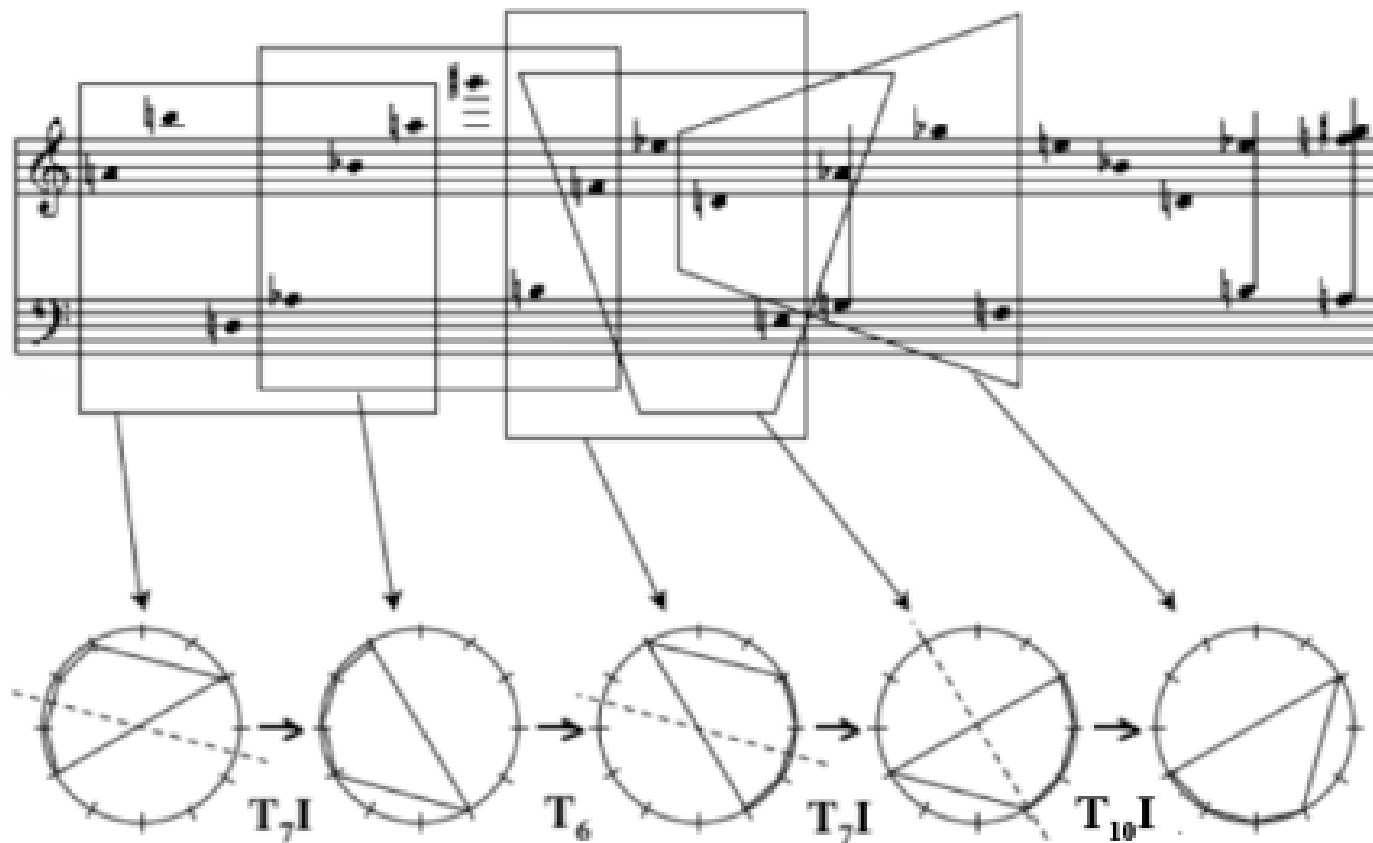
[3 2 2 1 1 1]

[3 2 2 1 1 1]



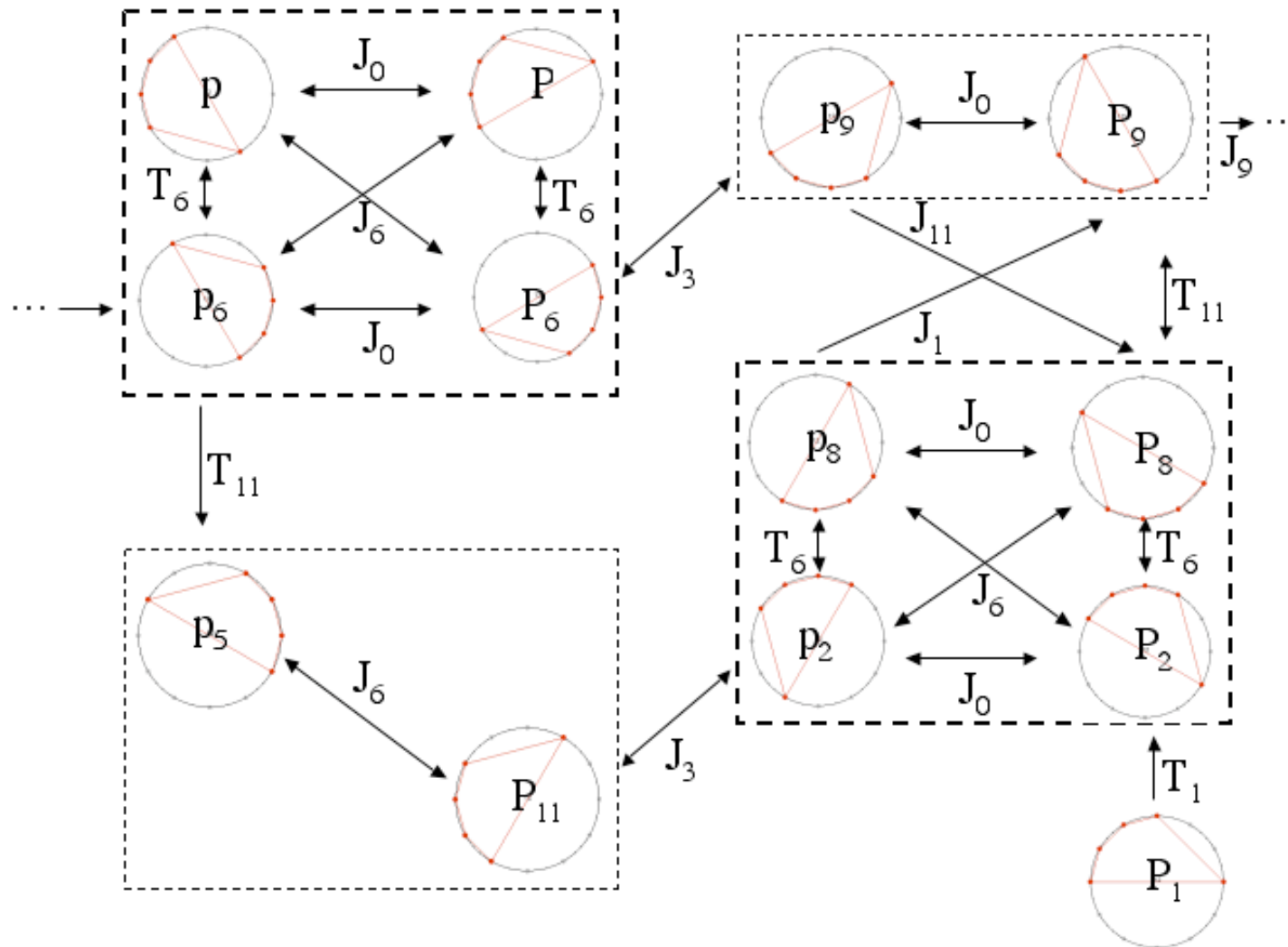
Segmentazione per « imbricazione »: progressione trasformatoriale

Stockhausen: *Klavierstück III* (Analisi di D. Lewin)



Analisi trasformazionale: reticolo

Stockhausen: *Klavierstück III* (Analisi di D. Lewin)



« [...] the sequence of events moves within a clearly defined world of possible relationships, and because - in so moving - it makes the abstract space of such a world accessible to our sensibilities. That is to say that the story projects what one would traditionally call form. »

Clumpenhouwer Networks (K-nets)

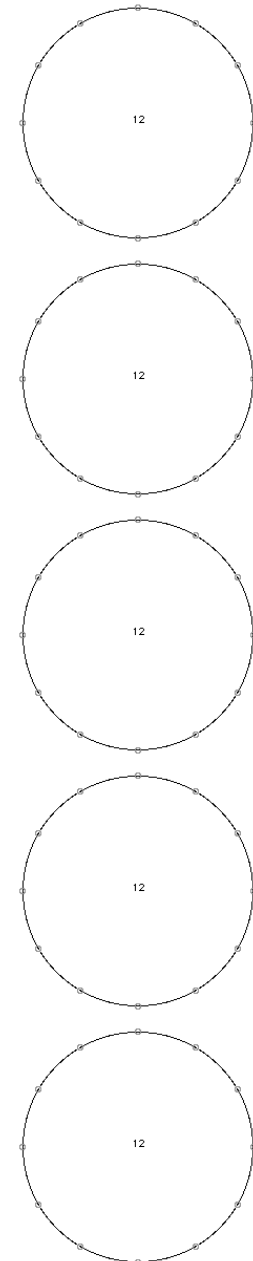
Xavier Hascher: « Liszt et les sources de la notion d'agrégat ». *Analyse Musicale*. 43. 2002

Lugubre, $\text{♩} = 58$

Ex. 1 - « Ladislaus Teleki » (*Historische ungarische Bildnisse* n° 4), mes. 1-7

Les agrégats dans la classification de Forte

Ex. 2 - Formes premières des agrégats utilisés dans l'ex. 1

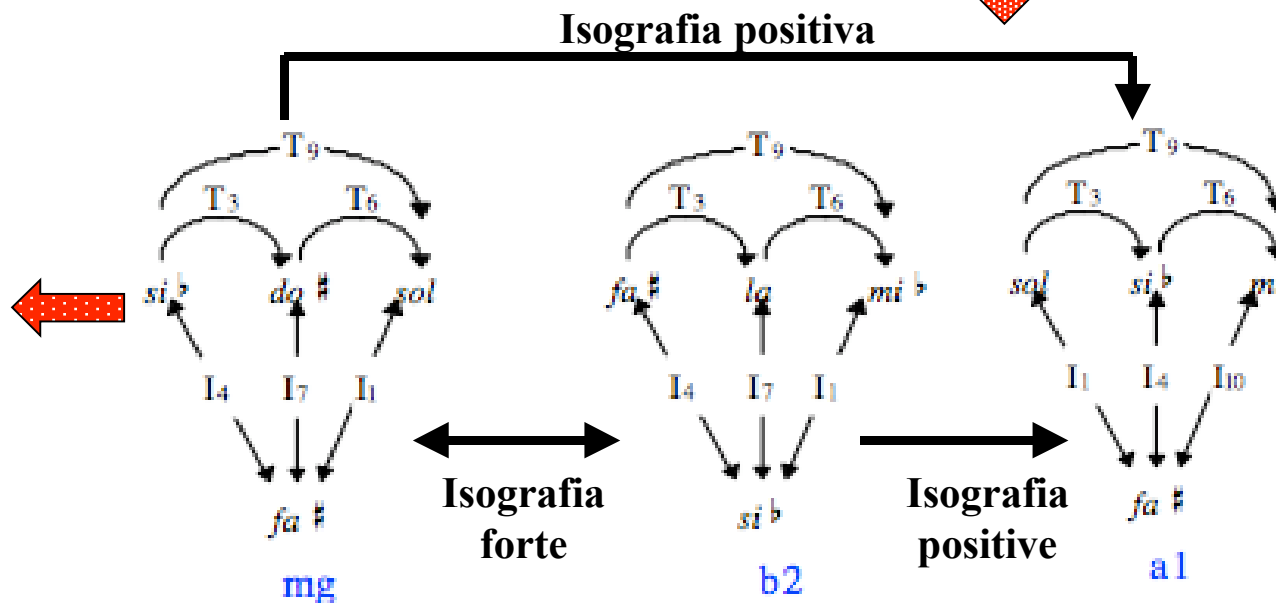
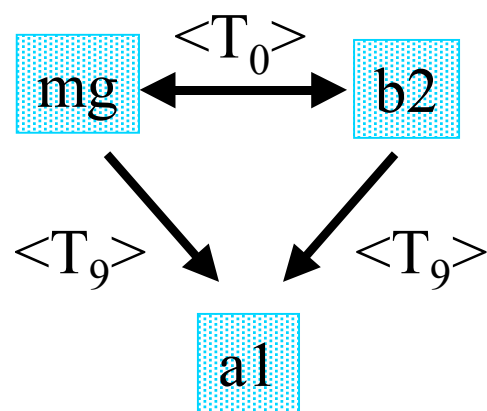
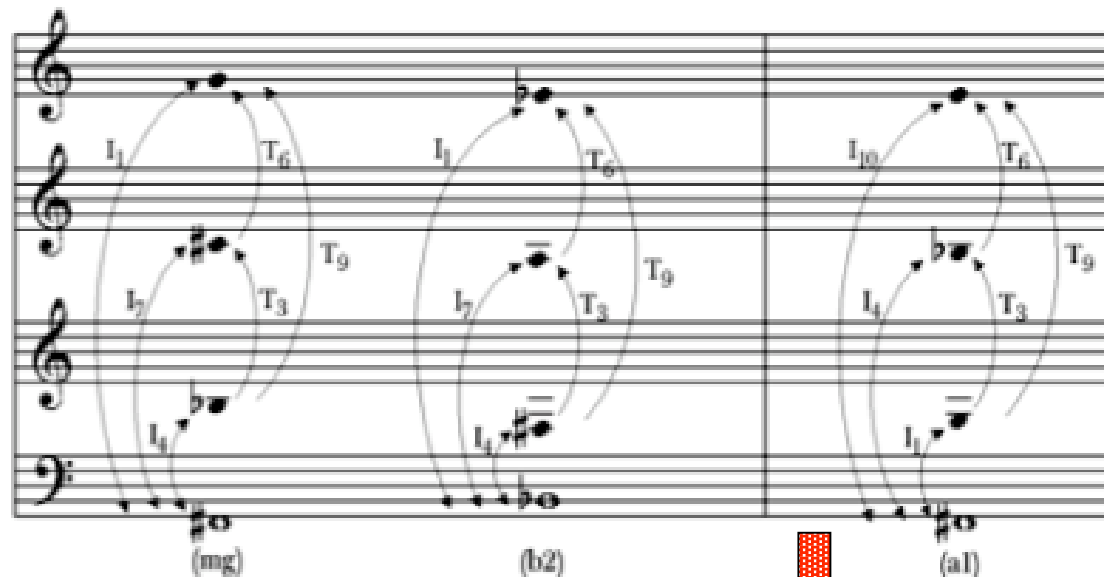


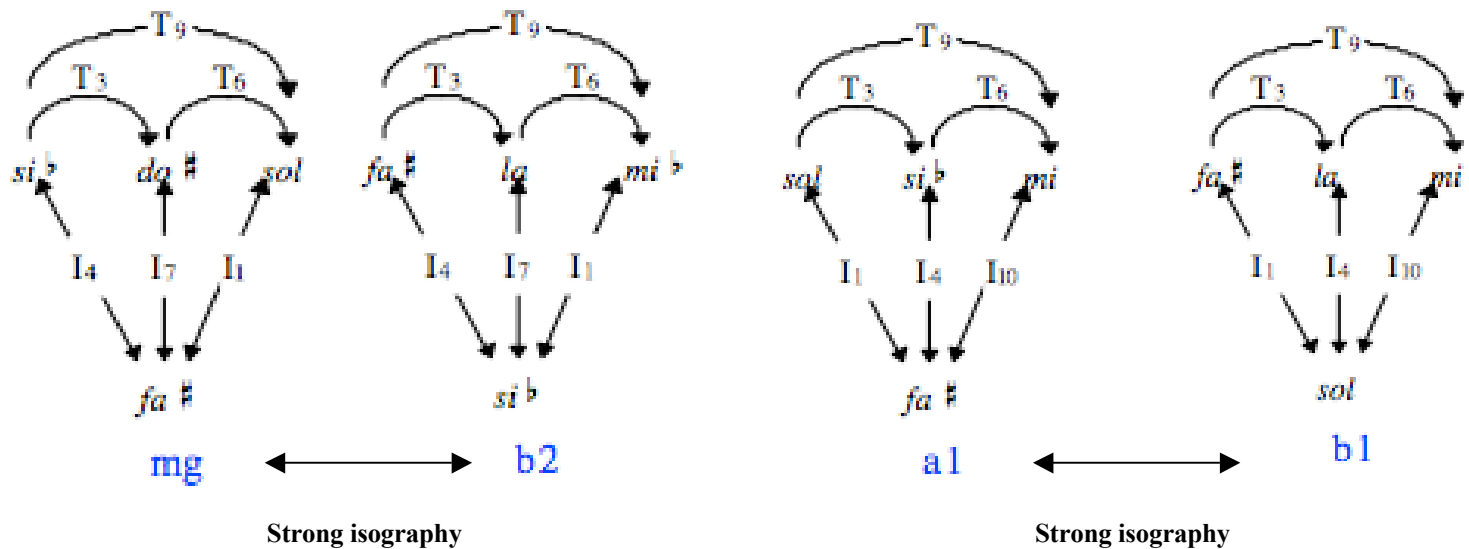
Klumpenhouver Networks (K-nets)

Xavier Hascher: « Liszt et les sources de la notion d'agrégat », *Analyse Musicale*, 43, 2002



Ex. 1 - « Ladislaus Teleki » (*Historische ungarische Bildnisse n° 4*), mes. 1-7
Les agrégats dans la classification de Forte



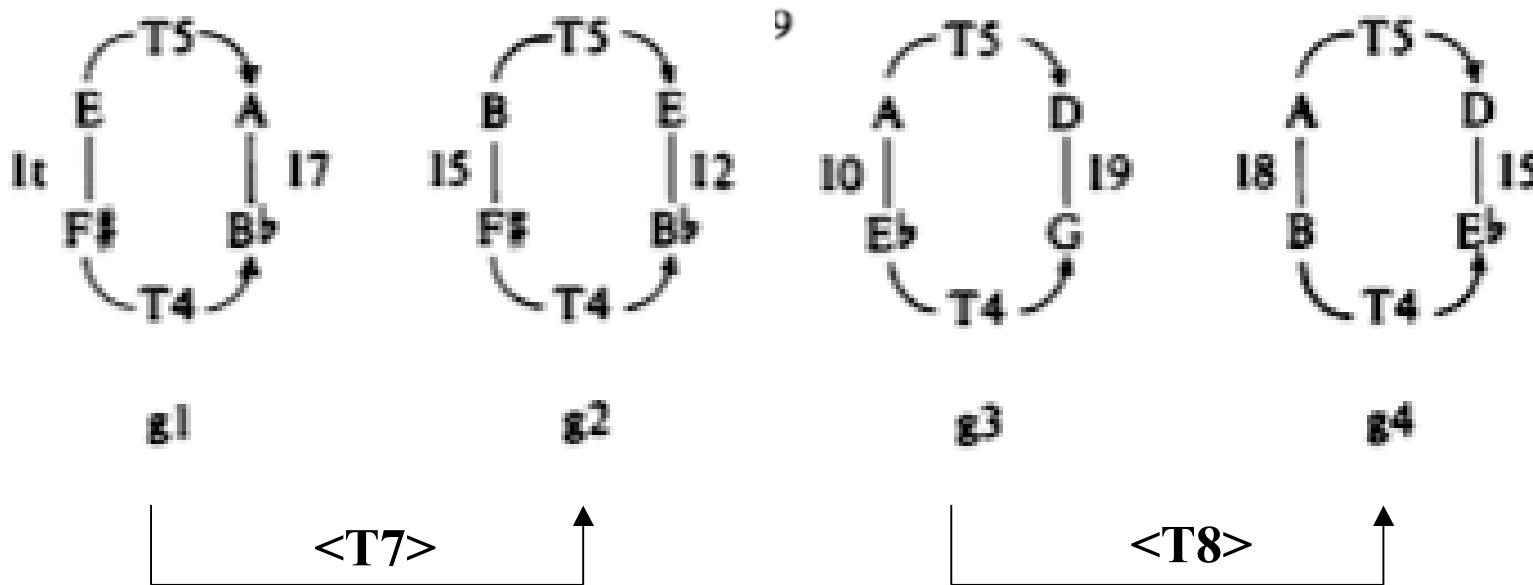


Musical score illustrating the four aggregates (mg, b2, a1, b1) and their transformations (T₃, T₆, T₉) across four staves.

Ex. 3 - Les agrégats engendrant des réseaux en isographie forte

Klumpenhower Networks (K-nets)

David Lewin: «A Tutorial on K-nets using the Chorale in Schoenberg's Op.11, N°2 », JMT, 1994



Isographie positive

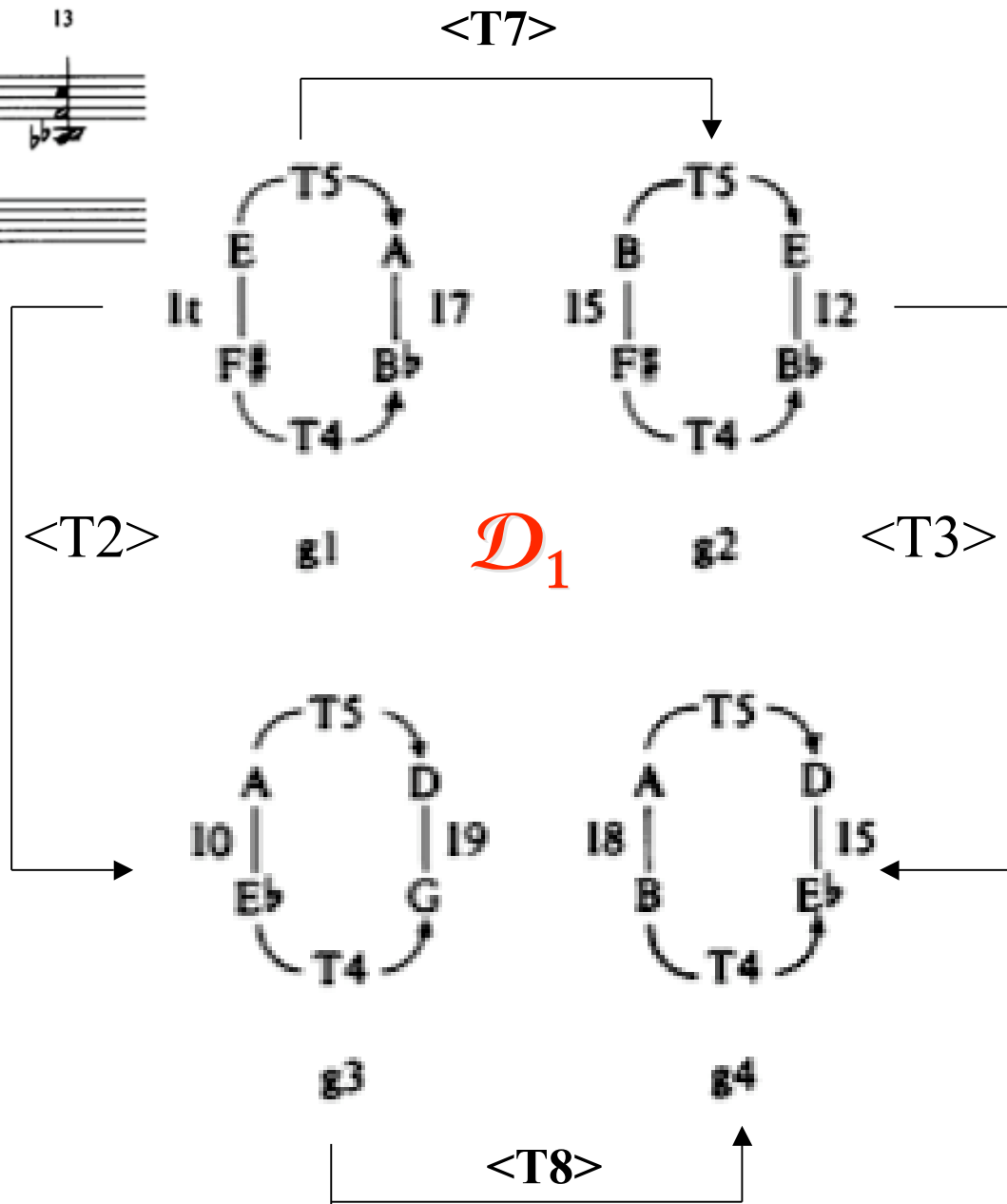
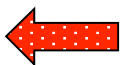
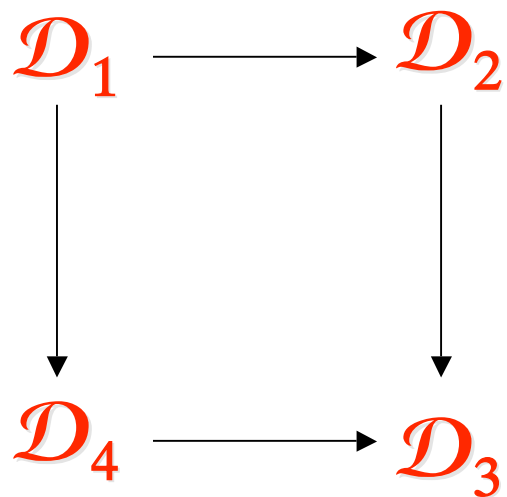
Isographie positive

Klumpenhower Networks (K-nets)

David Lewin: «A Tutorial on K-nets using the Chorale in Schoenberg's Op.11, N°2», JMT, 1994



Example 9

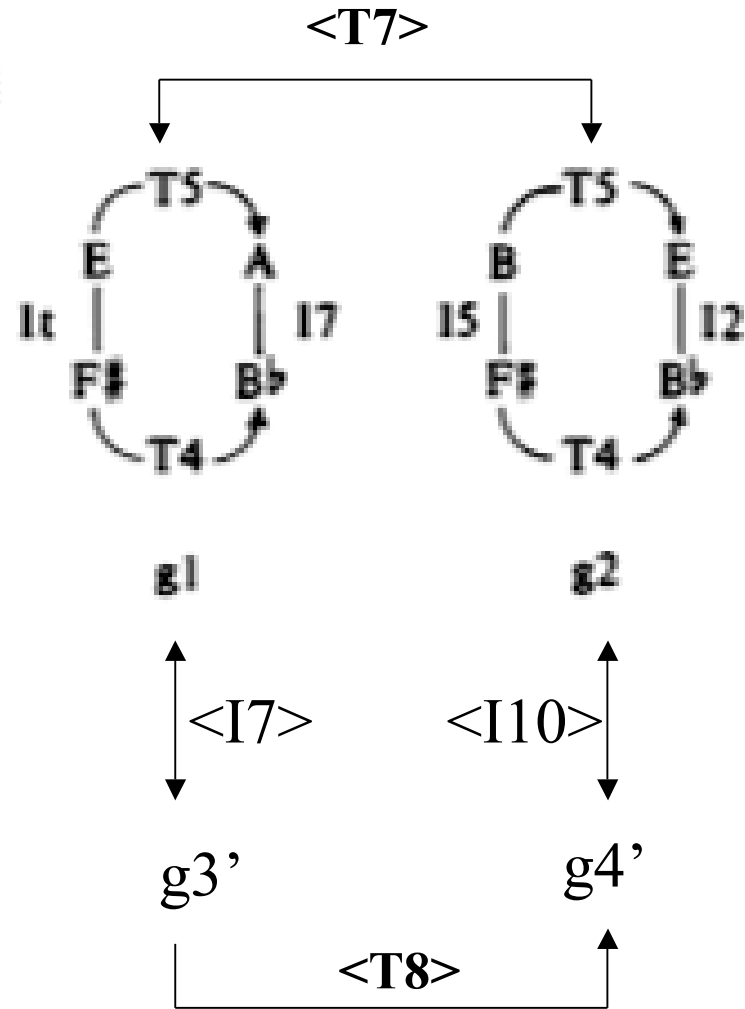
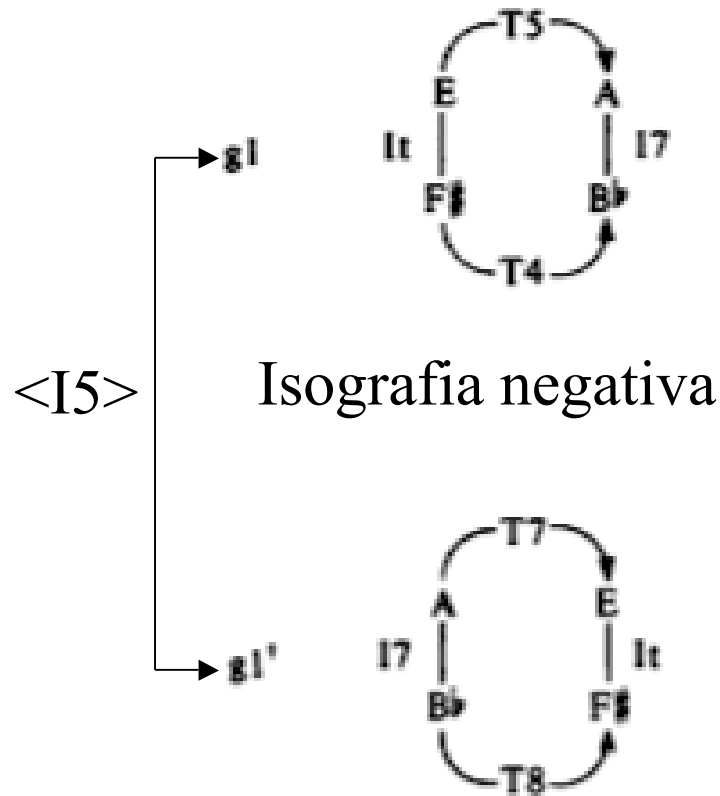


Klumpenhower Networks (K-nets)

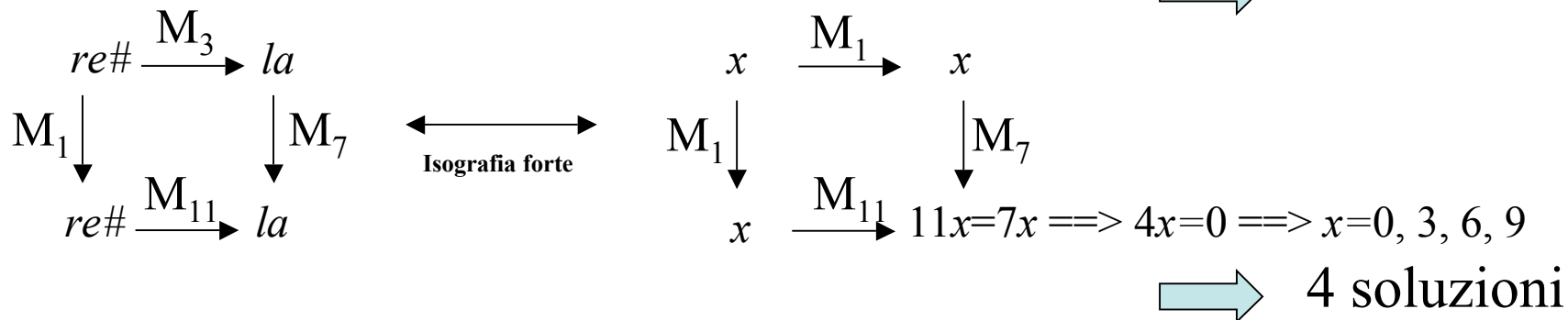
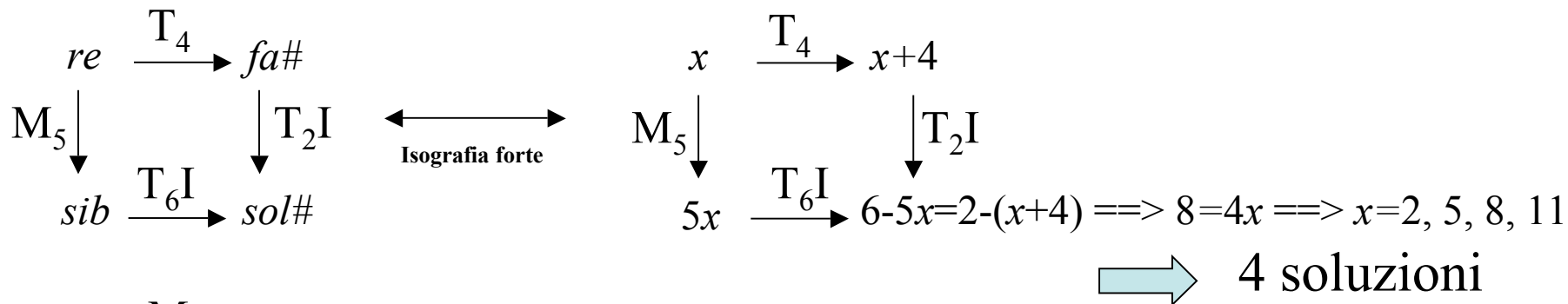
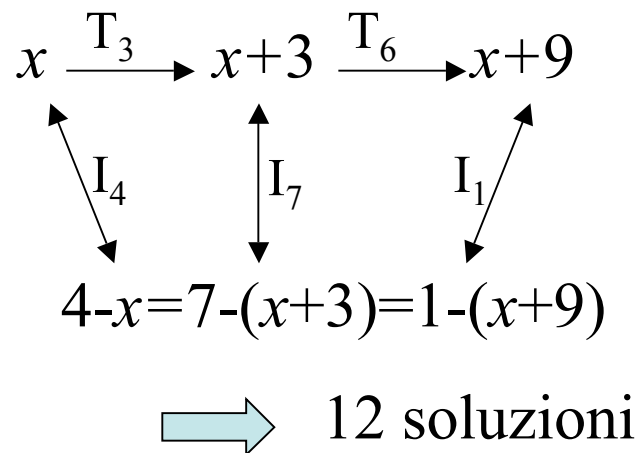
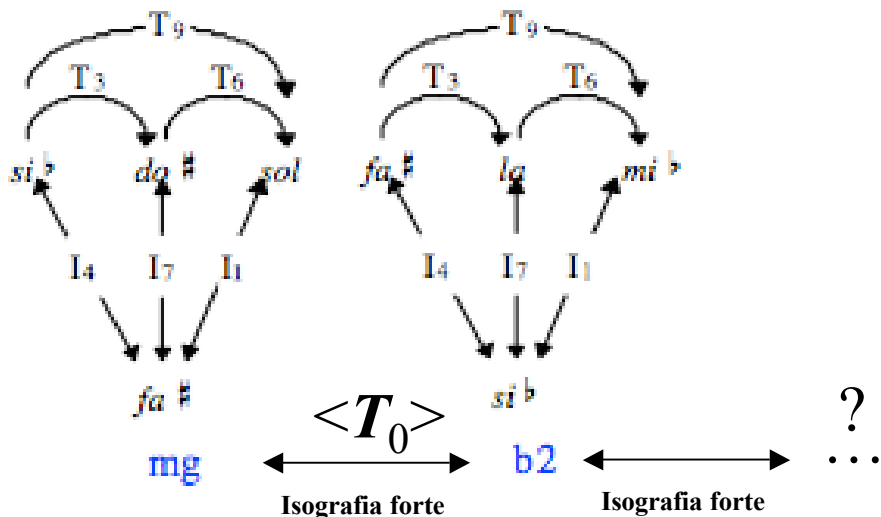
David Lewin: «A Tutorial on K-nets using the Chorale in Schoenberg's Op.11, N°2», JMT, 1994

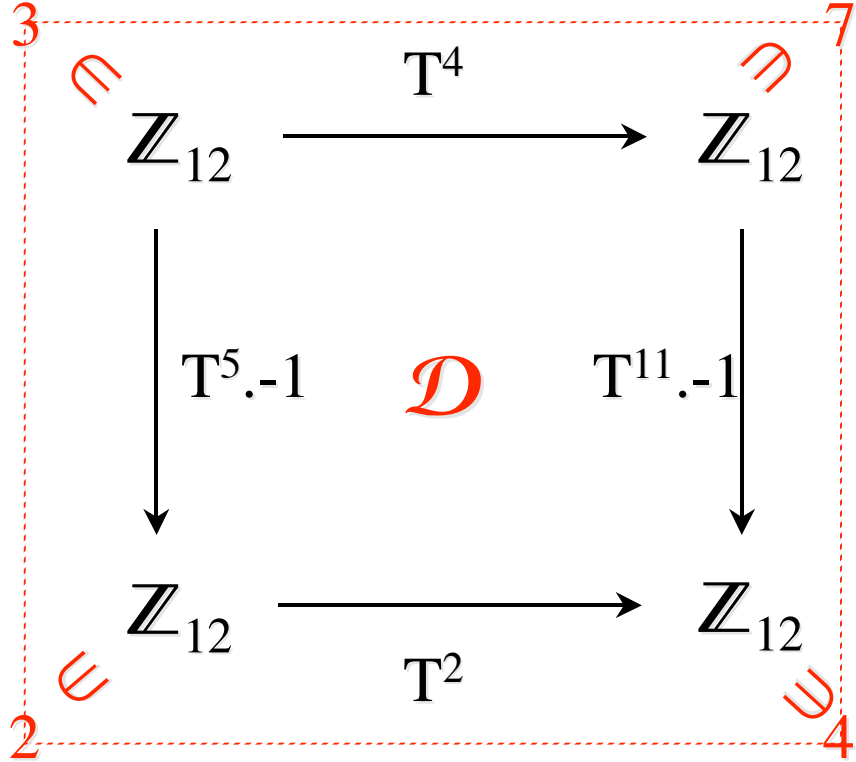
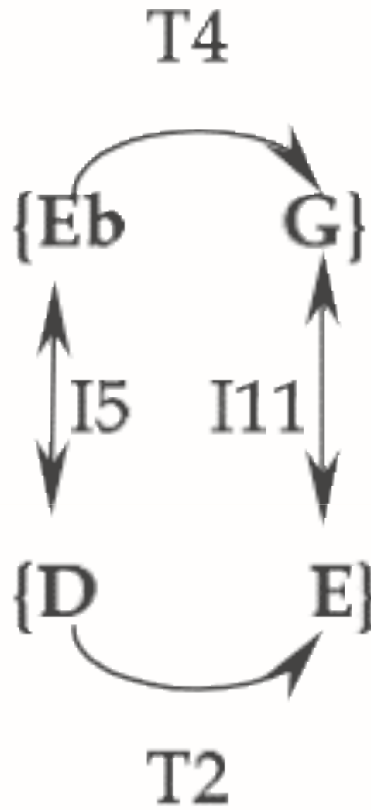


Example 9



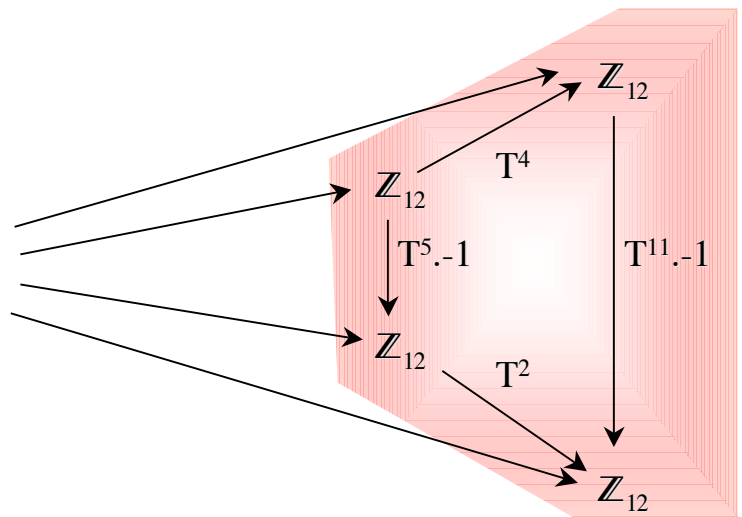
Enumerazione dei K-nets in relazione d'isografia forte





N1

$(3, 7, 2, 4) \in \text{lim}(\mathcal{D})$



$$\mathcal{Z}_i = \mathbb{Z}_{12}$$

$$f_{ij}^t \in \mathcal{Z}_i @ \mathcal{Z}_j$$

$\text{lim}(\mathcal{D})$ = family of strongly-isographic networks

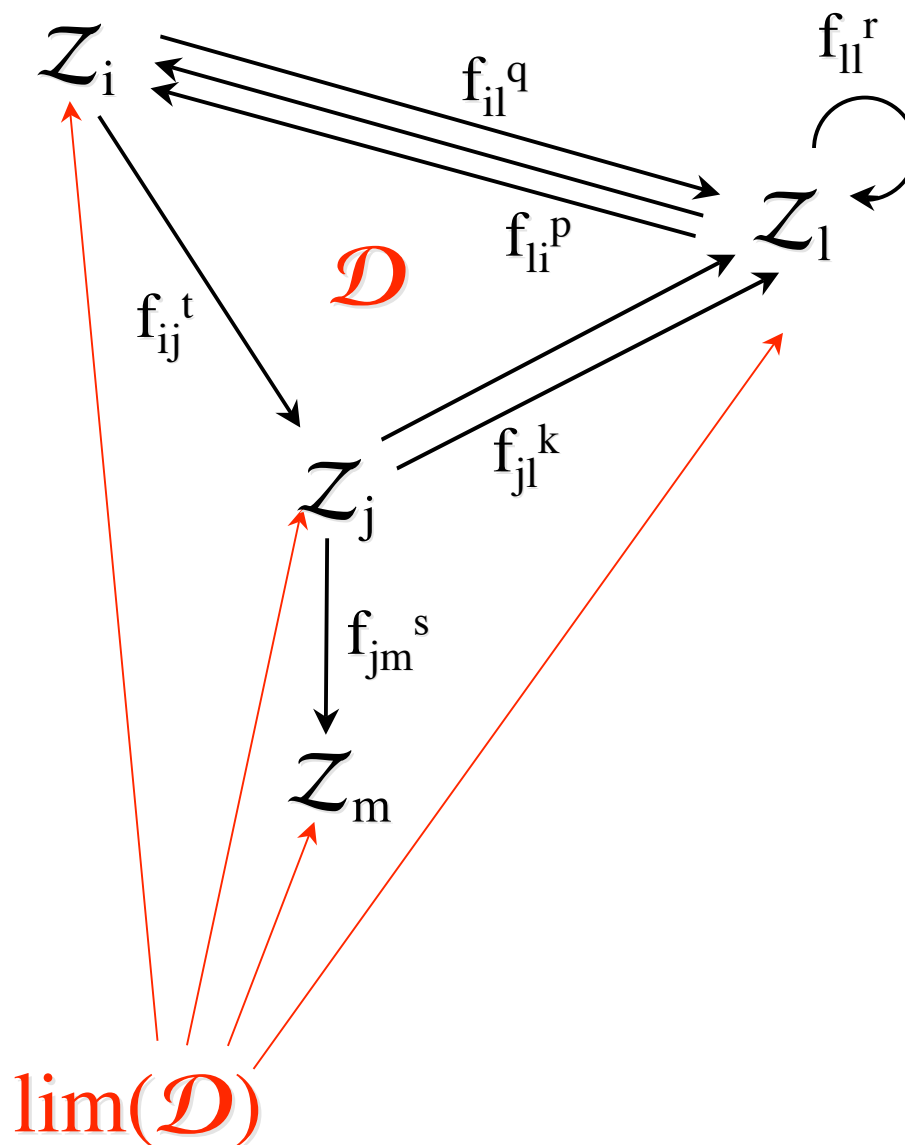
Z

Fact:

$$\text{lim}(\mathcal{D}) \approx U$$

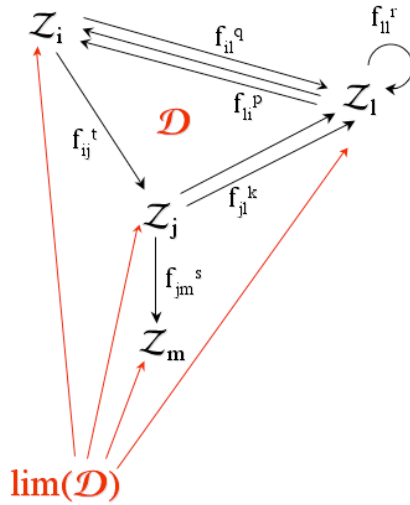
$U =$ (empty or) subgroup of $(\mathbb{Z}_{12})^n$

If $f_{**}^* =$ isomorphisms
 $\text{card}(U)$ (= 0 or) divides 12

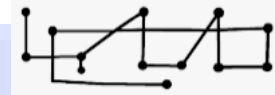


$$\mathcal{Z}_i = \mathbb{Z}_{12}$$

$$f_{ij}^t \in \mathcal{Z}_i @ \mathcal{Z}_j$$

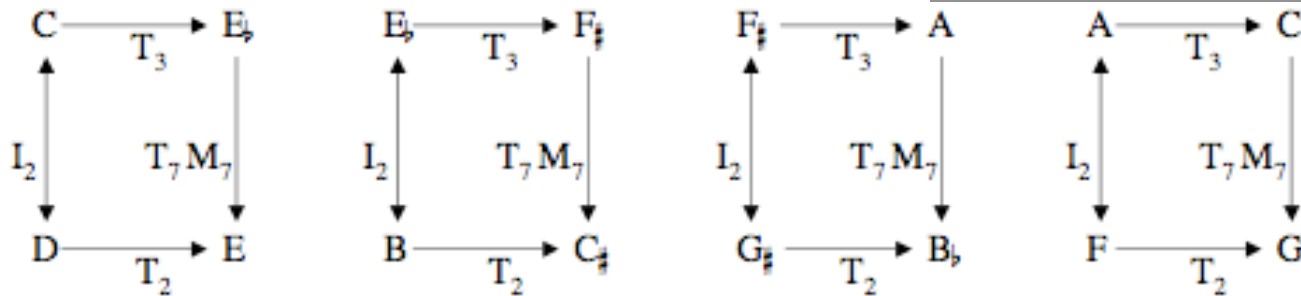


Fact:
 $\lim(\mathcal{D}) \approx U$

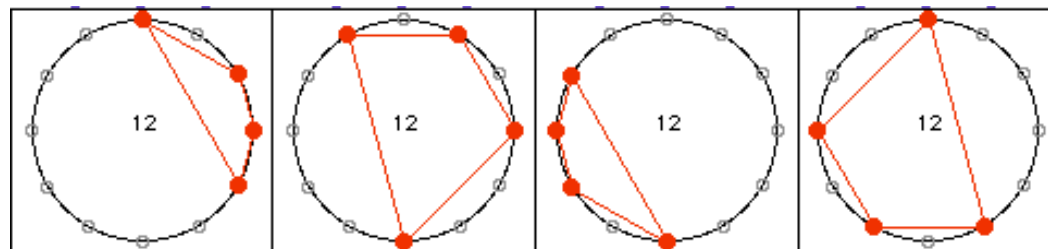


$U =$ (empty or)
 subgroup of $(\mathbb{Z}_{12})^n$

If $f_{**}^* =$ isomorphisms
 $\text{card}(U)$ (= 0 or)
 divides 12

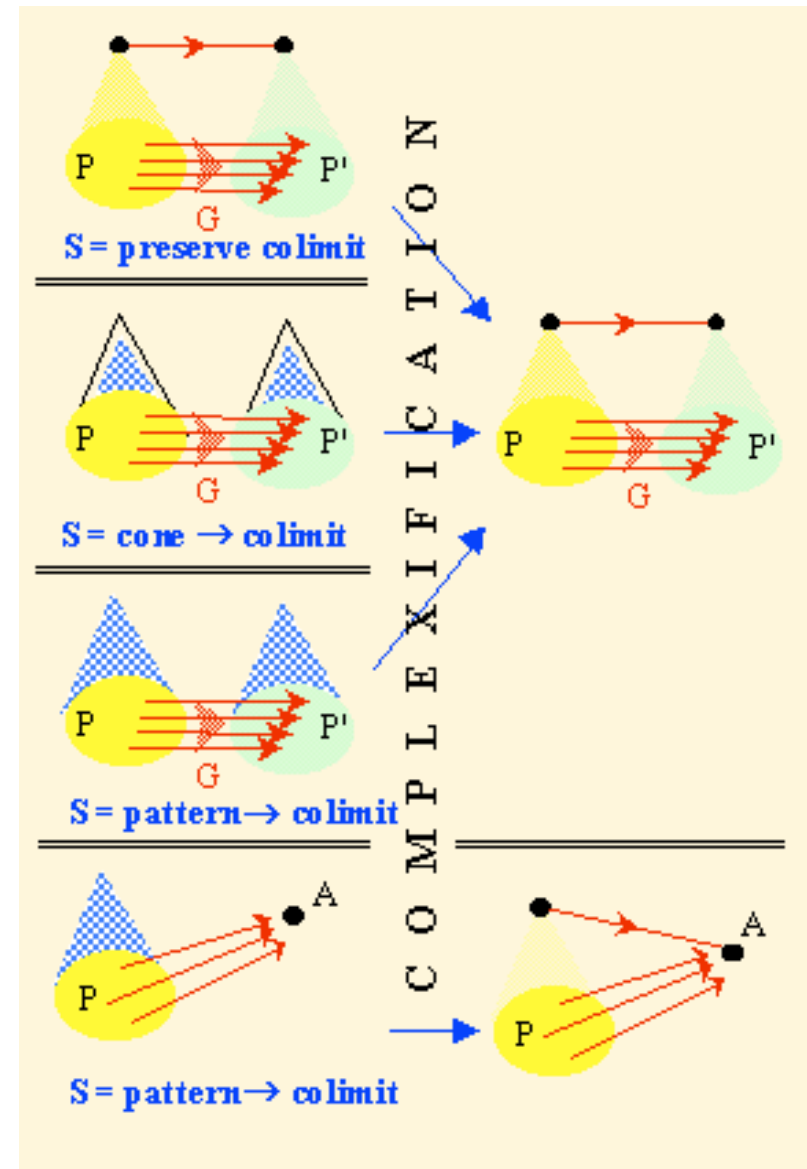
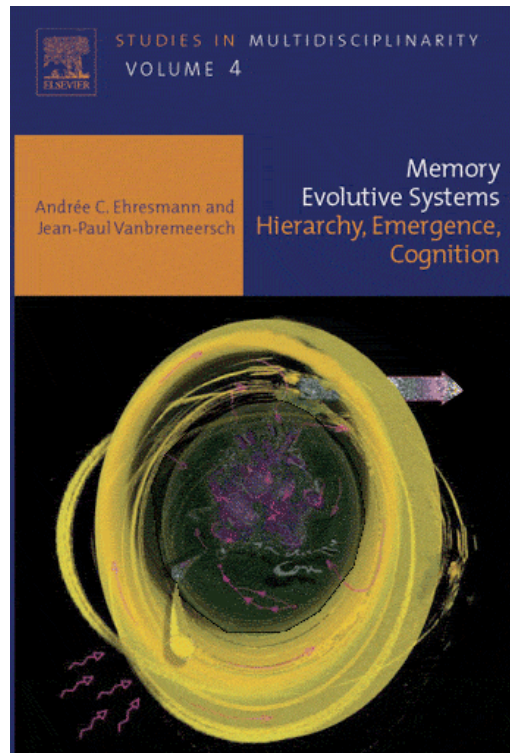


EXAMPLE 6: THE FOUR SOLUTIONS (STRONGLY ISOGRAPHIC K-NETS) OF THIS DIAGRAM ILLUSTRATE THAT THE CARDINALITY OF THE SOLUTION SET IS A DIVISOR OF 12. HERE, THE OPERATOR M_7 DENOTES THE MULTIPLICATION BY 7



« Memory Evolutive Systems » e neuroni categoriali

A 'simple' **cat-neuron** emerges as the colimit in a complexification of Neur of a pattern of neurons which has no colimit neuron in Neur, but acts as a synchronous coherent assembly of neurons in the sense of Hebb. An iteration of the process leads to cat-neurons of order 2 which correspond to a super-assembly (or 'assembly of assemblies') of neurons, which cannot be reduced to a (large) synchronous assembly of simple neurons. Higher order cat-neurons in successive complexifications represent super-super-assemblies, and so on.



Verso un' « algebra degli oggetti mentali » (Changeux) in musica

Problème corps/esprit

La **représentation** d'un **état mental**, tel un processus cognitif complexe, par un **cat-neurone** d'ordre supérieur conduit à une nouvelle approche du problème philosophique de l'identité entre **états mentaux et états physiques du cerveau**. En effet, un état physique, tel qu'il est vu par imagerie médicale, correspond à l'activation d'une simple assemblée de neurones (modélisée par un cat-neurone simple). Mais un cat-neurone d'ordre supérieur n'est pas (directement) réductible à une telle assemblée, bien qu'il soit construit par des complexifications successives à partir du niveau des neurones, et qu'il ait des ramifications jusqu'à ce niveau. Ainsi son activation exige plusieurs étapes, passant par les niveaux intermédiaires d'une de ses ramifications, jusqu'au niveau des états physiques; et, à chaque étape, elle peut se propager par l'une ou l'autre des décompositions non-équivalentes d'objets multifaces, avec balancement entre elles qui peut être d'origine aléatoire (bruit) ou contrôlé. Bien que ce processus représente un "évènement" physique bien déterminé, il ne s'identifie pas à un "état" physique: **on peut dire que les états mentaux émergent de manière dynamique (au travers du déploiement graduel d'une ramification) des états physiques, sans leur être identiques**. Ceci définirait un monisme émergentiste au sens de Bunge.

